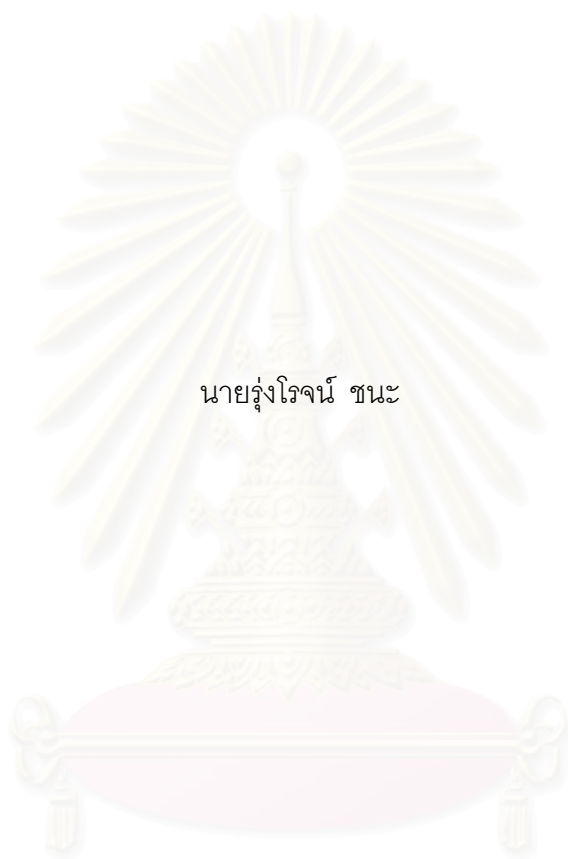


โปรแกรมประเมินความเสี่ยงของความเสียหายจากฟ้าผ่าตามมาตรฐาน IEC 62305-2:2006



นายรุ่งโรจน์ ชนะ

สถาบันวิทยบริการ

จุฬาลงกรณ์มหาวิทยาลัย

วิทยานิพนธ์นี้เป็นส่วนหนึ่งของการศึกษาตามหลักสูตรปริญญาวิศวกรรมศาสตรมหาบัณฑิต

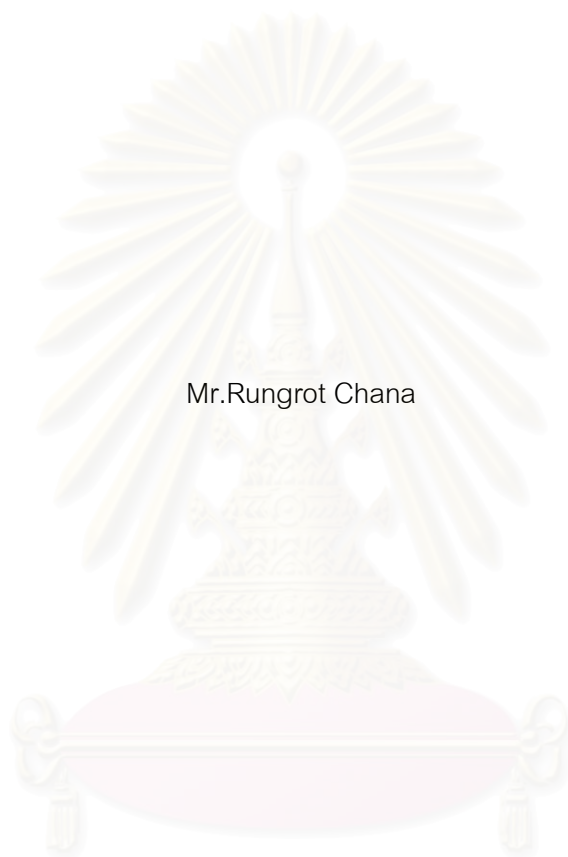
สาขาวิชาวิศวกรรมไฟฟ้า ภาควิชาวิศวกรรมไฟฟ้า

คณะวิศวกรรมศาสตร์ จุฬาลงกรณ์มหาวิทยาลัย

ปีการศึกษา 2551

ลิขสิทธิ์ของจุฬาลงกรณ์มหาวิทยาลัย

A SOFTWARE FOR RISK ASSESSMENT OF LIGHTNING DAMAGE BASED ON THE IEC 62305-2:2006



Mr.Rungrot Chana

สถาบันวิทยบริการ  
จุฬาลงกรณ์มหาวิทยาลัย

A Thesis Submitted in Partial Fulfillment of the Requirements  
for the Degree of Master of Engineering Program in Electrical Engineering

Department of Electrical Engineering

Faculty of Engineering

Chulalongkorn University

Academic Year 2008

Copyright of Chulalongkorn University

หัวข้อวิทยานิพนธ์	โปรแกรมประเมินความเสี่ยงของความปลอดภัยจากฟ้าผ่าตามมาตรฐาน IEC 62305-2:2006
โดย	นายรุ่งโรจน์ ชนะ
สาขาวิชา	วิศวกรรมไฟฟ้า
อาจารย์ที่ปรึกษาวิทยานิพนธ์หลัก	อาจารย์ ดร. คมสัน เพ็ชรรักษ์

---

คณะวิศวกรรมศาสตร์ จุฬาลงกรณ์มหาวิทยาลัย อนุมัติให้รับวิทยานิพนธ์ฉบับนี้เป็นส่วนหนึ่งของการศึกษาตามหลักสูตรปริญญาวิทยาศาสตรบัณฑิต

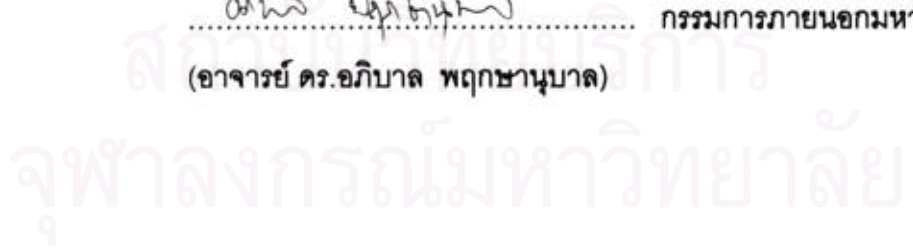
..... คณบดีคณะวิศวกรรมศาสตร์  
(รองศาสตราจารย์ ดร.บุญสม เลิศศิริวงค์)

คณะกรรมการสอบวิทยานิพนธ์

..... ประธานกรรมการ  
(อาจารย์ ดร.ชาญณรงค์ บาลมงคล)

..... อาจารย์ที่ปรึกษาวิทยานิพนธ์หลัก  
(อาจารย์ ดร. คมสัน เพ็ชรรักษ์)

..... กรรมการภายนอกมหาวิทยาลัย  
(อาจารย์ ดร.อภิบาล พฤชานูบาล)



รุ่งโรจน์ ชนะ : โปรแกรมประเมินความเสี่ยงของความเสียหายจากฟ้าผ่าตามมาตรฐาน IEC 62305-2:2006 . ( A SOFTWARE FOR RISK ASSESSMENT OF LIGHTNING DAMAGE BASED ON THE IEC 62305-2:2006) อ.ที่ปรึกษาวิทยานิพนธ์หลัก: อ. ดร. คมสัน เพ็ชรรักษ์, 84 หน้า.

วิทยานิพนธ์ฉบับนี้ได้นำเสนอการพัฒนาโปรแกรมประเมินความเสี่ยงของความเสียหายจากฟ้าผ่าตามมาตรฐาน IEC 62305-2:2006 ซึ่งให้ข้อมูลเกี่ยวกับชนิดของความเสี่ยงซึ่งค่าความเสี่ยงทั้งหมดคือผลรวมของส่วนประกอบความเสี่ยงต่างๆ นอกจากนี้จะอธิบายผลของการเลือกมาตรการป้องกันฟ้าผ่าแต่ละวิธีเพื่อลดความเสี่ยงของความเสียหายจากฟ้าผ่า การพัฒนาโปรแกรมประเมินความเสี่ยงของความเสียหายจากฟ้าผ่าสามารถประเมินความเสี่ยงของสิ่งปลูกสร้างโดยทั่วไป เช่น บ้านในชนบท ออฟฟิศ โรงพยาบาล และ อพาร์ทเมนท์ และโปรแกรมจะมีวิธีช่วยให้ผู้ใช้สามารถประเมินความเสี่ยงได้ง่ายด้วยลักษณะของตัวเลือก หรือ ข้อมูลเฉพาะที่กำหนด จากมาตรฐาน IEC 62305-2 หลังจากการประเมินความเสี่ยง โปรแกรมสามารถให้ผู้ใช้เลือกมาตรการป้องกันอย่างอิสระทั้งแบบเลือกโดยผู้ใช้หรือแบบอัตโนมัติ

## สถาบันวิทยบริการ จุฬาลงกรณ์มหาวิทยาลัย

ภาควิชา.....วิศวกรรมไฟฟ้า..... ลายมือชื่อนิสิต.....  
สาขาวิชา.....วิศวกรรมไฟฟ้า..... ลายมือชื่อ อ.ที่ปรึกษาวิทยานิพนธ์หลัก..... อ.ดร. คมสัน เพ็ชรรักษ์.....  
ปีการศึกษา.....2551.....

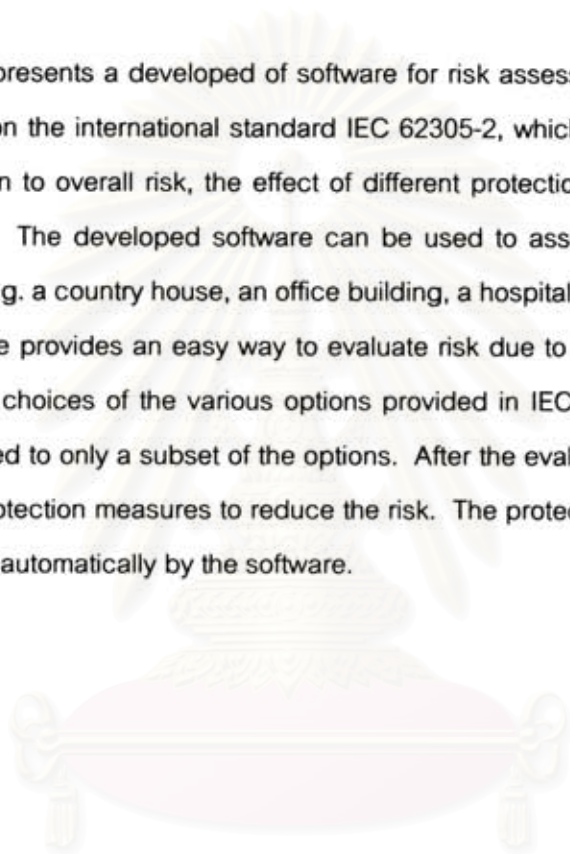
# # 4970799221 : MAJOR ELECTRICAL ENGINEERING

KEY WORDS: Risk Assessment / Lightning Protection

RUNGROT CHANA : A SOFTWARE FOR RISK ASSESSMENT OF LIGHTNING DAMAGE  
BASED ON THE IEC 62305-2:2006. ADVISOR : KOMSON PETCHARAKS, 84 pp.

This thesis presents a developed of software for risk assessment of lightning damage. The program is based on the international standard IEC 62305-2, which relates to the different type of risks, its contribution to overall risk, the effect of different protection measures to mitigate against risk are described. The developed software can be used to assess risk from lightning strike to typical structures, e.g. a country house, an office building, a hospital and apartment

This software provides an easy way to evaluate risk due to lightning flash to a structure as the user can make choices of the various options provided in IEC 62305-2. However, the user's choices are restricted to only a subset of the options. After the evaluation, user can freely select all of the necessary protection measures to reduce the risk. The protection measures can be selected manually by user or automatically by the software.



สถาบันวิทยบริการ  
จุฬาลงกรณ์มหาวิทยาลัย

Department: .....Electrical Engineering..... Student's Signature: .....

Field of Study: .....Electrical Engineering..... Advisor's Signature: *K. Petcharak*

Academic Year: .....2008.....

## กิตติกรรมประกาศ

วิทยานิพนธ์ฉบับนี้สำเร็จลุล่วงไปได้ด้วยความกรุณาและความช่วยเหลืออย่างดียิ่งของอาจารย์ ดร. คมสัน เพ็ชรวิเศษ ซึ่งเป็นอาจารย์ที่ปรึกษา โดยได้ให้คำแนะนำและข้อคิดเห็นต่าง ๆ ของการทำวิทยานิพนธ์ด้วยดีมาโดยตลอด รวมทั้งได้กรุณาตรวจสอบและแก้ไขจนสำเร็จเรียบร้อย

นอกจากนี้ผู้วิจัยต้องขอขอบพระคุณคณะกรรมการสอบวิทยานิพนธ์ ซึ่งประกอบด้วย อาจารย์ ดร.ชาญณรงค์ บาลมงคล และอาจารย์ ดร.อภิบาล พฤษานาบาล ที่ได้กรุณาตรวจสอบแก้ไขและให้คำแนะนำในการทำวิทยานิพนธ์จนสำเร็จลุล่วงด้วยดี

ขอขอบคุณ รุ่งพี เพื่อน และรุ่งน้อง ในสาขาวิชาวิศวกรรมไฟฟ้าแรงสูง ที่ให้คำปรึกษาและกำลังใจตลอดมา และขอขอบคุณโปรแกรมไมโครซอฟต์วิซิวัลเบสิก.เน็ตที่ช่วยเพิ่มประสิทธิภาพให้กับโปรแกรม

และสุดท้ายนี้ขอกราบขอบพระคุณ บิดา มารดา ที่ส่งเสริมสนับสนุนให้กำลังใจในการทำวิทยานิพนธ์มาโดยตลอด

สถาบันวิทยบริการ  
จุฬาลงกรณ์มหาวิทยาลัย



# สารบัญ

หน้า

บทคัดย่อภาษาไทย.....	ง
บทคัดย่อภาษาอังกฤษ.....	จ
กิตติกรรมประกาศ.....	ฉ
สารบัญ.....	ช
สารบัญตาราง.....	ญ
สารบัญภาพ.....	ต
บทที่	
1 บทนำ.....	1
1.1 ความเป็นมาและความสำคัญของปัญหา.....	1
1.2 วัตถุประสงค์ของวิทยานิพนธ์.....	1
1.3 ขอบเขตของวิทยานิพนธ์.....	2
1.4 ขั้นตอนการศึกษาและวิธีดำเนินการ.....	2
1.5 ประโยชน์ที่ได้รับจากวิทยานิพนธ์.....	2
1.6 เนื้อหาของวิทยานิพนธ์.....	2
2 ทฤษฎีเกี่ยวกับการประเมินความเสี่ยงของความเสียหายจากฟ้าผ่า.....	3
2.1 ความเสียหายและความสูญเสีย.....	3
2.2 ส่วนประกอบความเสี่ยงที่สัมพันธ์กับจุดที่ฟ้าผ่าสัมผัสสิ่งปลูกสร้าง.....	4
2.3 ความถี่ของการเกิดฟ้าผ่า $N_x$ .....	6
2.4 ความน่าจะเป็นของความเสียหาย $P_x$ .....	9
2.5 ความสูญเสียของชีวิตมนุษย์ $L_x$ .....	13
2.6 ตัวเลือกของมาตรการป้องกันฟ้าผ่า.....	16
3 ส่วนประกอบของโปรแกรมประเมินความเสี่ยงของความเสียหายจากฟ้าผ่า.....	17
3.1 ส่วนของหน้าหลัก.....	17
3.2 ส่วนของคุณลักษณะสิ่งปลูกสร้าง.....	17
3.3 ส่วนของคุณลักษณะระบบบริการ.....	19
3.4 ส่วนของคุณลักษณะย่านป้องกันฟ้าผ่า.....	22
3.5 ส่วนของการเลือกมาตรการป้องกัน.....	26

บทที่	หน้า
3.6 การประเมินทางเศรษฐศาสตร์.....	30
4 ตัวอย่างการประเมินความเสี่ยงของความเสียหายจากฟ้าผ่า.....	32
4.1 บ้านในชนบท.....	32
4.1.1 คุณลักษณะของสิ่งปลูกสร้าง.....	32
4.1.2 คุณลักษณะของย่านป้องกันฟ้าผ่า.....	35
4.1.3 ความถี่ของการเกิดฟ้าผ่า.....	36
4.1.4 การประเมินความเสี่ยงของความสูญเสียของชีวิตมนุษย์.....	37
4.1.5 ผลจากการประเมินความเสี่ยงของความสูญเสียของชีวิตมนุษย์ $R_1$ .....	38
4.1.6 การเลือกมาตรการป้องกันฟ้าผ่า.....	39
4.2 ออฟฟิศ.....	41
4.2.1 คุณลักษณะของสิ่งปลูกสร้าง.....	41
4.2.2 คุณลักษณะของย่านป้องกันฟ้าผ่า.....	44
4.2.3 ความถี่ของการเกิดฟ้าผ่า.....	50
4.2.4 การประเมินความเสี่ยงของความสูญเสียของชีวิตมนุษย์.....	51
4.2.5 ผลจากการประเมินความเสี่ยงของความสูญเสียของชีวิตมนุษย์ $R_1$ .....	52
4.2.6 การเลือกมาตรการป้องกันฟ้าผ่า.....	52
4.3 โรงพยาบาล.....	55
4.3.1 คุณลักษณะของสิ่งปลูกสร้าง.....	55
4.3.2 คุณลักษณะของย่านป้องกันฟ้าผ่า.....	58
4.3.3 ความถี่ของการเกิดฟ้าผ่า.....	64
4.3.4 การประเมินความเสี่ยงของความสูญเสียของชีวิตมนุษย์.....	65
4.3.5 ผลจากการประเมินความเสี่ยงของความสูญเสียของชีวิตมนุษย์ $R_1$ .....	66
4.3.6 การเลือกมาตรการป้องกันฟ้าผ่า.....	67
4.3.7 ข้อมูลสำหรับการวิเคราะห์ต้นทุน-ผลประโยชน์.....	72
4.3 อพาร์ทเมนท์.....	75
4.3.1 คุณลักษณะของสิ่งปลูกสร้าง.....	75
4.3.2 คุณลักษณะของย่านป้องกันฟ้าผ่า.....	78
5 สรุปและข้อเสนอแนะ.....	80
5.1 สรุปผลการวิจัย.....	80



บทที่	หน้า
รายการอ้างอิง.....	81
ภาคผนวก.....	82
ภาคผนวก ก การติดตั้งและการเรียกใช้งานโปรแกรม.....	83
ประวัติผู้เขียนวิทยานิพนธ์.....	84



สถาบันวิทยบริการ  
จุฬาลงกรณ์มหาวิทยาลัย

## สารบัญตาราง

ตารางที่	หน้า	
2.1	แหล่งกำเนิดของความเสียหาย ชนิดของความเสียหายและชนิดของความ สูญเสียตามจุดฟ้าผ่า.....	4
2.2	ตัวแปรสถานที่ตั้ง $C_d$ .....	7
2.3	พื้นที่รับฟ้าผ่าสมมูล $A_t$ และ $A_r$ .....	8
2.4	ตัวแปรหม้อแปลงไฟฟ้า $C_t$ .....	8
2.5	ตัวแปรสิ่งแวดลอม $C_e$ .....	9
2.6	ค่าของความน่าจะเป็น $P_A$ ที่ฟ้าผ่าสัมผัสสิ่งปลูกสร้างโดยตรงนำมาซึ่งความ เสียหายสำหรับอาคารกระตุกจากฟ้าผ่าช็อต.....	9
2.7	ค่าของ $P_B$ ขึ้นอยู่กับมาตรการป้องกันฟ้าผ่าเพื่อลดความเสียหายทางกายภาพ..	9
2.8	ค่าของความน่าจะเป็น $P_C$ ขึ้นอยู่กับการออกแบบ <i>SPDs</i> ตามระดับการป้องกัน ฟ้าผ่า.....	10
2.9	ค่าของตัวแปร $K_{S3}$ จะขึ้นอยู่กับลักษณะการเดินสายภายใน.....	11
2.10	ค่าของความน่าจะเป็น $P_M$ เป็นฟังก์ชันของตัวแปร $K_{MS}$ .....	11
2.11	ค่าของความน่าจะเป็น $P_{LD}$ ขึ้นอยู่กับความต้านทานซีลด์ $R_S$ แรงดันทนอิมพัลส์ ของระบบ $U_w$ .....	12
2.12	ค่าของความน่าจะเป็น $P_{LI}$ ขึ้นอยู่กับความต้านทานซีลด์ $R_S$ แรงดันทนอิมพัลส์ ของระบบ $U_w$ และลักษณะการซีลด์สาย.....	13
2.13	ค่าเฉลี่ยที่เป็นตัวอย่างของ $L_t$ .....	13
2.14	ค่าเฉลี่ยที่เป็นตัวอย่างของ $L_f$ .....	14
2.15	ค่าเฉลี่ยที่เป็นตัวอย่างของ $L_o$ .....	14
2.16	ค่าของตัวแปรการลด $r_a$ และ $r_u$ ซึ่งเป็นฟังก์ชันของชนิดของดินและพื้น.....	14
2.17	ค่าของตัวแปรการลด $r_p$ ซึ่งเป็นฟังก์ชันของการเตรียมการเพื่อลดผลจาก ไฟไหม้.....	15
2.18	ค่าของตัวแปรการลด $r_f$ ซึ่งเป็นฟังก์ชันของความเสี่ยงไฟไหม้ของสิ่งปลูกสร้าง..	15
2.19	ค่าของตัวแปรการเพิ่ม $h_z$ ซึ่งสัมพันธ์กับปริมาณความสูญเสียที่เกิดขึ้นกับความ อันตรายพิเศษ .....	15
3.1	คุณลักษณะสิ่งปลูกสร้างภายใต้การประเมินความเสี่ยง.....	18

ตารางที่	หน้า
3.2	คุณลักษณะระบบบริการภายใต้การประเมินความเสี่ยง.....20
3.3	คุณลักษณะย่านป้องกันฟ้าผ่าภายใต้การประเมินความเสี่ยง.....23
3.4	มาตรการป้องกันฟ้าผ่าภายใต้การประเมินความเสี่ยง.....27
3.5	ส่วนของการประเมินทางเศรษฐศาสตร์.....31
4.1	คุณลักษณะของบ้านในชนบท.....32
4.2	คุณลักษณะของระบบบริการที่เป็นระบบจำหน่ายแรงต่ำของบ้านในชนบท.....33
4.3	คุณลักษณะระบบบริการที่เป็นระบบสื่อสารโทรคมนาคมของบ้านในชนบท.....33
4.4	คุณลักษณะของย่านป้องกันฟ้าผ่า $Z_2$ (inside the building).....35
4.5	ค่าของความถี่ของการเกิดฟ้าผ่าของบ้านในชนบท.....37
4.6	ค่าของความน่าจะเป็นของความเสียหายของบ้านในชนบทที่ไม่ถูกป้องกัน.....37
4.7	ผลของการประเมินความเสี่ยง $R_1$ ของบ้านในชนบท.....38
4.8	ส่วนประกอบความเสี่ยงที่สัมพันธ์กับแหล่งกำเนิดและชนิดความเสียหาย ของบ้านในชนบท.....39
4.9	ผลของการประเมินความเสี่ยง $R_1$ เมื่อใช้มาตรการป้องกันฟ้าผ่าของบ้านใน ชนบท.....41
4.10	คุณลักษณะของออฟฟิศ.....42
4.11	คุณลักษณะของระบบบริการที่เป็นระบบจำหน่ายแรงต่ำของออฟฟิศ.....42
4.12	คุณลักษณะของระบบบริการที่เป็นระบบสื่อสารโทรคมนาคมของออฟฟิศ.....43
4.13	คุณลักษณะของย่านป้องกันฟ้าผ่า $Z_1$ (entrance area to building).....45
4.14	คุณลักษณะของย่านป้องกันฟ้าผ่า $Z_2$ (garden).....46
4.15	คุณลักษณะของย่านป้องกันฟ้าผ่า $Z_3$ (archive).....47
4.16	คุณลักษณะของย่านป้องกันฟ้าผ่า $Z_4$ (offices).....48
4.17	คุณลักษณะของย่านป้องกันฟ้าผ่า $Z_5$ (computer centre).....49
4.18	ค่าของความถี่ของการเกิดฟ้าผ่าของออฟฟิศ.....50
4.19	ค่าของความน่าจะเป็นของความเสียหายของออฟฟิศที่ไม่ถูกป้องกัน.....51
4.20	ผลของการประเมินความเสี่ยง $R_1$ ของออฟฟิศ.....51
4.21	ส่วนประกอบความเสี่ยงที่สัมพันธ์กับแหล่งกำเนิดและชนิดความเสียหาย ของออฟฟิศ.....53
4.22	ผลของการประเมินความเสี่ยง $R_1$ เมื่อใช้มาตรการป้องกันฟ้าผ่าของออฟฟิศ.....55

ตารางที่	หน้า
4.23	คุณลักษณะของโรงพยาบาล.....55
4.24	คุณลักษณะของระบบบริการที่เป็นระบบจำหน่ายของโรงพยาบาล.....56
4.25	คุณลักษณะระบบบริการที่เป็นระบบสื่อสารโทรคมนาคมของโรงพยาบาล.....56
4.26	คุณลักษณะของย่านป้องกันฟ้าผ่า $Z_1$ (outside building).....59
4.27	คุณลักษณะของย่านป้องกันฟ้าผ่า $Z_2$ (rooms block).....60
4.28	คุณลักษณะของย่านป้องกันฟ้าผ่า $Z_3$ (operating block).....61
4.29	คุณลักษณะของย่านป้องกันฟ้าผ่า $Z_4$ (intensive care unity).....63
4.30	ค่าของความถี่ของการเกิดฟ้าผ่าของโรงพยาบาล.....65
4.31	ค่าของความน่าจะเป็นของความเสียหายของโรงพยาบาลที่ไม่ถูกป้องกัน.....65
4.32	ผลของการประเมินความเสี่ยง $R_1$ ของโรงพยาบาล.....66
4.33	ส่วนประกอบความเสี่ยงที่สัมพันธ์กับแหล่งกำเนิดและชนิดความเสียหาย ของออฟฟิศ.....67
4.34	ค่าของความน่าจะเป็นของความเสียหายที่ใช้มาตรการป้องกันวิธีที่1ของ โรงพยาบาล.....68
4.35	ค่าของความน่าจะเป็นของความเสียหายที่ใช้มาตรการป้องกันวิธีที่2ของ โรงพยาบาล.....69
4.36	ค่าของความน่าจะเป็นของความเสียหายที่ใช้มาตรการป้องกันวิธีที่3ของ โรงพยาบาล.....70
4.37	ผลของการประเมินความเสี่ยง $R_1$ เมื่อใช้มาตรการป้องกันของโรงพยาบาล.....72
4.38	มูลค่าของความเสียหายกับความสูญเสียที่เกี่ยวข้องของย่านป้องกันฟ้าผ่า ( $\$ \times 10^6$ ).....73
4.39	มูลค่าที่เกี่ยวข้องกับอัตรา.....73
4.40	ผลของการประเมินความเสี่ยงต่อความสูญเสียทางเศรษฐศาสตร์ $R_4$ ( $\$ \times 10^6$ ).....74
4.41	ปริมาณของความสูญเสีย $C_L$ และ $C_{RL}$ (\$).....74
4.42	มูลค่า $C_p$ และ $C_{PM}$ ของมาตรการป้องกัน (\$).....74
4.43	การลดค่าใช้จ่ายของเงินประจำปี (\$).....75
4.44	คุณลักษณะของอพาร์ทเมนท์.....75

ตารางที่	หน้า
4.45	คุณลักษณะของระบบบริการที่เป็นระบบจำหน่ายแรงต่ำของอพาร์ทเมนต์.....76
4.46	คุณลักษณะระบบบริการที่เป็นระบบสื่อสารโทรคมนาคมของอพาร์ทเมนต์.....77
4.47	คุณลักษณะของย่านป้องกันฟ้าผ่าของอพาร์ทเมนต์ $Z_2$ (inside the building)..78
4.48	มาตรการป้องกันฟ้าผ่าซึ่งสัมพันธ์กับความสูงและความเสี่ยงไฟไหม้.....78



สถาบันวิทยบริการ  
จุฬาลงกรณ์มหาวิทยาลัย

## สารบัญภาพ

รูปที่		หน้า
2.1	พื้นที่รับฟ้าผ่าสมมูล $A_d$ ของการเกิดฟ้าผ่าสัมผัสสิ่งปลูกสร้างโดยตรง.....	6
2.2	พื้นที่รับฟ้าผ่าสมมูล $A_d, A_m, A_l, A_i, A_a$ .....	7
2.3	ขั้นตอนการเลือกมาตรการป้องกันสำหรับชนิดของความสูญเสีย $L1$ ถึง $L3$ ....	16
3.1	ส่วนของหน้าหลัก.....	17
3.2	ส่วนของคุณลักษณะสิ่งปลูกสร้าง.....	18
3.3	ส่วนของคุณลักษณะระบบบริการ.....	20
3.4	ส่วนของคุณลักษณะย่านป้องกันฟ้าผ่า.....	23
3.5	ส่วนของการเลือกมาตรการป้องกันฟ้าผ่า.....	27
3.6	ส่วนของการเลือกมาตรการป้องกันฟ้าผ่าโดยผู้ใช้ $R_A, R_B$ .....	28
3.7	ส่วนของการเลือกมาตรการป้องกันฟ้าผ่าโดยผู้ใช้ $R_C, R_M$ .....	29
3.8	ส่วนของการเลือกมาตรการป้องกันฟ้าผ่าโดยผู้ใช้ $R_U, R_V, R_W, R_Z$ .....	29
3.9	ส่วนของการเลือกมาตรการป้องกันฟ้าผ่าโดยอัตโนมัติ.....	30
3.10	ส่วนของการประเมินทางเศรษฐศาสตร์.....	31
4.1	ส่วนของคุณลักษณะของบ้านในชนบท.....	34
4.2	ส่วนของคุณลักษณะระบบบริการที่เป็นระบบจำหน่ายแรงต่ำบ้านในชนบท.....	34
4.3	ส่วนของคุณลักษณะระบบบริการที่เป็นระบบสื่อสารโทรคมนาคมของ บ้านในชนบท.....	34
4.4	ส่วนของคุณลักษณะย่านป้องกันฟ้าผ่า $Z_2$ (inside the building).....	36
4.5	ส่วนของผลจากการประเมินความเสี่ยง $R_1$ ของบ้านในชนบท.....	38
4.6	ส่วนของการใช้มาตรการป้องกันฟ้าผ่าวิธีที่1 ของบ้านในชนบท.....	40
4.7	ส่วนของการใช้มาตรการป้องกันฟ้าผ่าวิธีที่2 ของบ้านในชนบท.....	41
4.8	ส่วนของคุณลักษณะของออฟฟิศ.....	42
4.9	ส่วนของคุณลักษณะระบบบริการที่เป็นระบบจำหน่ายแรงต่ำของออฟฟิศ.....	43
4.10	ส่วนของคุณลักษณะระบบบริการที่เป็นระบบสื่อสารโทรคมนาคมของ ออฟฟิศ.....	44
4.11	ส่วนของคุณลักษณะย่านป้องกันฟ้าผ่า $Z_1$ (entrance area to building).....	45
4.12	ส่วนของคุณลักษณะย่านป้องกันฟ้าผ่า $Z_2$ (garden).....	46



รูปที่	หน้า
4.13 ส่วนของคุณลักษณะย่านป้องกันฟ้าผ่า $Z_3$ (archive).....	47
4.14 ส่วนของคุณลักษณะย่านป้องกันฟ้าผ่า $Z_4$ (offices).....	48
4.15 ส่วนของคุณลักษณะย่านป้องกันฟ้าผ่า $Z_5$ (computer centre).....	50
4.16 ส่วนของผลจากการประเมินความเสี่ยง $R_1$ ของออฟฟิศ.....	52
4.17 ส่วนของการใช้มาตรการป้องกันฟ้าผ่าวิธีที่1 ของออฟฟิศ.....	54
4.18 ส่วนของการใช้มาตรการป้องกันฟ้าผ่าวิธีที่2 ของออฟฟิศ.....	54
4.19 ส่วนของคุณลักษณะโรงพยาบาล.....	55
4.20 ส่วนของคุณลักษณะระบบบริการที่เป็นระบบจำหน่ายแรงต่ำโรงพยาบาล.....	57
4.21 ส่วนของคุณลักษณะระบบบริการที่เป็นระบบสื่อสารโทรคมนาคมของ โรงพยาบาล.....	58
4.22 ส่วนของคุณลักษณะย่านป้องกันฟ้าผ่า $Z_1$ (outside building).....	59
4.23 ส่วนของคุณลักษณะย่านป้องกันฟ้าผ่า $Z_2$ (rooms block).....	61
4.24 ส่วนของคุณลักษณะย่านป้องกันฟ้าผ่า $Z_3$ (operating block).....	63
4.25 ส่วนของคุณลักษณะย่านป้องกันฟ้าผ่า $Z_4$ (intensive care unity).....	64
4.26 ส่วนของผลจากการประเมินความเสี่ยง $R_1$ ของโรงพยาบาล.....	66
4.27 ส่วนของการใช้มาตรการป้องกันวิธีที่1 ของโรงพยาบาล.....	71
4.28 ส่วนของการใช้มาตรการป้องกันวิธีที่2 ของโรงพยาบาล.....	71
4.29 ส่วนของการใช้มาตรการป้องกันวิธีที่3 ของโรงพยาบาล.....	72
4.30 ส่วนของคุณลักษณะอพาร์ทเมนท์.....	76
4.31 ส่วนของคุณลักษณะระบบบริการที่เป็นระบบจำหน่ายแรงต่ำของ อพาร์ทเมนท์.....	77
4.32 ส่วนของคุณลักษณะระบบบริการที่เป็นระบบสื่อสารโทรคมนาคมของ อพาร์ทเมนท์.....	78

# บทที่ 1

## บทนำ

ในบทจะกล่าวถึงความเป็นมาและความสำคัญของวิทยานิพนธ์ วัตถุประสงค์ ขอบเขตและขั้นตอนของการศึกษาและวิธีดำเนินการ ประโยชน์ที่คาดว่าจะได้รับจากวิทยานิพนธ์ รวมทั้งลำดับเนื้อหาในบทถัดไป เพื่อให้เห็นภาพรวมของการศึกษาภายในวิทยานิพนธ์ฉบับนี้

### 1.1 ความเป็นมาและความสำคัญของปัญหา

มาตรฐานการป้องกันฟ้าผ่าสำหรับสิ่งปลูกสร้างของIEC[3-6]ที่ผ่านมา มีความซับซ้อนยากที่จะเข้าใจ โดยเฉพาะเรื่องเกี่ยวกับการประเมินความเสี่ยง[3] อีกทั้งประเทศไทยก็ได้ใช้มาตรฐานการป้องกันฟ้าผ่าสำหรับสิ่งปลูกสร้าง[1]อ้างอิงตามมาตรฐานIEC[3-6]นี้ อย่างไรก็ตามมาตรฐานการป้องกันฟ้าผ่าได้ถูกตีพิมพ์เผยแพร่ใหม่ในปี ค.ศ. 2006 โดย IEC ภายใต้ชุดของมาตรฐานIEC 62305-xซึ่งให้ข้อมูลโดยละเอียดเกี่ยวกับตัวแปรทางฟ้าผ่า[7] การประเมินความเสี่ยง[8] การออกแบบระบบป้องกันฟ้าผ่า[9]และระบบป้องกันแม่เหล็กไฟฟ้าจากฟ้าผ่า[10]ดังนั้น กระผมจึงมีความมุ่งหวังที่จะพัฒนาโปรแกรมประเมินความเสี่ยงตามมาตรฐานIEC 62305-2ที่ให้ข้อมูลเกี่ยวกับการป้องกันฟ้าผ่าในส่วนของประเมินความเสี่ยงซึ่งสามารถให้วิศวกรนำไปใช้ และเพิ่มความเข้าใจเกี่ยวกับการประเมินความเสี่ยงอย่างถูกต้อง

วิทยานิพนธ์ฉบับนี้จะเกี่ยวข้องกับมาตรฐานIEC 62305-2 คือการบริหารความเสี่ยงซึ่งเป็นส่วนที่ถูกนำไปใช้ในการประเมินความเสี่ยงสำหรับสิ่งปลูกสร้างและระบบบริการอื่น เนื่องมาจากวาทฟ้าผ่าลงดิน โดยจะมีกระบวนการในการหาค่าความเสี่ยงและเลือกค่าความเสี่ยงที่ยอมรับได้ในคราวเดียวกัน จากการบริหารความเสี่ยงก็จะสามารถเลือกมาตรการป้องกันฟ้าผ่าที่เหมาะสมเพื่อลดความเสี่ยงให้ต่ำกว่าค่าความเสี่ยงที่ยอมรับได้

### 1.2 วัตถุประสงค์ของวิทยานิพนธ์

วัตถุประสงค์ของการศึกษาวิจัยมีดังต่อไปนี้

- 1) ศึกษาการประเมินความเสี่ยงของความเสียหายจากฟ้าผ่าตามมาตรฐาน IEC 62305-2
- 2) พัฒนาโปรแกรมประเมินความเสี่ยงของความเสียหายจากฟ้าผ่าตามมาตรฐาน IEC 62305-2ให้มีความสะดวกรวดเร็วมากยิ่งขึ้น
- 3) ทดสอบเปรียบเทียบโปรแกรมประเมินความเสี่ยงของความเสียหายจากฟ้าผ่าตามมาตรฐาน IEC 62305-2

### 1.3 ขอบเขตของวิทยานิพนธ์

พัฒนาโปรแกรมประเมินความเสี่ยงของความเสียหายจากฟ้าผ่าตามมาตรฐาน IEC 62305-2 ซึ่งสามารถประเมินความเสี่ยงของสิ่งปลูกสร้างโดยทั่วไป เช่น บ้านในชนบท ออฟฟิศ โรงพยาบาล และ อพาร์ทเมนต์ แล้วแสดงผลในรูปแบบของตารางข้อมูลและกราฟได้

### 1.4 ขั้นตอนการศึกษาและวิธีดำเนินการ

การศึกษาวิจัยจะดำเนินไปตามขั้นตอนหลักต่อไปนี้

- 1) ศึกษามาตรฐานและเอกสารงานวิจัยที่เกี่ยวข้องกับการประเมินความเสี่ยงของความเสียหายจากฟ้าผ่า
- 2) ศึกษาการเขียนโปรแกรมไมโครซอฟต์วิซิวัลเบสิก.เน็ต
- 3) ทำการพัฒนาโปรแกรมประเมินความเสี่ยงของความเสียหายจากฟ้าผ่าตามมาตรฐาน
- 4) ทำการทดสอบโปรแกรมประเมินความเสี่ยงของความเสียหายจากฟ้าผ่าตามมาตรฐาน
- 5) สรุปและเขียนวิทยานิพนธ์

### 1.5 ประโยชน์ที่ได้รับจากวิทยานิพนธ์

- 1) มีความรู้เรื่องการประเมินความเสี่ยงของความเสียหายจากฟ้าผ่าตามมาตรฐาน IEC 62305-2
- 2) ใช้โปรแกรมประเมินความเสี่ยงของความเสียหายจากฟ้าผ่าได้กับสิ่งปลูกสร้างทั่วไป สามารถระบุอันตรายป้องกันฟ้าผ่าพร้อมทั้งเลือกมาตรการป้องกันฟ้าผ่าทั้งแบบอัตโนมัติหรือเลือกโดยผู้ใช้ และแสดงผลในรูปแบบของตารางข้อมูลและกราฟได้

### 1.6 เนื้อหาของวิทยานิพนธ์

- เนื้อหาของวิทยานิพนธ์ที่จะนำเสนอในแต่ละบทเรียงลำดับดังนี้
- บทที่ 2 กล่าวถึงทฤษฎีเกี่ยวกับการประเมินความเสี่ยงของความเสียหายจากฟ้าผ่า
  - บทที่ 3 กล่าวถึงโปรแกรมประเมินความเสี่ยงของความเสียหายจากฟ้าผ่าตามมาตรฐาน IEC 62305-2 ซึ่งแสดงแนวคิดในการออกแบบโปรแกรมพร้อมทั้งอธิบายรายละเอียดต่างๆ
  - บทที่ 4 กล่าวถึงตัวอย่างการประเมินความเสี่ยงของความเสียหายจากฟ้าผ่า
  - บทที่ 5 เป็นบทสรุปและข้อเสนอแนะ

## บทที่ 2

### ทฤษฎีเกี่ยวกับการประเมินความเสี่ยงของความเสียหายจากฟ้าผ่า

ในบทนี้จะกล่าวถึงความเสียหายและความสูญเสีย ส่วนประกอบความเสี่ยงที่สัมพันธ์กับจุดที่ฟ้าผ่าสัมผัสสิ่งปลูกสร้าง ความถี่ของการเกิดฟ้าผ่า ความน่าจะเป็นของความเสียหายและความสูญเสียของชีวิตมนุษย์และมาตรการป้องกันฟ้าผ่าตามลำดับ

#### 2.1 ความเสียหายและความสูญเสีย

กระแสฟ้าผ่าคือแหล่งกำเนิดพื้นฐานของความเสียหาย(Sources of damage) ซึ่งสามารถแยกตามจุดที่ฟ้าผ่าสัมผัสสิ่งปลูกสร้างได้ดังต่อไปนี้

- S1 คือ สัมผัสสิ่งปลูกสร้างโดยตรง
- S2 คือ สัมผัสใกล้สิ่งปลูกสร้าง
- S3 คือ สัมผัสระบบบริการที่ต่อกับสิ่งปลูกสร้างโดยตรง
- S4 คือ สัมผัสใกล้ระบบบริการที่ต่อกับสิ่งปลูกสร้าง

ความเสียหายเนื่องจากฟ้าผ่าอาจจำกัดในส่วนของสิ่งปลูกสร้างหรือแผ่ขยายไปยังสิ่งที่อยู่บริเวณใกล้เคียงเช่นผลของการเกิดฟ้าผ่าอาจนำไปสู่ความโกลาหลหรืออาจถึงขั้นทำให้เกิดระเบิด และการแพร่กระจายของสารอันตราย เช่น วัสดุแก๊สมันตภาพรังสี สารเคมี สารพิษ เชื้อโรคทางชีวเคมี แบบที่เรียโดยมาตรฐาน IEC ได้แบ่งชนิดความเสียหาย (Types of damage) ที่เป็นผลของฟ้าผ่าได้ดังต่อไปนี้

- D1 คือ ความบาดเจ็บต่อสิ่งมีชีวิตที่อาศัยอยู่
- D2 คือ ความเสียหายทางกายภาพต่อสิ่งปลูกสร้าง
- D3 คือ ความล้มเหลวของระบบไฟฟ้าและระบบอิเล็กทรอนิกส์

ความเสียหายอาจก่อให้เกิดความสูญเสียแบบต่างๆ ซึ่งชนิดของความสูญเสีย (Types of loss) จะขึ้นกับคุณลักษณะของสิ่งปลูกสร้างดังต่อไปนี้

- L1 คือ ความสูญเสียชีวิตมนุษย์
- L2 คือ ความสูญเสียบริการสาธารณะ
- L3 คือ ความสูญเสียทางมรดกและวัฒนธรรม
- L4 คือ ความสูญเสียทางเศรษฐศาสตร์

ชนิดของความเสียหายและชนิดของความสูญเสียที่เป็นผลของแหล่งกำเนิดของความเสียหายต่างๆ ยกตัวอย่างเช่นฟ้าผ่าสัมผัสสิ่งปลูกสร้างทางสื่อสารโทรคมนาคมโดยตรง (S3) ซึ่งนำไปสู่ความล้มเหลวของระบบไฟฟ้าและระบบอิเล็กทรอนิกส์ (D3) และนำมาสู่ความสูญเสียบริการสาธารณะ (L2) ดังแสดงในตารางที่ 2.1

**ตารางที่ 2.1** แหล่งกำเนิดของความเสียหาย ชนิดของความเสียหายและชนิดของความสูญเสียตามจุดฟ้าผ่า

จุดฟ้าผ่า	แหล่งกำเนิดของความเสียหาย	สิ่งปลูกสร้าง	
		ชนิดของความเสียหาย	ชนิดของความสูญเสีย
สัมผัสสิ่งปลูกสร้างโดยตรง	S1	D1	L1, L4 <sup>2)</sup>
		D2	L1, L2, L3, L4
		D3	L1 <sup>1)</sup> , L2, L4
สัมผัสใกล้สิ่งปลูกสร้าง	S2	D3	L1 <sup>1)</sup> , L2, L4
สัมผัสระบบบริการโดยตรง	S3	D1	L1, L4 <sup>2)</sup>
		D2	L1, L2, L3, L4
		D3	L1 <sup>1)</sup> , L2, L4
สัมผัสใกล้ระบบบริการ	S4	D3	L1 <sup>1)</sup> , L2, L4
1) สำหรับสิ่งปลูกสร้างที่เสี่ยงต่อการระเบิดหรือโรงพยาบาลหรือสิ่งปลูกสร้างอื่นที่ทำให้เกิดอันตรายต่อชีวิตมนุษย์เนื่องจากความล้มเหลวของระบบไฟฟ้าและระบบอิเล็กทรอนิกส์			
2) สำหรับพื้นที่ซึ่งเกิดความเสียหายกับสัตว์			

## 2.2 ส่วนประกอบความเสี่ยงที่สัมพันธ์กับจุดที่ฟ้าผ่าสัมผัสสิ่งปลูกสร้าง

### 2.2.1 ฟ้าผ่าสัมผัสสิ่งปลูกสร้างโดยตรง

ส่วนประกอบความเสี่ยง (Risk components) ที่เกิดขึ้นคือ

$R_A$  คือ อากาศกระตุกจากไฟฟ้าช็อตของสิ่งมีชีวิตที่อาศัยอยู่

$R_B$  คือ ความเสียหายทางกายภาพ

$R_C$  คือ ความล้มเหลวของระบบไฟฟ้าและระบบอิเล็กทรอนิกส์

### 2.2.2 ฟ้่าผ่านัสมัฒ์สัไก้ลั้สัปลุกัสร้่าง

ส่วนประกอบความเสี่งที่เก้ดขั้้นคั้

$R_M$  คือ ความล้มเหลวของระบบไฟฟ้าและระบบอิเล็กทรอนิกส์

### 2.2.3 ฟ้่าผ่านัสมัฒ์สัระบบบรึการโดยตรง

ส่วนประกอบความเสี่งที่เก้ดขั้้นคั้

$R_U$  คือ อากัรระตุกจากฟ้่าซั้ดของลั้งมีขั้วิตที่อากัยอ้

$R_V$  คือ ความเสี่งหายทากายภาพ

$R_W$  คือ ความล้มเหลวของระบบไฟฟ้าและระบบอิเล็กทรอนิกส์

### 2.2.4 ฟ้่าผ่านัสมัฒ์สัระบบบรึการ

ส่วนประกอบความเสี่งที่เก้ดขั้้นคั้

$R_Z$  คือ ความล้มเหลวของระบบไฟฟ้าและระบบอิเล็กทรอนิกส์

แต่ลั้ส่วนประกอบความเสี่ง  $R_A, R_B, R_C, R_M, R_U, R_V, R_W, R_Z$  สามารถแสดงได้ดั่งสมการ

$$R_X = N_X \cdot P_X \cdot L_X \quad (2.1)$$

โดยที่  $N_X$  คือ จัันวนเหตุการณั้ความเสี่งหายต่อปี

$P_X$  คือ ความน่าจะเป็นของความเสี่งหายของลั้งปลุกัสร้่าง

$L_X$  คือ ความสุ้ญเสี่งที่เก้ดขั้้น

$$N_X = N_g \cdot A_X \quad (2.2)$$

โดยที่  $N_g$  คือ ความหนาแน่นวาบฟ้่าลั้งดินเฉลี่งต่อปี หน่วยเป็น จัันวนครั้งต่อตารางกัโลเมตรต่อปี ขั้งขั้้นกับฟ้่านั้ตั้งของลั้งปลุกัสร้่าง

$A_X$  คือ ฟ้่านั้รับฟ้่าลั้งสมมุขของลั้งปลุกัสร้่าง หน่วยเป็น ตารางกัโลเมตร

โดยมาตรฐานIECได้แบ่งส่วนประกอบความเสี่งเป็น4ฟ้่านั้ที่ความเสี่งดั่งต้อไปนั้

$R_1$  คือ ความเสี่งต่อความสุ้ญเสี่งของขั้วิตมนุ้ษย์

$$R_1 = R_A + R_B + R_C + R_M + R_U + R_V + R_W + R_Z \quad (2.3)$$

$R_2$  คือ ความเสี่งต่อความสุ้ญเสี่งของบรึการสาธาณณะ

$$R_2 = R_B + R_C + R_M + R_V + R_W + R_Z \quad (2.4)$$



$R_3$  คือ ความเสี่ยงต่อความสูญเสียทางมรดกและวัฒนธรรม

$$R_3 = R_B + R_V \quad (2.5)$$

$R_4$  คือ ความเสี่ยงต่อความสูญเสียทางเศรษฐศาสตร์

$$R_4 = R_B + R_C + R_M + R_V + R_W + R_Z \quad (2.6)$$

### 2.3 ความถี่ของการเกิดฟ้าผ่า $N_x$

#### 2.3.1 ความถี่ของการเกิดฟ้าผ่าสัมผัสสิ่งปลูกสร้างโดยตรง $N_D$

ความถี่ของการเกิดฟ้าผ่าสัมผัสสิ่งปลูกสร้างโดยตรงมีค่าเท่ากับ

$$N_D = N_g \cdot A_d \cdot C_d \cdot 10^{-6} \quad (2.7)$$

โดยที่  $N_g$  คือ ความหนาแน่นวาบฟ้าผ่าลงดิน ( $1/km^2 / year$ )

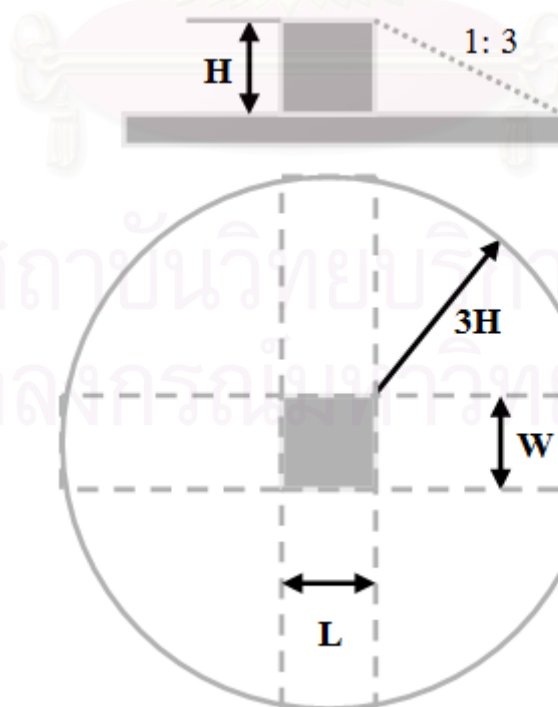
$A_d$  คือ พื้นที่รับฟ้าผ่าสัมผัส (Collection area) ของการเกิดฟ้าผ่าสัมผัสสิ่งปลูกสร้างโดยตรง ( $m^2$ ) ดังรูปที่ 2.1 และสามารถแสดงได้ดังสมการ

$$A_d = L \cdot W + 6 \cdot H \cdot (L + W) + 9 \cdot \pi \cdot (H)^2 \quad (2.8)$$

$$A_d' = 9 \cdot \pi \cdot (H_p)^2 \quad (2.9)$$

โดยที่  $H_p$  คือ ความสูงของหลังคา

$C_d$  คือ ตัวแปรสถานที่ตั้ง (Location factor) ดังแสดงในตารางที่ 2.2



รูปที่ 2.1 พื้นที่รับฟ้าผ่าสัมผัส  $A_d$  ของการเกิดฟ้าผ่าสัมผัสสิ่งปลูกสร้างโดยตรง

ตารางที่ 2.2 ตัวแปรสถานที่ตั้ง  $C_d$

สถานที่ตั้งที่สัมพันธ์กับสิ่งปลูกสร้าง	$C_d$
กระจายตัวด้วยสิ่งปลูกสร้างหรือต้นไม้ที่สูงกว่า	0.25
กระจายตัวด้วยสิ่งปลูกสร้างหรือต้นไม้ที่สูงเท่ากันหรือต่ำกว่า	0.5
ไม่มีสิ่งปลูกสร้างอื่นอยู่ใกล้เคียง	1
ตั้งอยู่บนยอดเขาหรือล้อมรอบด้วยเนินเขา	2

### 2.3.2 ความถี่ของการเกิดฟ้าผ่าใกล้สิ่งปลูกสร้าง $N_M$

ความถี่ของการเกิดฟ้าผ่าใกล้สิ่งปลูกสร้างมีค่าเท่ากับ

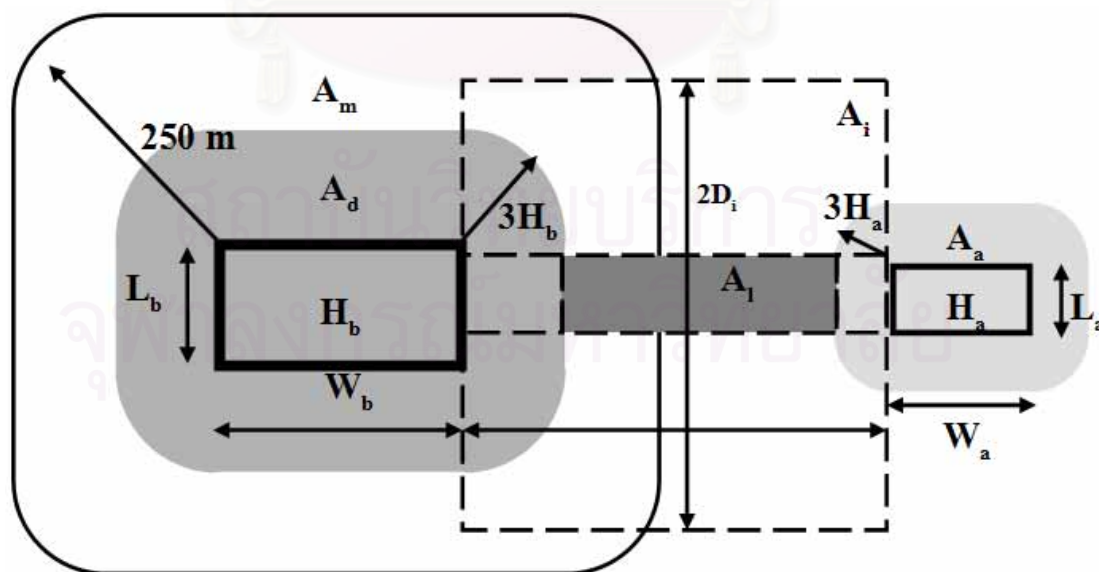
$$N_M = N_g \cdot (A_M - A_d \cdot C_d) \cdot 10^{-6} \quad (2.10)$$

โดยที่  $N_g$  คือ ความหนาแน่นวาบฟ้าผ่าลงดิน ( $1/km^2 / year$ )

$A_d$  คือ พื้นที่รับฟ้าผ่าสมมูล (Collection area) ของการเกิดฟ้าผ่าสัมผัสสิ่งปลูกสร้างโดยตรง ( $m^2$ ) ดังรูปที่ 2.1

$A_M$  คือ พื้นที่รับฟ้าผ่าสมมูล (Collection area) ของการเกิดฟ้าผ่าใกล้สิ่งปลูกสร้าง ( $m^2$ ) เป็นระยะทาง 250 เมตรรอบสิ่งปลูกสร้างดังรูปที่ 2.2

$C_d$  คือ ตัวแปรสถานที่ตั้ง (Location factor) ดังแสดงในตารางที่ 2.2



รูปที่ 2.2 พื้นที่รับฟ้าผ่าสมมูล  $A_d, A_m, A_l, A_i, A_a$

### 2.3.3 ความถี่ของการเกิดฟ้าผ่าสัมผัสระบบบริการโดยตรง $N_L$

ความถี่ของการเกิดฟ้าผ่าสัมผัสระบบบริการโดยตรงมีค่าเท่ากับ

$$N_L = N_g \cdot A_f \cdot C_d \cdot C_t \cdot 10^{-6} \quad (2.11)$$

- โดยที่  $N_g$  คือ ความหนาแน่นวาบฟ้าผ่าลงดิน ( $1/km^2 / year$ )  
 $C_d$  คือ ตัวแปรสถานที่ตั้ง (Location factor) ดังแสดงในตารางที่ 2.2  
 $A_f$  คือ พื้นที่รับฟ้าผ่าสมมูล (Collection area) ของการเกิดฟ้าผ่าสัมผัสระบบบริการโดยตรง ( $m^2$ ) ดังรูปที่ 2.2 และตารางที่ 2.3  
 $C_t$  คือ ตัวแปรหม้อแปลงไฟฟ้า (Transformer factor) ดังแสดงในตารางที่ 2.4

ตารางที่ 2.3 พื้นที่รับฟ้าผ่าสมมูล  $A_f$  และ  $A_t$

พื้นที่รับฟ้าผ่าสมมูล	สายไฟเชิงอากาศ	สายไฟฝังใต้ดิน
$A_f$	$6 \cdot H_c \cdot (L_c - 3 \cdot (H_a + H_b))$	$\sqrt{\rho} \cdot (L_c - 3 \cdot (H_a + H_b))$
$A_t$	$1000 \cdot L_c$	$25 \cdot L_c \cdot \sqrt{\rho}$

ตารางที่ 2.4 ตัวแปรหม้อแปลงไฟฟ้า  $C_t$

หม้อแปลงไฟฟ้า	$C_t$
มีหม้อแปลง	0.2
ไม่มี	1

### 2.3.4 ความถี่ของการเกิดฟ้าผ่าสัมผัสสัณฐานระบบบริการ $N_I$

ความถี่ของการเกิดฟ้าผ่าสัมผัสสัณฐานระบบบริการมีค่าเท่ากับ

$$N_I = N_g \cdot A_f \cdot C_e \cdot C_t \cdot 10^{-6} \quad (2.12)$$

- โดยที่  $N_g$  คือ ความหนาแน่นวาบฟ้าผ่าลงดิน ( $1/km^2 / year$ )  
 $A_f$  คือ พื้นที่รับฟ้าผ่าสมมูล (Collection area) ของการเกิดฟ้าผ่าสัมผัสสัณฐานระบบบริการ ( $m^2$ ) ดังรูปที่ 2.2 และตารางที่ 2.3  
 $C_t$  คือ ตัวแปรหม้อแปลงไฟฟ้า (Transformer factor) ดังแสดงในตารางที่ 2.4  
 $C_e$  คือ ตัวแปรสิ่งแวดล้อม (Environmental factor) ดังแสดงในตารางที่ 2.5

### ตารางที่ 2.5 ตัวแปรสิ่งแวดล้อม $C_e$

สิ่งแวดล้อมที่สัมพันธ์กับสิ่งปลูกสร้าง	$C_e$
ลักษณะของเมืองที่สิ่งปลูกสร้างมีความสูงกว่า 20 เมตร	0
ลักษณะของเมืองที่สิ่งปลูกสร้างมีความสูงระหว่าง 10 ถึง 20 เมตร	0.1
ลักษณะของชานเมืองที่สิ่งปลูกสร้างมีความสูงน้อยกว่า 10 เมตร	0.5
ชนบท	1

## 2.4 ความน่าจะเป็นของความเสียหาย $P_x$

### 2.4.1 ความน่าจะเป็นของความเสียหายด้วยผลของฟ้าผ่าสัมผัสสิ่งปลูก

#### สร้างโดยตรง

โดยที่  $P_A$  คือ ความน่าจะเป็นของความเสียหายสำหรับอาคารกระตุกจากฟ้าผ่า ซึ่งถือเป็นฟังก์ชันของมาตรการป้องกันฟ้าผ่าดังแสดงในตารางที่ 2.6

ตารางที่ 2.6 ค่าของความน่าจะเป็น  $P_A$  ที่ฟ้าผ่าสัมผัสสิ่งปลูกสร้างโดยตรงนำมาซึ่งความเสียหายสำหรับอาคารกระตุกจากฟ้าผ่า

มาตรการป้องกันฟ้าผ่า	$P_A$
ไม่มีมาตรการป้องกันฟ้าผ่า	1
การฉนวนทางไฟฟ้าของระบบตัวนำลงดิน (คลอสส์ลิงก์โพลีเอทิลีนหนา 3 มิลลิเมตร)	$10^{-2}$
การประสานศักย์ไฟฟ้าที่มีประสิทธิภาพ	$10^{-2}$
การทำป้ายเตือน	$10^{-1}$

$P_B$  คือ ความน่าจะเป็นของความเสียหายทางกายภาพซึ่งเป็นฟังก์ชันของระดับการป้องกันฟ้าผ่า (Lightning protective level) ดังแสดงในตารางที่ 2.7

ตารางที่ 2.7 ค่าของ  $P_B$  ขึ้นอยู่กับมาตรการป้องกันฟ้าผ่าเพื่อลดความเสียหายทางกายภาพ

คุณลักษณะของสิ่งปลูกสร้าง	ระดับการป้องกันฟ้าผ่า (LPL)	$P_B$
ไม่มีระบบป้องกันฟ้าผ่าที่สมบูรณ์	-	1
	IV	0.2
	III	0.1
	II	0.05
มีระบบป้องกันฟ้าผ่าที่สมบูรณ์		

	<i>I</i>	0.02
มีระบบตัวนำล่อฟ้าด้วยระบบป้องกันฟ้าผ่าที่สมบูรณ์ระดับ <i>I</i> และตัวนำลงดินโดยธรรมชาติที่มีความต่อเนื่องทางไฟฟ้าหรือมีลักษณะเป็นคอนกรีตเสริมแรง		0.01
มีหลังคาโลหะและระบบตัวนำล่อฟ้าและตัวนำลงดินโดยธรรมชาติที่สมบูรณ์และมีความต่อเนื่องทางไฟฟ้ามีลักษณะเป็นคอนกรีตเสริมแรง		0.001

$P_C$  คือ ความน่าจะเป็นของความเสียหายของการล้มเหลวของระบบไฟฟ้าและระบบอิเล็กทรอนิกส์ซึ่งเป็นฟังก์ชันของการประสานสัมพันธ์ระหว่างอุปกรณ์ป้องกันเสิร์จ (Surge protective devices) ขึ้นกับระดับการป้องกันฟ้าผ่าดังแสดงในตารางที่ 2.8

ตารางที่ 2.8 ค่าของความน่าจะเป็น  $P_C$  ขึ้นอยู่กับการออกแบบ SPDs ตามระดับการป้องกันฟ้าผ่า

ระดับการป้องกันฟ้าผ่า ( <i>LPL</i> )	$P_C$
ไม่มีการประสานสัมพันธ์ระหว่างอุปกรณ์ป้องกันเสิร์จ	1
(III – IV)	0.03
II	0.02
I	0.01

#### 2.4.2 ความน่าจะเป็นของความเสียหายด้วยผลของฟ้าผ่าสัมผัสใกล้สิ่ง

##### ปลูกสร้าง

โดยที่  $P_M$  คือ ความน่าจะเป็นของความเสียหายของการล้มเหลวของระบบไฟฟ้าและระบบอิเล็กทรอนิกส์ด้วยผลของแม่เหล็กไฟฟ้าซึ่งเป็นฟังก์ชันของมาตรการป้องกันฟ้าผ่าที่ขึ้นกับตัวแปร  $K_{MS}$  ดังแสดงในสมการที่ 2.13 และตารางที่ 2.10

$$K_{MS} = K_{S1} \cdot K_{S2} \cdot K_{S3} \cdot K_{S4} \quad (2.13)$$

โดยที่  $K_{S1}$  คือ ลักษณะของระบบป้องกันฟ้าผ่าสมบูรณ์หรือการชีลด์บริเวณรอยต่อของย่านการป้องกันฟ้าผ่า *LPZO/1* ดังแสดงในสมการที่ 2.14

$K_{S2}$  คือ ลักษณะของการชีลด์บริเวณภายในสิ่งปลูกสร้างบริเวณรอยต่อของย่านการป้องกันฟ้าผ่า *LPZ X/Y* ( $X > 0, Y > 1$ ) ดังแสดงในสมการที่ 2.14

$K_{S3}$  คือ ลักษณะของการเดินสายภายในดังแสดงในตารางที่ 2.9

$K_{S4}$  คือ แรงดันทนอิมพัลส์ของระบบที่ถูกป้องกันดังแสดงในสมการที่ 2.15

$$K_{S1} = K_{S2} = 0.12 \cdot W \quad (2.14)$$

$$K_{S4} = 1.2 / U_w \quad (2.15)$$

โดยที่  $W$  คือ ความกว้างของตาข่าย ( $m$ )

$U_w$  คือ ค่าพิกัดแรงดันทนอิมพัลส์ของระบบที่ถูกป้องกัน ( $kv$ )

ตารางที่ 2.9 ค่าของตัวแปร  $K_{S3}$  จะขึ้นอยู่กับลักษณะการเดินสายภายใน

ชนิดของการเดินสายภายใน	$K_{S3}$
เคเบิลไม่มีชีลด์ที่ไม่มีการใช้แนวเดินสายที่เหมาะสมเพื่อหลีกเลี่ยงพื้นที่วงปิด (ขนาดพื้นที่วงปิด $50 m^2$ )	1
เคเบิลไม่มีชีลด์ที่มีการใช้แนวเดินสายที่เหมาะสมเพื่อหลีกเลี่ยงพื้นที่วงปิด (ขนาดพื้นที่วงปิด $10 m^2$ )	0.2
เคเบิลไม่มีชีลด์ที่มีการใช้แนวเดินสายที่เหมาะสมเพื่อหลีกเลี่ยงพื้นที่วงปิด (ขนาดพื้นที่วงปิด $0.5 m^2$ )	0.02
เคเบิลมีชีลด์ที่มีค่าความต้านทานชีลด์ $5 < R_s \leq 20 \Omega / km$	0.001
เคเบิลมีชีลด์ที่มีค่าความต้านทานชีลด์ $1 < R_s \leq 5 \Omega / km$	0.0002
เคเบิลมีชีลด์ที่มีค่าความต้านทานชีลด์ $R_s \leq 1 \Omega / km$	0.0001

ตารางที่ 2.10 ค่าของความน่าจะเป็น  $P_M$  เป็นฟังก์ชันของตัวแปร  $K_{MS}$

$K_{MS}$	$P_M$
$\geq 0.4$	1
0.15	0.9
0.07	0.5
0.035	0.1
0.021	0.01
0.016	0.005
0.015	0.003
0.014	0.001
$\leq 0.13$	0.0001



### 2.4.3 ความน่าจะเป็นของความเสียหายด้วยผลของฟ้าผ่าสัมผัสระบบ บริการโดยตรง

- โดยที่  $P_U$  คือ ความน่าจะเป็นของความเสียหายสำหรับอาคารกระตุกจากฟ้าผ่าช็อต
- $P_V$  คือ ความน่าจะเป็นของความเสียหายสำหรับความเสียหายทางกายภาพ
- $P_W$  คือ ความน่าจะเป็นของความน่าจะเป็นของความเสียหายของความ

ล้มเหลวของระบบไฟฟ้าและระบบอิเล็กทรอนิกส์

ซึ่งเป็นฟังก์ชันของความน่าจะเป็นของความล้มเหลวของระบบภายใน

$P_{LD}$  ดังแสดงในตารางที่ 2.11 และควรเปรียบเทียบกับ การประสานสัมพันธ์ระหว่างอุปกรณ์ป้องกัน  
เสิร์จคือ  $P_{LD} \leq P_{SPD}$

ตารางที่ 2.11 ค่าของความน่าจะเป็น  $P_{LD}$  ขึ้นอยู่กับความต้านทานซีลด์  $R_S$  แรงดันทนอิมพัลส์ของ  
ระบบ  $U_w$

$U_w$ (kv)	$5 < R_S \leq 20$ ( $\Omega/km$ )	$1 < R_S \leq 20$ ( $\Omega/km$ )	$R_S \leq 1$ ( $\Omega/km$ )
1.5	1	0.8	0.4
2.5	0.95	0.6	0.2
4	0.9	0.3	0.04
6	0.8	0.1	0.02
ค่าความต้านทานซีลด์ $R_S$ ( $\Omega/km$ )			

### 2.4.4 ความน่าจะเป็นของความเสียหายด้วยผลของฟ้าผ่าสัมผัสใกล้ ระบบบริการ

โดยที่  $P_Z$  คือ ความน่าจะเป็นของความเสียหายของการล้มเหลวของระบบ

ไฟฟ้าและระบบอิเล็กทรอนิกส์ซึ่งเป็นฟังก์ชันของความน่าจะเป็นของความล้มเหลวของระบบ  
ภายใน  $P_L$  ดังแสดงในตารางที่ 2.12 และควรเปรียบเทียบกับ การประสานสัมพันธ์ระหว่างอุปกรณ์  
ป้องกันเสิร์จคือ  $P_L \leq P_{SPD}$

ตารางที่ 2.12 ค่าของความน่าจะเป็น  $P_{LI}$  ขึ้นอยู่กับความต้านทานซีลด์  $R_S$  แรงดันทนอิมพัลส์ของระบบ  $U_w$  และลักษณะการซีลด์สาย

$U_w$ (kv)	ไม่มีการซีลด์สาย	มีการซีลด์สายซึ่งบริษัทไม่ได้ถูกต่อที่แบ่งตัวนำประสานเดียวกัน	มีการซีลด์สายซึ่งบริษัทที่ถูกต้องที่แบ่งตัวนำประสานเดียวกัน		
			$5 < R_S \leq 20$ $\Omega / km$	$1 < R_S \leq 5$ $\Omega / km$	$R_S \leq 1$ $\Omega / km$
1.5	1	0.5	0.15	0.04	0.02
2.5	0.4	0.2	0.06	0.02	0.008
4	0.2	0.1	0.03	0.008	0.004
6	0.1	0.05	0.02	0.004	0.002
ค่าความต้านทานซีลด์ $R_S (\Omega / km)$					

## 2.5 ความสูญเสียของชีวิตมนุษย์ $L_x$

คุณลักษณะของสิ่งปลูกสร้างจะส่งผลต่อความสูญเสียของชีวิตมนุษย์ดังสมการ

$$L_A = r_a \cdot L_t \quad (2.16)$$

$$L_U = r_u \cdot L_t \quad (2.17)$$

$$L_B = L_V = r_p \cdot h_z \cdot r_f \cdot L_f \quad (2.18)$$

$$L_C = L_M = L_W = L_Z = L_o \quad (2.19)$$

โดยที่  $L_t$  คือ ความสูญเสียด้วยอาการบาดเจ็บเนื่องจากแรงดันยกาวดังแสดงในตารางที่ 2.13

ตารางที่ 2.13 ค่าเฉลี่ยที่เป็นตัวอย่างของ  $L_t$

ชนิดของสิ่งปลูกสร้าง	$L_t$
สิ่งปลูกสร้างที่มีคนอยู่ภายใน	$10^{-4}$
สิ่งปลูกสร้างที่มีคนอยู่นอก	$10^{-2}$

$L_f$  คือ ความสูญเสียเนื่องจากความเสียหายทางกายภาพดังตารางที่ 2.13

ตารางที่ 2.14 ค่าเฉลี่ยที่เป็นตัวอย่างของ  $L_f$

ชนิดของสิ่งปลูกสร้าง	$L_f$
โรงพยาบาล โรงแรม	$10^{-4}$
โรงงานอุตสาหกรรม อาคารพาณิชย์ โรงเรียน	$5 \times 10^{-2}$
พิพิธภัณฑ์ โบสถ์	$2 \times 10^{-2}$
อื่นๆ	$10^{-2}$

$L_o$  คือ ความสูญเสียเนื่องจากผลของความล้มเหลวของระบบไฟฟ้าและระบบอิเล็กทรอนิกส์ดังแสดงในตารางที่ 2.15

ตารางที่ 2.15 ค่าเฉลี่ยที่เป็นตัวอย่างของ  $L_o$

ชนิดของสิ่งปลูกสร้าง	$L_o$
สิ่งปลูกสร้างที่มีอันตรายของการระเบิด	$10^{-1}$
โรงพยาบาล	$10^{-3}$

$r_a$  คือ ตัวแปรการลดความสูญเสียของชีวิตมนุษย์ซึ่งขึ้นกับชนิดของดิน

$r_u$  คือ ตัวแปรการลดความสูญเสียของชีวิตมนุษย์ซึ่งขึ้นกับชนิดของพื้น

ซึ่งค่าตัวแปรการลดความสูญเสียของชีวิตมนุษย์ซึ่งขึ้นกับชนิดของดินและชนิดของพื้นดังแสดงในตารางที่ 2.16

ตารางที่ 2.16 ค่าของตัวแปรการลด  $r_a$  และ  $r_u$  ซึ่งเป็นฟังก์ชันของชนิดของดินและพื้น

ชนิดของพื้นผิว	$r_a$ และ $r_u$
เกษตรกรรม คอนกรีต	$10^{-2}$
หินอ่อน เซรามิก	$10^{-3}$
กรวด พรม	$10^{-4}$
ยางมะตอย ไม้ พรมน้ำมัน	$10^{-5}$

$r_p$  คือ ตัวแปรการลดความสูญเสียเนื่องจากความเสียหายทางกายภาพซึ่งขึ้นกับการเตรียมการเพื่อลดผลจากไฟไหม้ดังแสดงในตารางที่ 2.17

ตารางที่ 2.17 ค่าของตัวแปรการลด  $r_p$  ซึ่งเป็นฟังก์ชันของการเตรียมการเพื่อลดผลจากไฟไหม้

การเตรียมการเพื่อลดผลจากไฟไหม้	$r_p$
ไม่มีการเตรียมการ	1
มีการเตรียมการเช่นเครื่องดับเพลิง การติดตั้งสัญญาณเตือน ทางหนีไฟ มีการแบ่งพื้นที่อาคารออกเป็นสัดส่วนด้วยวัสดุทนไฟเพื่อป้องกันไฟลาม	0.5
มีการเตรียมการเช่นการติดตั้งระบบดับเพลิงแบบอัตโนมัติ สัญญาณเตือนแบบอัตโนมัติ	0.2

$r_f$  คือ ตัวแปรการลดความสูญเสียเนื่องจากความเสียหายทางกายภาพซึ่ง

ขึ้นกับความเสียหายไฟไหม้ของสิ่งปลูกสร้างดังแสดงในตารางที่ 2.18

ตารางที่ 2.18 ค่าของตัวแปรการลด  $r_f$  ซึ่งเป็นฟังก์ชันของความเสียหายไฟไหม้ของสิ่งปลูกสร้าง

ความเสียหายไฟไหม้	$r_f$
การระเบิด	1
สูง	$10^{-1}$
ปานกลาง	$10^{-2}$
ต่ำ	$10^{-3}$
ไม่มี	0

$h_z$  คือ ตัวแปรการเพิ่มความสูญเสียเนื่องจากความเสียหายทางกายภาพซึ่ง

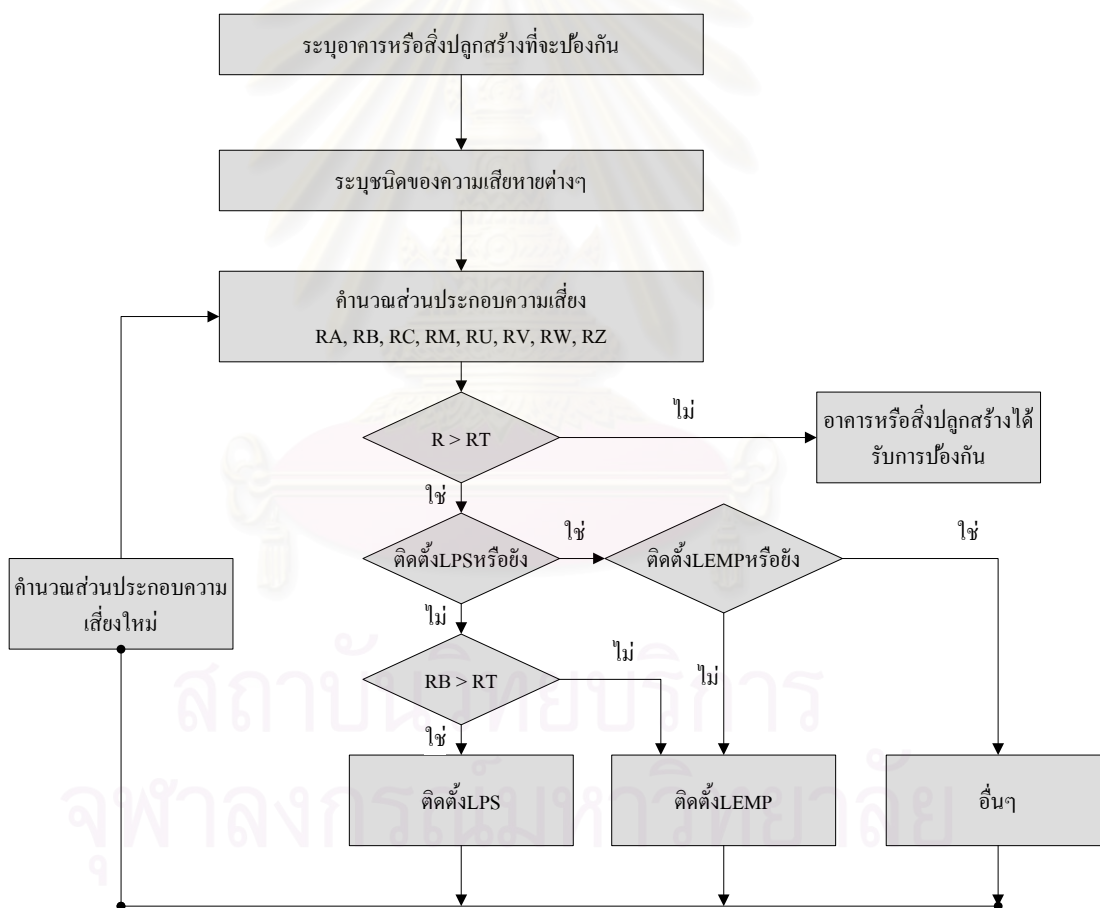
ขึ้นกับความอันตรายพิเศษดังแสดงในตารางที่ 2.19

ตารางที่ 2.19 ค่าของตัวแปรการเพิ่ม  $h_z$  ซึ่งสัมพันธ์กับปริมาณความสูญเสียที่เกิดขึ้นกับความอันตรายพิเศษ

ชนิดของความอันตรายพิเศษ	$h_z$
ไม่มีอันตรายพิเศษ	1
ความแตกตื่นตกใจต่ำ	2
ความแตกตื่นตกใจปานกลาง	5
การอพยพยากลำบาก	5
ความแตกตื่นตกใจสูง	10
อันตรายต่อสิ่งที่อยู่โดยรอบและสิ่งแวดลอม	20
เกิดสิ่งเจือปนอันตรายต่อสิ่งที่อยู่โดยรอบและสิ่งแวดลอม	50

## 2.6 ตัวเลือกของมาตรการป้องกันฟ้าผ่า

เริ่มจากตรวจสอบส่วนประกอบความเสี่ยงสำหรับความเสียหายทางกายภาพด้วยผลของฟ้าผ่าสัมผัสสิ่งปลูกสร้างโดยตรง  $R_B$  ว่าเกินค่าความเสี่ยงที่ยอมรับได้  $R_T$  หรือไม่ ถ้าเกินก็จะต้องติดตั้งระบบป้องกันฟ้าผ่าที่สมบูรณ์โดยประกอบด้วยระบบป้องกันฟ้าผ่าภายนอกและระบบป้องกันฟ้าผ่าภายใน ([7, 8] สำหรับการออกแบบและติดตั้งระบบป้องกันฟ้าผ่า) ถ้าส่วนประกอบความเสี่ยงสำหรับความเสียหายทางกายภาพด้วยผลของฟ้าผ่าสัมผัสสิ่งปลูกสร้างโดยตรง  $R_B$  น้อยกว่าค่าความเสี่ยงที่ยอมรับได้  $R_T$  แล้ว ให้ตรวจสอบต่อไปว่าสามารถลดความเสี่ยงจากการติดตั้งการป้องกันแม่เหล็กไฟฟ้าจากฟ้าผ่าได้หรือไม่ ขั้นตอนการเลือกมาตรการป้องกันสำหรับชนิดของความสูญเสีย  $L1$  ถึง  $L3$  ดังแสดงในรูปที่ 2.3



รูปที่ 2.3 ขั้นตอนการเลือกมาตรการป้องกันสำหรับชนิดของความสูญเสีย  $L1$  ถึง  $L3$

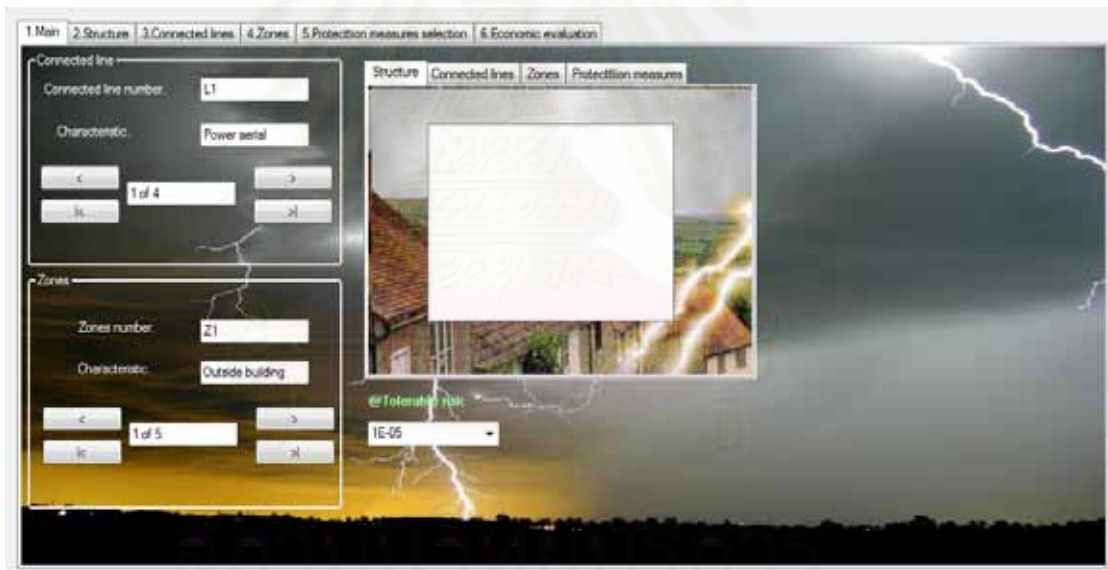
## บทที่ 3

### ส่วนประกอบของโปรแกรมประเมินความเสี่ยงของความเสียหายจากฟ้าผ่า

การพัฒนาโปรแกรมประเมินความเสี่ยงของความเสียหายจากฟ้าผ่า จะทำตามมาตรฐาน IEC 62305-2:2006 ซึ่งเป็นมาตรฐานที่ยอมรับและแพร่หลายทั่วโลก การออกแบบโปรแกรมจะเน้นความสะดวกในการป้อนข้อมูล และการแสดงผลในรูปแบบกราฟและตารางข้อมูล ซึ่งจะใช้การเขียนโปรแกรมไมโครซอฟต์วิซิวัลเบสิก.เน็ต ในการพัฒนาโปรแกรม

#### 3.1 ส่วนของหน้าหลัก

ส่วนของหน้าหลักจะสรุปข้อมูลเกี่ยวกับอาคารสิ่งปลูกสร้าง ระบบบริการ หรือ ยานป้องกันฟ้าผ่าและมาตรการป้องกันฟ้าผ่าจะถูกนำมาแสดงที่หน้าต่าง Structure, Connected line, Zones, Protection measures ดังแสดงในรูปที่ 3.1



รูปที่ 3.1 ส่วนของหน้าหลัก

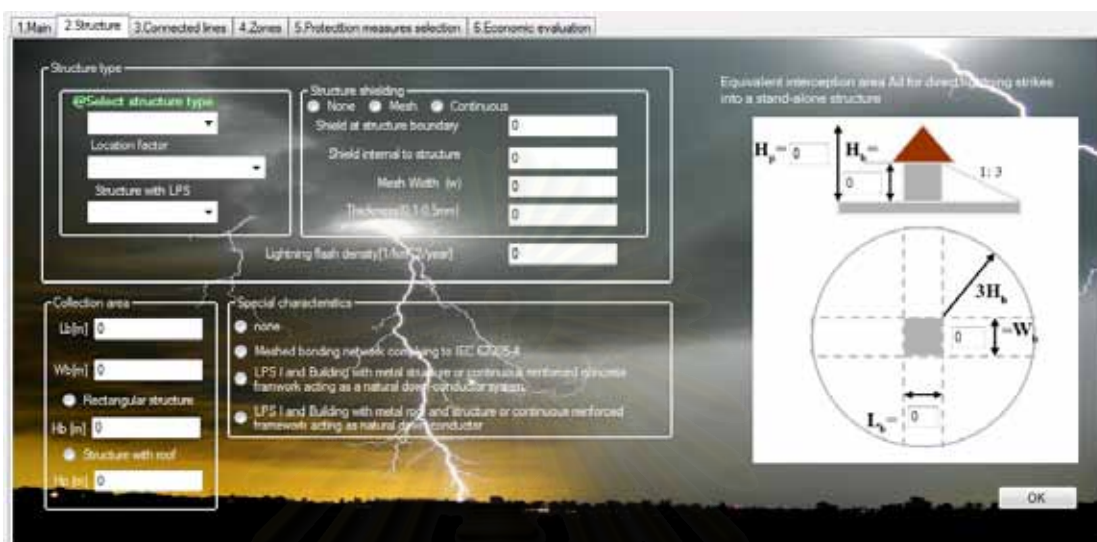
#### 3.2 ส่วนของคุณลักษณะสิ่งปลูกสร้าง

ส่วนของคุณลักษณะสิ่งปลูกสร้างที่ผู้ใช้จะต้องป้อนข้อมูลดังแสดงในรูปที่ 3.1 และตารางที่ 3.1 มีส่วนประกอบหลักคือ

- พื้นที่รับฟ้าผ่าสมมูลของสิ่งปลูกสร้าง (Collection area)



- รูปแบบสิ่งปลูกสร้าง(Structure type)
- คุณลักษณะเฉพาะของสิ่งปลูกสร้าง(Special characteristic)



รูปที่ 3.2 ส่วนของคุณลักษณะสิ่งปลูกสร้าง

ตารางที่ 3.1 คุณลักษณะสิ่งปลูกสร้างภายใต้การประเมินความเสี่ยง

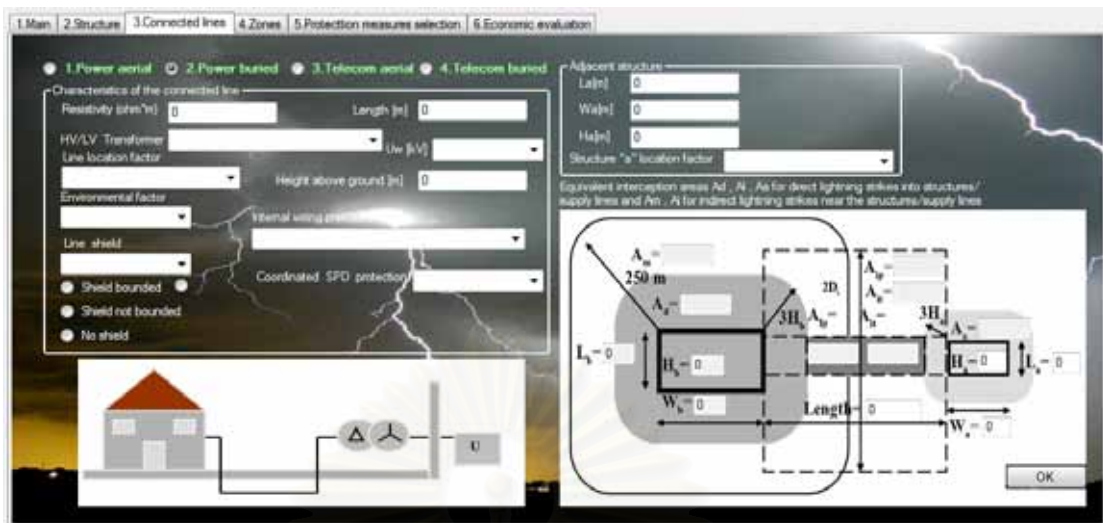
Collection area		
$L_b, W_b, H_b$	Structure length, width, height in metres	<ul style="list-style-type: none"> <li>• User entered</li> </ul>
Structure type		
$C_d$	Height factor for surrounding object height(Location factor)	<ul style="list-style-type: none"> <li>• Isolated object on a hilltop or a knoll-2</li> <li>• Isolated object: no other objects in the vicinity -1</li> <li>• Object surround by object or trees of the same heights or smaller-0.5</li> <li>• Object surround by higher objects or trees-0.25</li> </ul>
$P_B$	Probability that a flash to a structure will cause physical Damage	<ul style="list-style-type: none"> <li>• None – 1</li> <li>• LPS – IV – 0.2</li> </ul>

	(Structure with <i>LPS</i> )	<ul style="list-style-type: none"> <li>• <i>LPS – III – 0.1</i></li> <li>• <i>LPS – II – 0.05</i></li> <li>• <i>LPS – I – 0.02</i></li> </ul>
$K_{S1}$	Screening effectiveness of external structure, <i>LPS</i> or other shield at boundary <i>LPZ0/1</i> (Shield at structure boundary)	<ul style="list-style-type: none"> <li>• User entered</li> </ul> <p>e.g.</p> <p>Poor-Brick, masonry, timber flammable material, non conducting material, unprotect roof installations with electrical lines to inside</p> <p>e.g. antennae-1.0</p> <p>Average-Continuous reinforced or steel columns or down conductors (maximum spacing 20 m)-0.2</p> <p>Good-All metal construction-0.0001</p>
$K_{S2}$	Screening effectiveness of shield internal to the structure at boundary <i>LPZ X / Y (X &gt; 0, Y &gt; 1)</i> (Shield internal to structure)	<ul style="list-style-type: none"> <li>• User entered(Depend on characteristic of shielding zones)</li> </ul> $K_{S1} = K_{S2} = 0.12 \bullet W$ <p>e.g.</p> <p>No internal spatial screening of zones in side building-1.0</p>
$N_g$	Lightning ground flash density <i>flash / km<sup>2</sup> / year</i>	<ul style="list-style-type: none"> <li>• User entered</li> </ul>

### 3.3 ส่วนของคุณลักษณะระบบบริการ

ส่วนของคุณลักษณะของระบบบริการที่ผู้ใช้ต้องป้อนข้อมูลดังแสดงในรูปที่ 3.2 และตารางที่ 3.2 มีส่วนประกอบหลักคือ

- คุณลักษณะของระบบบริการ(Characteristic of the connected line)
- สิ่งปลูกสร้างที่ติดกัน(Adjacent structure)



รูปที่ 3.3 ส่วนของคุณลักษณะระบบบริการ

ตารางที่ 3.2 คุณลักษณะระบบบริการภายใต้การประเมินความเสี่ยง

Characteristic of the connected line		
$L_C, H_b, \rho$	Structure length, height in metres, soil resistivity in $\Omega m$	<ul style="list-style-type: none"> <li>User entered</li> </ul>
$C_t$	Correction factor for the presence of a distribution transformer (HV/LV transformer) <b>Note:</b> A transformer is only possible for the power line	<ul style="list-style-type: none"> <li>LV line without a transformer-1.0</li> <li>MV line with a HV/LV transformer or isolation transformer-0.2</li> </ul>
$C_d$	Height factor for surrounding object height(Location factor)	<ul style="list-style-type: none"> <li>Isolated object on a hilltop or a knoll-2</li> <li>Isolated object: no other objects in the vicinity -1</li> <li>Object surround by object or trees of the same heights or smaller-0.5</li> <li>Object surround by higher objects or trees-0.25</li> </ul>
$C_e$	Density factor relating to service drops(Environmental factor)	<ul style="list-style-type: none"> <li>rural(i.e. Dense e.g. Sparse)- 1</li> <li>suburban(<math>h &lt; 10m</math> e.g. large</li> </ul>

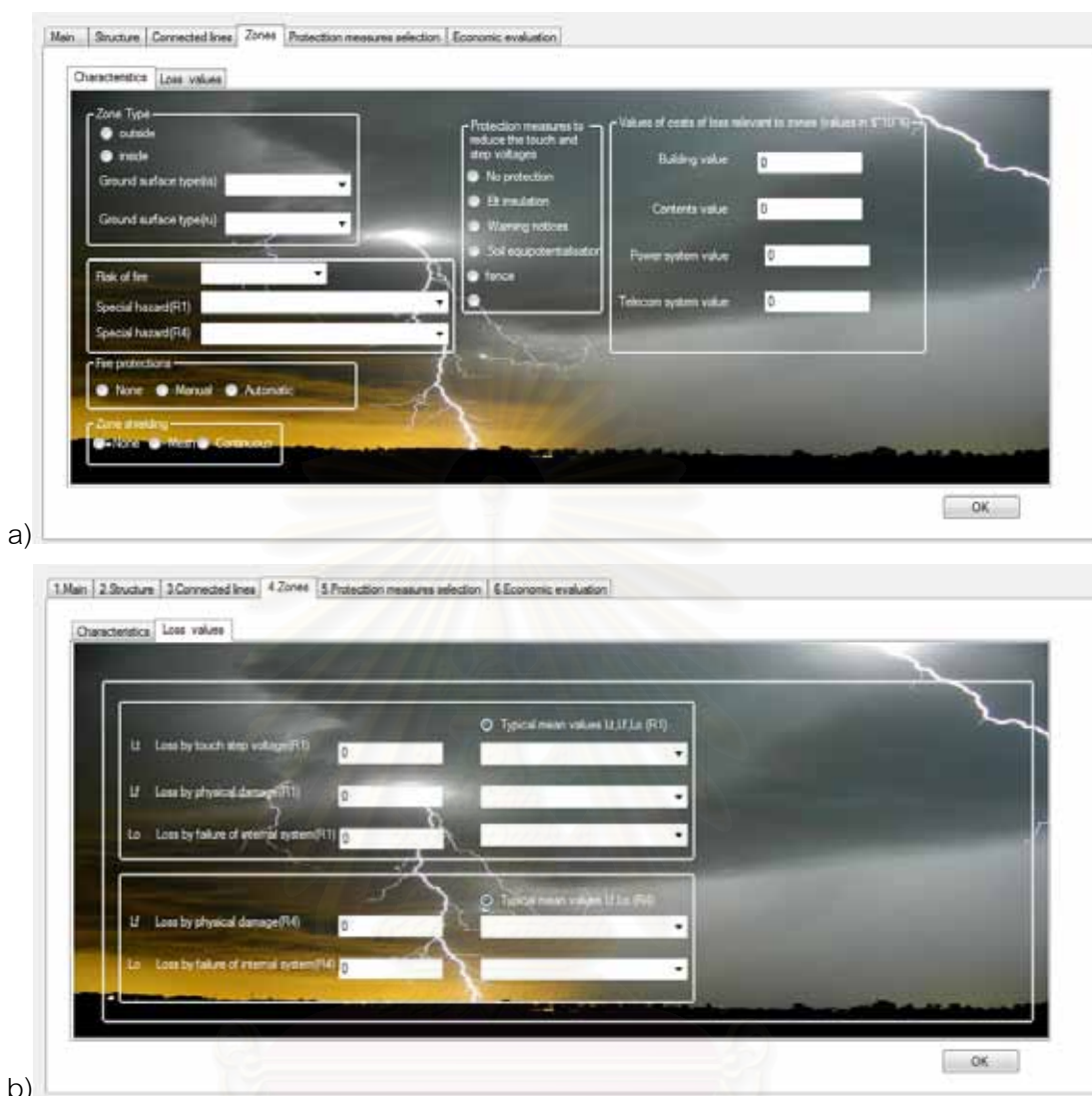
		housing development or suburb) - 0.5 <ul style="list-style-type: none"> <li>urban(<math>10 &lt; h &lt; 20m</math> i.e. Dense e.g. town or city)- 0.1</li> <li>urban(<math>h &lt; 20m</math> i.e. Dense e.g. town or city)- 0</li> </ul>
$U_w$	Impulse withstand voltage in kilo-volt	<ul style="list-style-type: none"> <li>1.5</li> <li>2.5</li> <li>4</li> <li>6</li> </ul>
$P_{LD}, P_{LI}$	Probability of failure of electrical/ electronic equipment due to direct or strike to other overhead service line based on external wiring type.(Line shield)	<ul style="list-style-type: none"> <li>Depend on the Line shield <math>R_s</math> (e.g. No shield, Shield bounded, Shield not bound for <math>P_{LI}</math>) and the impulse withstand voltage</li> </ul>
$K_{S3}$	Screening effectiveness of internal wiring type. (Internal wiring precaution)	<ul style="list-style-type: none"> <li>Depend on characteristics of internal wiring e.g. <b>Unshielded line</b> <ul style="list-style-type: none"> <li>No routing precaution in order to avoid loops (large buildings <math>A = 50m^2</math>)-1</li> <li>Routing precautions in order to avoid large loops (<math>A = 10m^2</math>) -0.2</li> <li>Routing precaution in order to avoid loops (<math>A = 0.5m^2</math>) -0.02</li> </ul> </li> <li><b>Shielded line</b> <ul style="list-style-type: none"> <li><math>5 &lt; R_s \leq 20\Omega/km</math> -0.001</li> <li><math>1 &lt; R_s \leq 5\Omega/km</math> -0.0002</li> <li><math>R_s \leq 1\Omega/km</math> -0.0001</li> </ul> </li> </ul>
$K_{S4}$	Correction factor for impulse level of equipment	<ul style="list-style-type: none"> <li>Depend on the impulse withstand voltage</li> </ul>

		$K_{S4} = 1.2/U_w$
$P_{SPD}$	The user's selection of surge protection applies to all services and the entire structure being protected  (Coordinated <i>SPD</i> protection)	<ul style="list-style-type: none"> <li>• <i>None</i> -1</li> <li>• <i>LPS - IV</i> -0.2</li> <li>• <i>LPS - III</i> -0.1</li> <li>• <i>LPS - II</i> -0.05</li> <li>• <i>LPS - I</i> -0.02</li> </ul>
<b>Adjacent structure</b>		
$(L_a, W_a, H_a)$	Structure length, width, height in metres	<ul style="list-style-type: none"> <li>• User entered</li> </ul>
$C_{da}$	Height factor for surrounding object height(Location factor)	<ul style="list-style-type: none"> <li>• Isolated object on a hilltop or a knoll-2</li> <li>• Isolated object: no other objects in the vicinity -1</li> <li>• Object surround by object or trees of the same heights or smaller-0.5</li> <li>• Object surround by higher objects or trees-0.25</li> </ul>

### 3.4 ส่วนของคุณลักษณะย่านป้องกันฟ้าผ่า

ส่วนของคุณลักษณะย่านป้องกันฟ้าผ่าที่ผู้ใช้ต้องป้อนข้อมูลดังแสดงในรูปที่3.4และตารางที่3.3มีส่วนประกอบหลักคือ

- คุณลักษณะของย่านป้องกันฟ้าผ่า(Characteristic of zones)
- ค่าความสูญเสีย(Loss values)
- มูลค่าความสูญเสีย(Cost of Loss)



รูปที่ 3.4 ส่วนของคุณลักษณะย่านป้องกันฟ้าผ่า

a) คุณลักษณะย่านป้องกันฟ้าผ่า

b) ความสูญเสียของชีวิตมนุษย์และความสูญเสียทางเศรษฐศาสตร์

ตารางที่ 3.3 คุณลักษณะย่านป้องกันฟ้าผ่าภายใต้การประเมินความเสี่ยง

Characteristic of zones		
$r_a, r_u$	Value of reduction factor as a function of type of surface of soil or floor. (Ground surface type)	<ul style="list-style-type: none"> <li>• Agricultural, concrete-<math>10^{-2}</math></li> <li>• Marble, ceramic-<math>10^{-3}</math></li> <li>• Gravel, moquette, carpets-<math>10^{-4}</math></li> <li>• Asphalt, linoleum, wood-<math>10^{-5}</math></li> </ul>
$r_f$	Value of reduction factor as a function of risk of fire of structure that a dangerous	<ul style="list-style-type: none"> <li>• Explosion-1</li> <li>• High-<math>10^{-1}</math></li> </ul>



	discharge will initiate a fire, explosion, mechanical destruction or chemical release.(Risk of fire)	<ul style="list-style-type: none"> <li>• Ordinary-<math>10^{-2}</math></li> <li>• Low-<math>10^{-3}</math></li> <li>• None-0</li> </ul>
$h_z$	Value of factor increasing the relative amount of loss in presence of a special hazard. (Special hazard)	<ul style="list-style-type: none"> <li>• Contamination of surrounding or environment-50</li> <li>• Hazard for surroundings or environment- 20</li> <li>• High level of panic(e.g. structures designed for cultural or sport events with a number of participants greater than 1000 persons)- 10</li> <li>• Difficulty of evacuation(e.g. structures with immobilized persons, hospitals)- 5</li> <li>• Average level of panic(e.g. structures designed for cultural or sport events with a number of participants between 100 and 1000 persons)- 5</li> <li>• Low level of panic (e.g. a structure limited to two floors and the number of persons not greater than 100)- 2</li> <li>• No special hazard-1</li> </ul>
$r_p$	Value of reduction factor as a function of provisions taken to reduce the consequences of fire(Fire protections)	<ul style="list-style-type: none"> <li>• No provisions-1</li> <li>• One of the following provision: extinguishers; fixed manually operated extinguishing installation; manual alarm</li> </ul>

		<p>installations; hydrants; fire proof compartments; protect escape routes-0.5</p> <ul style="list-style-type: none"> <li>• One of the following provisions: fixed automatically operated extinguishing installation; automatic alarm installations-0.2</li> </ul>
$K_{S2}$	<p>Screening effectiveness of shield internal to the structure at boundary <i>LPZ</i></p> <p><math>X/Y(X &gt; 0, Y &gt; 1)</math></p> <p>(Shield internal to structure)</p>	<ul style="list-style-type: none"> <li>• <b>User entered</b>(Depend on characteristic of shielding zones)</li> <li>e.g.</li> <li>No internal spatial screening of zones in side building-1.0</li> </ul> $K_{S1} = K_{S2} = 0.12 \bullet W$
$P_A$	<p>Probability that a flash to a structure will cause injury to living beings that lightning will cause a shock to animals or human beings inside and up to 3m outside of structure due to dangerous step and touch potentials.</p> <p>(Protection measures to reduce the touch and step voltages)</p>	<ul style="list-style-type: none"> <li>• No protection measures-1</li> <li>• Warning notices-<math>10^{-1}</math></li> <li>• Effective soil equipotentialization-<math>10^{-2}</math></li> <li>• Electrical insulation of exposed down-conductor (e.g. at least 3 mm cross-linked polyethylene)- <math>10^{-2}</math></li> </ul>
<b>Loss values</b>		
$L_t$	<p>Loss due to injury by touch and step voltages; Unacceptable loss of human life due to step and touch potential inside and up to 3m outside</p>	<ul style="list-style-type: none"> <li>• All type(persons inside the building)- <math>10^{-4}</math></li> <li>• All type(persons outside the building)- <math>10^{-2}</math></li> </ul>
$L_f$	<p>Loss due to physical damage;</p> <p>Unacceptable loss of irreplaceable cultural heritage due to fire.</p>	<ul style="list-style-type: none"> <li>• <b>User entered</b></li> <li>• Hospital, hotels, civil buildings-<math>10^{-1}</math></li> </ul>

		<ul style="list-style-type: none"> <li>Industrial, commercial, school-<math>5 \times 10^{-2}</math></li> <li>Public entertainment, museum, churches -<math>2 \times 10^{-2}</math></li> <li>Others-<math>10^{-2}</math></li> </ul>
$L_o$	Loss due to failure of internal systems; Unacceptable economic loss due to overvoltages (average value of possible loss/total value structure, contents & activities)	<ul style="list-style-type: none"> <li>User entered</li> <li>Structure with risk of explosion-<math>10^{-1}</math></li> <li>Hospitals, hotel, Industrial properties, offices, commercial activities-<math>10^{-2}</math></li> <li>Museum, Properties for public use, Agricultural properties, schools, prisons, churches, public entertainment -<math>10^{-3}</math></li> <li>Others-<math>10^{-4}</math></li> </ul>
<b>Cost of loss</b>		
$C_B$	Cost of the building	<ul style="list-style-type: none"> <li>User entered</li> </ul>
$C_C$	Cost of the contents	<ul style="list-style-type: none"> <li>User entered</li> </ul>
$C_A$	Cost of the building	<ul style="list-style-type: none"> <li>User entered</li> </ul>
$C_{SP}$	Cost of power system in the structure	<ul style="list-style-type: none"> <li>User entered</li> </ul>
$C_{ST}$	Cost of telecom system in the structure	<ul style="list-style-type: none"> <li>User entered</li> </ul>

### 3.5 ส่วนของการเลือกมาตรการป้องกัน

ส่วนของการเลือกมาตรการป้องกันฟ้าผ่าที่ผู้ใช้ต้องป้อนข้อมูลดังแสดงในรูปที่ 3.5 และตารางที่ 3.4 มีส่วนประกอบหลักคือ

- รูปแบบตารางข้อมูลและกราฟ
- มาตรการป้องกันฟ้าผ่าทั้งแบบอัตโนมัติหรือเลือกโดยผู้ใช้

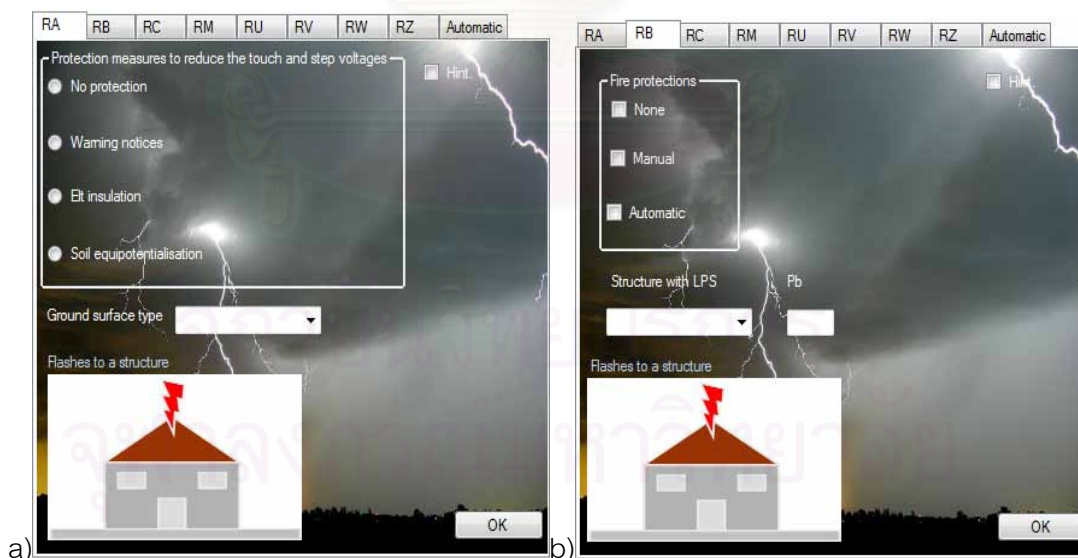


รูปที่ 3.5 ส่วนของการเลือกมาตรการป้องกันฟ้าผ่า

ตารางที่ 3.4 มาตรการป้องกันฟ้าผ่าภายใต้การประเมินความเสี่ยง

Manual Calculation		
$R_A$	Risk component for electric shocks to living beings as a result of direct lightning strikes	<ul style="list-style-type: none"> <li>Depend on the protective measures to reduce the touch and step voltages and Ground surface type</li> </ul>
$R_B$	Risk component for physical damage as a result of direct lightning strikes	<ul style="list-style-type: none"> <li>Depend on the <i>LPS</i> class and Fire protection</li> </ul>
$R_C$	Risk of malfunctioning of electrical and electronic systems as a result of surges caused by direct lightning strikes	<ul style="list-style-type: none"> <li>Depend on the Coordinated <i>SPD</i> protection</li> </ul>
$R_M$	Risk of malfunctioning of electrical and electronic systems as a result of surges caused by direct lightning strikes near the building or structure	<ul style="list-style-type: none"> <li>Depend of the adopted lightning protection measure (<i>LPM</i>) according to a factor <math>K_{MS}</math></li> </ul>
$R_U$	Risk components for electric shocks to living beings in the event of direct lightning strikes to utility lines entering the building or structure	

$R_V$	Risk components for physical damage in the event of direct lightning strikes to utility lines entering the building or structure	<ul style="list-style-type: none"> <li>Depend on the service shield (<math>R_S</math>), the impulse withstand voltage, the typical protection measures and the <i>SPDs</i> at the entrance of the structure:</li> </ul>
$R_W$	Risk of failure of electrical and electronic systems as a result of surges caused by direct lightning strikes to utility lines entering the building or structure.	
$R_Z$	Risk of failure of electrical and electronic systems as a result of surges caused by direct lightning strikes to the ground next to the utility lines entering the building or structure	<ul style="list-style-type: none"> <li>Depend on the service shield (<math>R_S</math>), the impulse withstand voltage, the typical protection measures and the <i>SPDs</i> at the entrance of the structure</li> </ul>

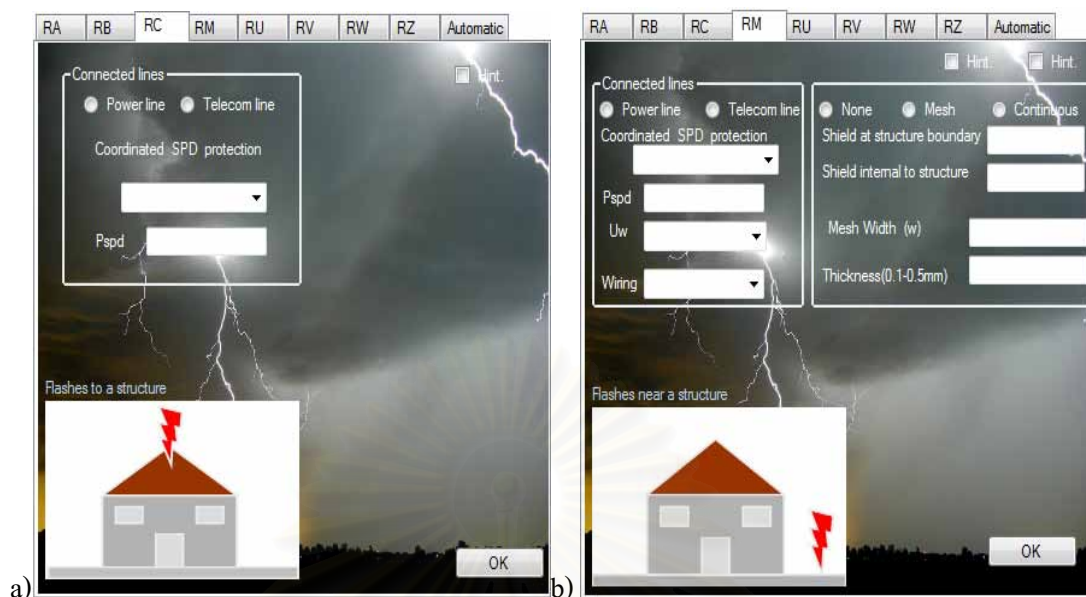


รูปที่ 3.6 ส่วนของการเลือกมาตรการป้องกันฟ้าผ่าโดยผู้ใช้  $R_A$ ,  $R_B$

a) เพื่อแก้ไขส่วนประกอบความเสี่ยง  $R_A$

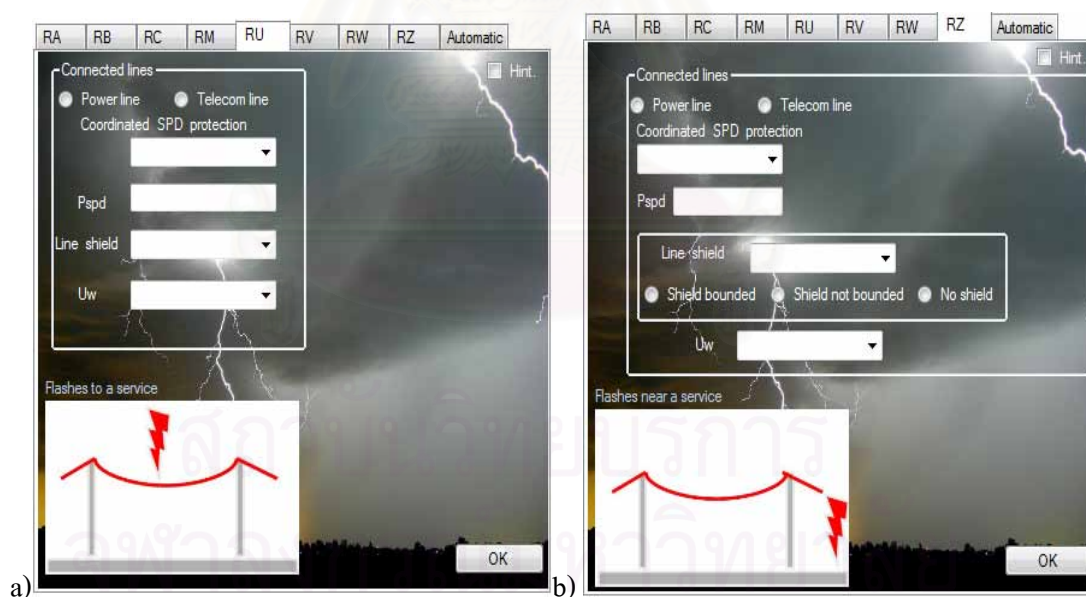
b) เพื่อแก้ไขส่วนประกอบความเสี่ยง  $R_B$





รูปที่ 3.7 ส่วนของการเลือกมาตรการป้องกันฟ้าผ่าโดยผู้ใช้  $R_C$ ,  $R_M$

- a) เพื่อแก้ไขส่วนประกอบความเสี่ยง  $R_C$   
 b) เพื่อแก้ไขส่วนประกอบความเสี่ยง  $R_M$



รูปที่ 3.8 ส่วนของการเลือกมาตรการป้องกันฟ้าผ่าโดยผู้ใช้  $R_U$ ,  $R_V$ ,  $R_W$ ,  $R_Z$

- a) เพื่อแก้ไขส่วนประกอบความเสี่ยง  $R_U$ ,  $R_V$ ,  $R_W$   
 b) เพื่อแก้ไขส่วนประกอบความเสี่ยง  $R_Z$



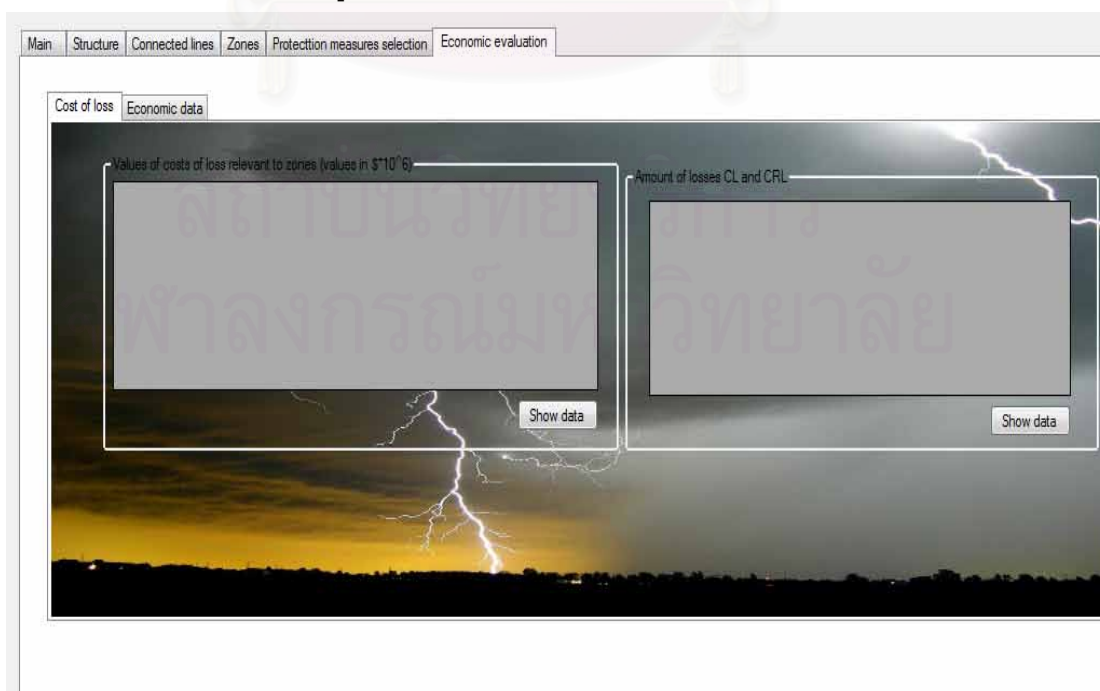


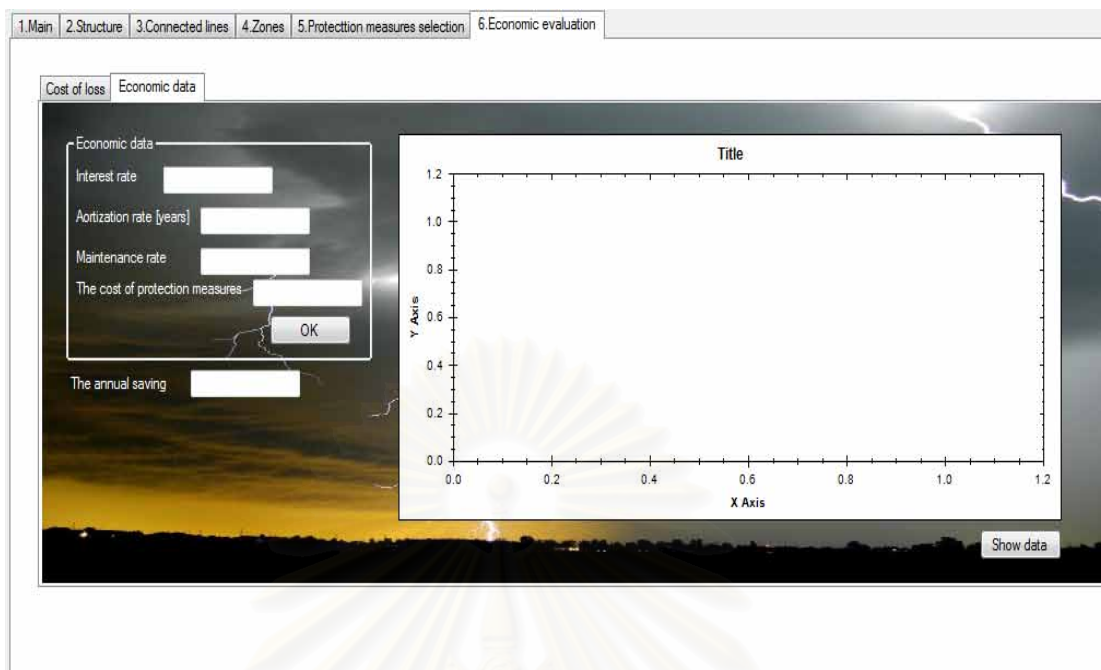
รูปที่ 3.9 ส่วนของการเลือกมาตรการป้องกันฟ้าผ่าโดยอัตโนมัติ

### 3.6 การประเมินทางเศรษฐศาสตร์

ส่วนของการประเมินทางเศรษฐศาสตร์ที่ผู้ใช้งานต้องป้อนข้อมูลดังแสดงในรูปที่ 3.10 และตารางที่ 3.4 มีส่วนประกอบหลักคือ

- มูลค่าความสูญเสีย (Cost of loss)
- ข้อมูลทางเศรษฐศาสตร์ (Economic data)





รูปที่ 3.10 ส่วนของการประเมินทางเศรษฐศาสตร์

ตารางที่ 3.5 ส่วนของการประเมินทางเศรษฐศาสตร์

Evaluation of costs of loss		
$i$	The interest rate	• User entered
$a$	The amortization rate	• User entered
$m$	The maintenance rate	• User entered
$S$	The annual saving	• User entered

สถาบันวิทยบริการ  
จุฬาลงกรณ์มหาวิทยาลัย

## บทที่ 4

### ตัวอย่างการประเมินความเสี่ยงของความเสียหายจากฟ้าผ่า

ฟ้าผ่าเป็นปรากฏการณ์ธรรมชาติอันสวยงามและน่าสะพรึงกลัวซึ่งแม้กระทั่งทุกวันนี้เราก็กังไม่สามารถสร้างทฤษฎีขึ้นมาอธิบายการเกิดฟ้าผ่าได้อย่างครบถ้วนได้ จึงอาศัยแต่การตั้งสมมุติฐานขึ้นมาแต่ยังโชคดีที่เราสามารถหาวิธีป้องกันฟ้าผ่าและการประเมินความเสี่ยงจากฟ้าผ่าได้ ผลอันทำให้การสร้างอาคารสูงไม่ได้รับอันตรายจากฟ้าผ่า ในบทนี้จะเสนอตัวอย่างที่จะนำมาประเมินความเสี่ยงของความเสียหายจากฟ้าผ่าได้แก่ บ้านในชนบท ออฟฟิศ โรงพยาบาล อพาร์ทเมนท์ ซึ่งจะแสดงให้เห็นว่าจะสามารถประเมินความเสี่ยงของสิ่งปลูกสร้างได้อย่างไร ต้องมีการป้องกันฟ้าผ่าหรือไม่ ความเสี่ยงเกิดจากส่วนประกอบความเสี่ยงใดและมีมาตรการป้องกันฟ้าผ่าอย่างไรเพื่อลดความเสี่ยงนี้

#### 4.1 บ้านในชนบท

สำหรับตัวอย่างนี้ความเสี่ยงต่อความสูญเสียของชีวิตมนุษย์  $R_L$  จะถูกคำนวณและนำมาเปรียบเทียบกับความเสี่ยงที่ยอมรับได้  $R_T$  (Tolerable Risk) สำหรับมาตรฐาน IEC เท่ากับ  $10^{-5}$  และใช้มาตรการป้องกันฟ้าผ่าที่เหมาะสมเพื่อลดความเสี่ยงต่อไป

##### 4.1.1 คุณลักษณะของสิ่งปลูกสร้าง

- คุณลักษณะของบ้านในชนบทแสดงไว้ในตารางที่ 4.1 และรูปที่ 4.1
- คุณลักษณะของระบบบริการที่เป็นระบบจำหน่ายแรงต่ำของบ้านในชนบท ดังแสดงในตารางที่ 4.2 และรูปที่ 4.2
- คุณลักษณะของระบบบริการที่เป็นระบบสื่อสารโทรคมนาคมของบ้านในชนบทดังแสดงในตารางที่ 4.3 และรูปที่ 4.3

ตารางที่ 4.1 คุณลักษณะของบ้านในชนบท

Parameter	Comment	Symbol	Value
Dimension ( $m$ )	-	$(L_b, W_b, H_b)$	$15 \times 20 \times 6$
Location factor	Isolated	$C_d$	1
LPS	None	$P_B$	1
Shield at structure boundary	None	$K_{S1}$	1
Shield internal to structure	None	$K_{S2}$	1
Lightning flash density	$1/km^2 / year$	$N_g$	4

ตารางที่ 4.2 คุณลักษณะของระบบบริการที่เป็นระบบจำหน่ายแรงต่ำของบ้านในชนบท

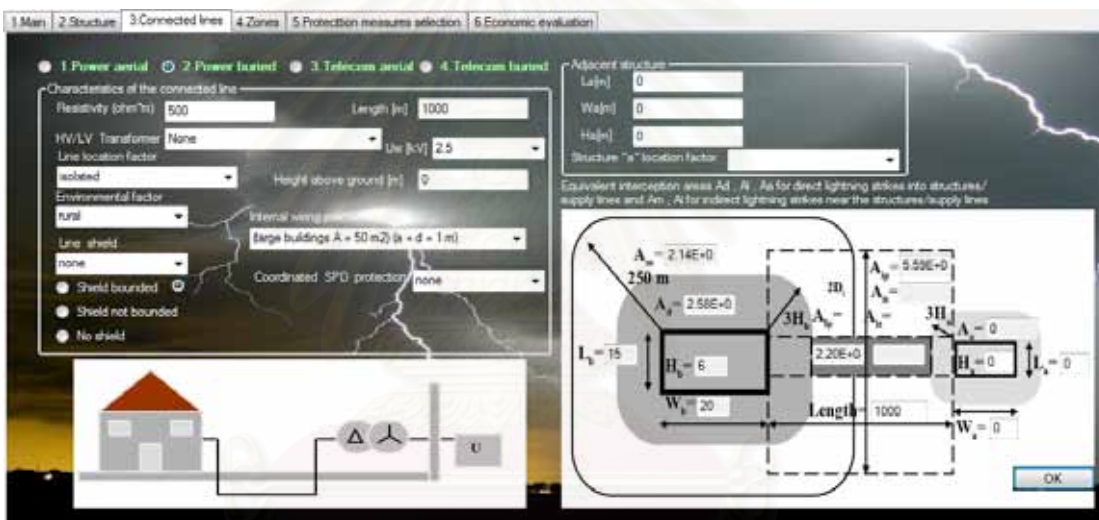
Parameter	Comment	Symbol	Value
Soil resistivity	$\Omega m$	$\rho$	500
Length (m)	-	$L_c$	1000
Height(m)	Buried	-	-
HV/LV transformer	None	$C_t$	1
Line location factor	Isolated	$C_d$	1
Line environment factor	Rural	$C_e$	1
Line shielding	None	$P_{LD}$	1
		$P_{LI}$	-
Internal wiring precaution	None	$K_{S3}$	1
Withstand of internal system	$U_w = 2.5kv$	$K_{S4}$	0.6
Coordinated SPD protection	None	$P_{SPD}$	1
End "a" line structure dimensions(m)	None	$L_a \times W_a \times H_a$	-

ตารางที่ 4.3 คุณลักษณะของระบบบริการที่เป็นระบบสื่อสารโทรคมนาคมของบ้านในชนบท

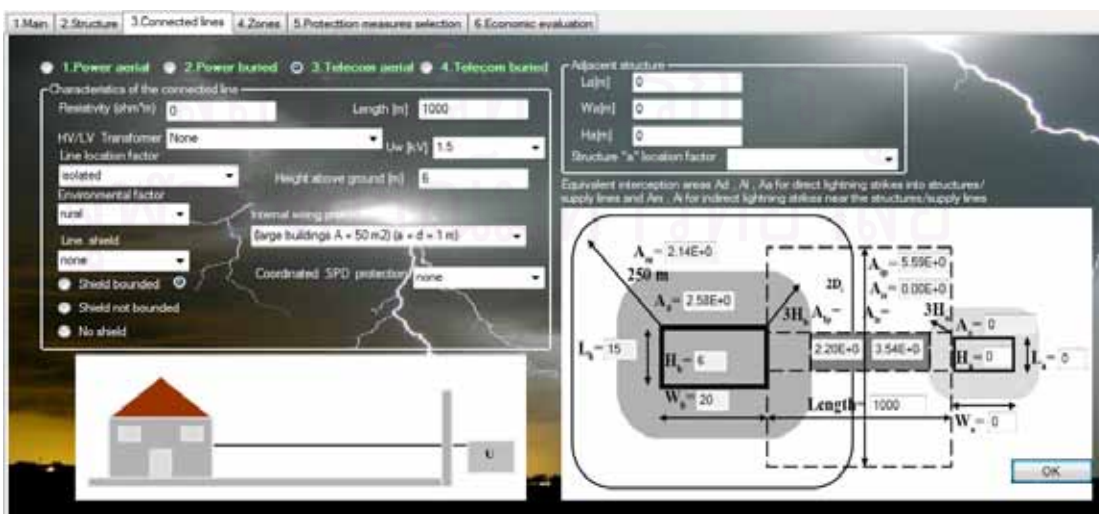
Parameter	Comment	Symbol	Value
Length(m)	-	$L_c$	1000
Height(m)	Aerial	$H_c$	6
Line location factor	Isolated	$C_d$	1
Line environment factor	Rural	$C_e$	1
Line shielding	None	$P_{LD}$	1
		$P_{LI}$	-
Internal wiring precaution	None	$K_{S3}$	1
Withstand of internal system	$U_w = 1.5kv$	$K_{S4}$	1
Coordinated SPD protection	None	$P_{SPD}$	1
End "a" line structure dimensions(m)	None	$L_a \times W_a \times H_a$	-



รูปที่ 4.1 ส่วนของคุณลักษณะของบ้านในชนบท



รูปที่ 4.2 ส่วนของคุณลักษณะระบบบริการที่เป็นระบบจำหน่ายแรงต่ำของบ้านในชนบท



รูปที่ 4.3 ส่วนของคุณลักษณะระบบบริการที่เป็นระบบสื่อสารโทรคมนาคมของบ้านในชนบท



#### 4.1.2 คุณลักษณะของย่านป้องกันฟ้าผ่า

- ชนิดของพื้นที่ทั้งด้านในและด้านนอกสิ่งปลูกสร้างแตกต่างกัน
- มีการแบ่งพื้นที่อาคารออกเป็นส่วนด้วยวัสดุทนไฟ
- ไม่มีลักษณะของการขีด

กำหนดย่านป้องกันฟ้าผ่าได้ดังนี้

- $Z_1$  (outside the building)
- $Z_2$  (inside the building)
- ระบบจำหน่ายแรงต่ำและระบบสื่อสารโทรคมนาคมอยู่ในย่านป้องกันฟ้าผ่า

$Z_2$  (inside the building)

- กำหนดค่าตัวแปรความสูญเสีย  $L$  ดังแสดงในคุณลักษณะของย่านป้องกัน

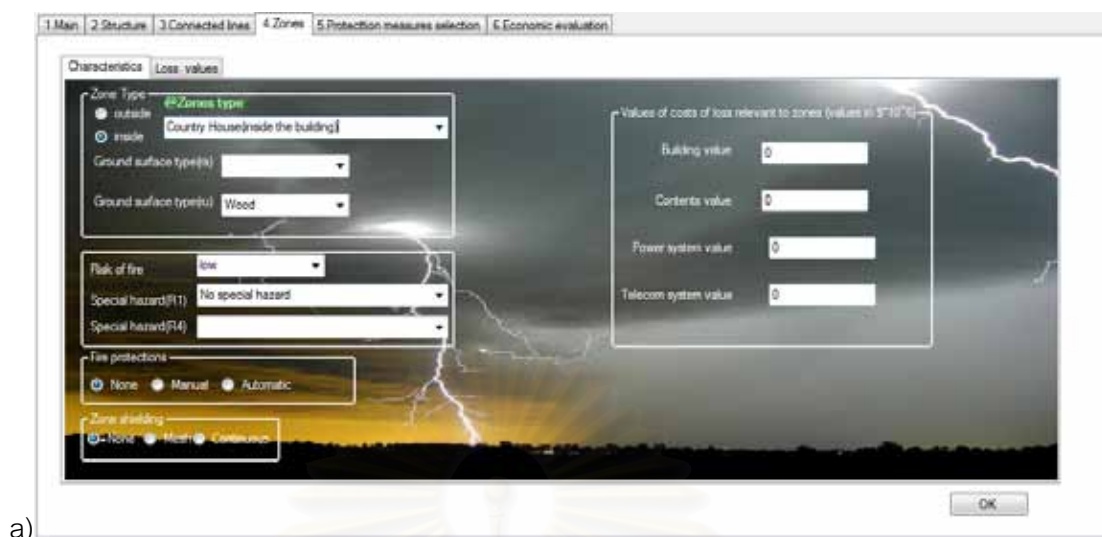
ฟ้าผ่า  $Z_2$  (inside the building)

ความเสี่ยงต่อความสูญเสียของชีวิตมนุษย์  $R_1$  ของย่านป้องกันฟ้าผ่า  $Z_1$  (outside the building) ไม่ต้องนำมาพิจารณา ถ้าไม่มีความเสี่ยงจากคนในบริเวณนั้น จึงพิจารณาเฉพาะย่านป้องกันฟ้าผ่า  $Z_2$  (inside the building) โดยคุณลักษณะของย่านป้องกันฟ้าผ่า  $Z_2$  (inside the building) ดังแสดงในตารางที่ 4.4 และรูปที่ 4.4

**ตารางที่ 4.4** คุณลักษณะของย่านป้องกันฟ้าผ่า  $Z_2$  (inside the building)

Parameter	Comment	Symbol	Value
Floor surface type	Wood	$r_u$	$10^{-5}$
Risk of fire	Low	$r_f$	$10^{-3}$
Special hazard	None	$h_z$	1
Fire protection	None	$r_p$	1
Spatial shield	None	$K_{S2}$	1
Internal power systems	Yes	Connected to LV power line	-
Internal telephone systems	Yes	Connected to telecom line	-
Loss by touch step voltage	Yes	$L_t$	$10^{-4}$
Loss by physical damage	Yes	$L_f$	$10^{-1}$





a)



b)

รูปที่ 4.4 ส่วนของคุณลักษณะย่านป้องกันฟ้าผ่า  $Z_2$  (inside the building)

a) คุณลักษณะย่านป้องกันฟ้าผ่า  $Z_2$  (inside the building)

b) ความสูญเสียของชีวิตมนุษย์ของย่านป้องกันฟ้าผ่า  $Z_2$  (inside the building)

#### 4.1.3 ความถี่ของการเกิดฟ้าผ่า

ความถี่ของการเกิดฟ้าผ่าสามารถคำนวณได้ตามสมการ (2.7) ถึง (2.12) และผลของการคำนวณความถี่ของการเกิดฟ้าผ่าแสดงในตารางที่ 4.5

ตารางที่ 4.5 ค่าของความถี่ของการเกิดฟ้าผ่าของบ้านในชนบท

Symbol	Value
$N_D$	0.0103
$N_M$	0.846
$N_L(\text{Power})$	0.088
$N_I(\text{Power})$	2.24
$N_L(\text{Telecom})$	0.142
$N_I(\text{Telecom})$	4

#### 4.1.4 การประเมินความเสี่ยงของความเสี่ยงของชีวิตมนุษย์

ตัวแปรที่ใช้ในการคำนวณแสดงไว้ในตารางที่ 4.1 ถึง 4.6 ส่วนผลของการประเมิน

ความเสี่ยงของความเสี่ยงของชีวิตมนุษย์แสดงไว้ในตารางที่ 4.7

ตารางที่ 4.6 ค่าของความน่าจะเป็นของความเสียหายของบ้านในชนบทที่ไม่ถูกป้องกัน

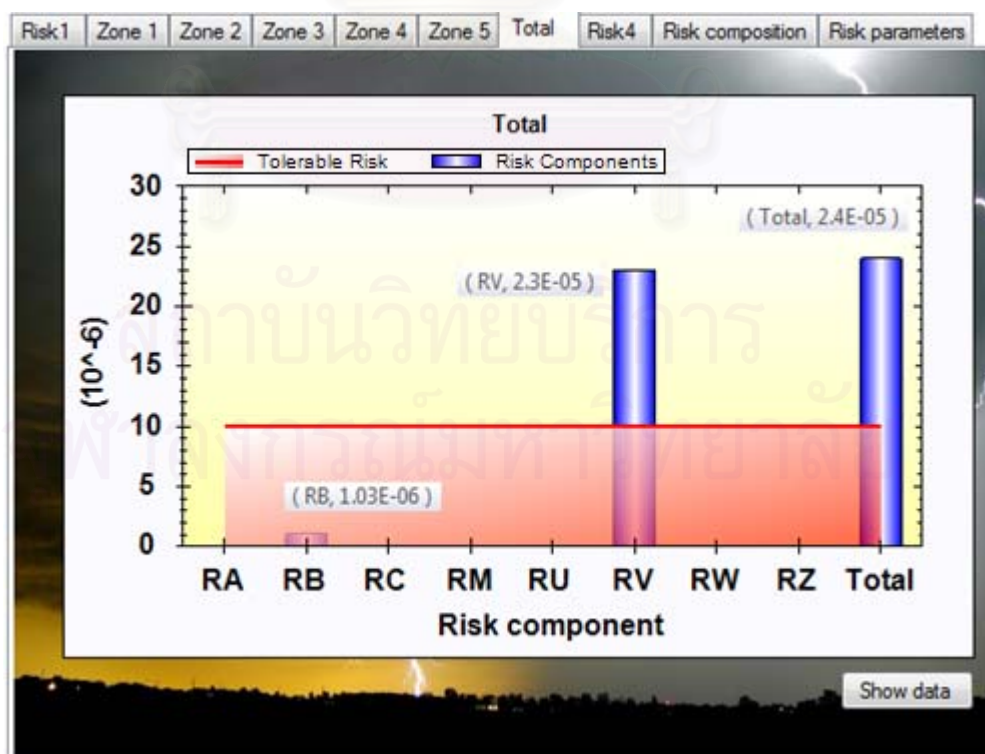
Symbol	$Z_1$	$Z_2$	$Z_3$	$Z_4$
$P_A$	1		-	
$P_B$	-		1	
$P_C$ (Power line)	-		1	
$P_C$ (Telecom line)	-		1	
$P_C$	-		2	
$P_M$ (Power line)	-		1	
$P_M$ (Telecom line)	-		1	
$P_M$	-		2	
$P_U$ (Power line)	-		1	
$P_V$ (Power line)	-		1	
$P_W$ (Power line)	-		1	
$P_Z$ (Power line)	-		0	
$P_U$ (Telecom line)	-		1	
$P_V$ (Telecom line)	-		1	
$P_W$ (Telecom line)	-		1	
$P_Z$ (Telecom line)	-		0	

ตารางที่ 4.7 ผลของการประเมินความเสี่ยง  $R_1$  ของบ้านในชนบท

Symbol	$Z_1$	$Z_2$	$Z_3$	$Z_4$	Structure
$R_A$	0.00E+00	0.00E+00	0.00E+00	0.00E+00	0.00E+00
$R_B$	0.00E+00	1.03E-06	0.00E+00	0.00E+00	1.03E-06
$R_C$	0.00E+00	0.00E+00	0.00E+00	0.00E+00	0.00E+00
$R_M$	0.00E+00	0.00E+00	0.00E+00	0.00E+00	0.00E+00
$R_U$	0.00E+00	0.00E+00	0.00E+00	0.00E+00	0.00E+00
$R_V$	0.00E+00	2.30E-05	0.00E+00	0.00E+00	2.30E-05
$R_W$	0.00E+00	0.00E+00	0.00E+00	0.00E+00	0.00E+00
$R_Z$	0.00E+00	0.00E+00	0.00E+00	0.00E+00	0.00E+00
$R_{Total}$	0.00E+00	2.40E-05	0.00E+00	0.00E+00	2.40E-05

#### 4.1.5 ผลจากการประเมินความเสี่ยงของความเสี่ยงของชีวิตมนุษย์ $R_1$

เพราะว่า  $R_1 = 2.40 \times 10^{-5}$  มีค่าสูงกว่าค่าความเสี่ยงที่ยอมรับได้ (Tolerable Risk)  $R_T$  สำหรับมาตรฐาน IEC เท่ากับ  $10^{-5}$  ดังแสดงในรูปที่ 4.5 จึงจำเป็นต้องใช้มาตรการป้องกันฟ้าผ่าสำหรับสิ่งปลูกสร้าง



รูปที่ 4.5 ส่วนของผลจากการประเมินความเสี่ยง  $R_1$  ของบ้านในชนบท

#### 4.1.6 การเลือกมาตรการป้องกันฟ้าผ่า

ส่วนประกอบความเสี่ยงที่สัมพันธ์กับบ้านป้องกันฟ้าผ่า โดยที่แต่ละส่วนประกอบ ความเสี่ยง  $R_D$ ,  $R_I$ ,  $R_S$ ,  $R_F$ ,  $R_O$  สามารถแสดงได้ดังสมการ(4.1)ถึง(4.5)และดังแสดงในตารางที่4.8

$$R_D = R_A + R_B + R_C \quad (4.1)$$

$$R_I = R_M + R_U + R_V + R_W + R_Z \quad (4.2)$$

$$R_S = R_A + R_U \quad (4.3)$$

$$R_F = R_B + R_V \quad (4.4)$$

$$R_O = R_M + R_C + R_W \quad (4.5)$$

- โดยที่  $R_D$  คือ ความเสี่ยงเนื่องจากฟ้าผ่าสัมผัสสิ่งปลูกสร้างโดยตรง (S1)  
 $R_I$  คือ ความเสี่ยงเนื่องจากฟ้าผ่าไม่สัมผัสสิ่งปลูกสร้างแต่ยังมีอิทธิพล (S2, S3, S4)  
 $R_S$  คือ ความเสี่ยงเนื่องจากความสูญเสียชีวิตมนุษย์  
 $R_F$  คือ ความเสี่ยงเนื่องจากความเสียหายทางกายภาพต่อสิ่งปลูกสร้าง  
 $R_O$  คือ ความเสี่ยงเนื่องจากความล้มเหลวของระบบอิเล็กทรอนิกส์

ตารางที่4.8 ส่วนประกอบความเสี่ยงที่สัมพันธ์กับแหล่งกำเนิดและชนิดของความเสียหายของบ้านในชนบท

Symbol	Z <sub>1</sub>	Z <sub>3</sub>	Z <sub>4</sub>	Z <sub>5</sub>	Structure
$R_D$	0.00E+00	1.03E-06	0.00E+00	0.00E+00	1.03E-06
$R_I$	0.00E+00	2.30E-05	0.00E+00	0.00E+00	2.30E-05
Total	0.00E+00	2.40E-05	0.00E+00	0.00E+00	2.40E-05
$R_S$	0.00E+00	0.00E+00	0.00E+00	0.00E+00	0.00E+00
$R_F$	0.00E+00	2.40E-05	0.00E+00	0.00E+00	2.40E-05
$R_O$	0.00E+00	0.00E+00	0.00E+00	0.00E+00	0.00E+00
Total	0.00E+00	2.40E-05	0.00E+00	0.00E+00	2.40E-05

ส่วนประกอบความเสี่ยงแสดงให้เห็นว่าความเสี่ยงของสิ่งปลูกสร้างเกิดจากความเสียหายทางกายภาพ  $R_F$  เนื่องจากฟ้าผ่าสัมผัสระบบบริการหรือสิ่งปลูกสร้างโดยตรง

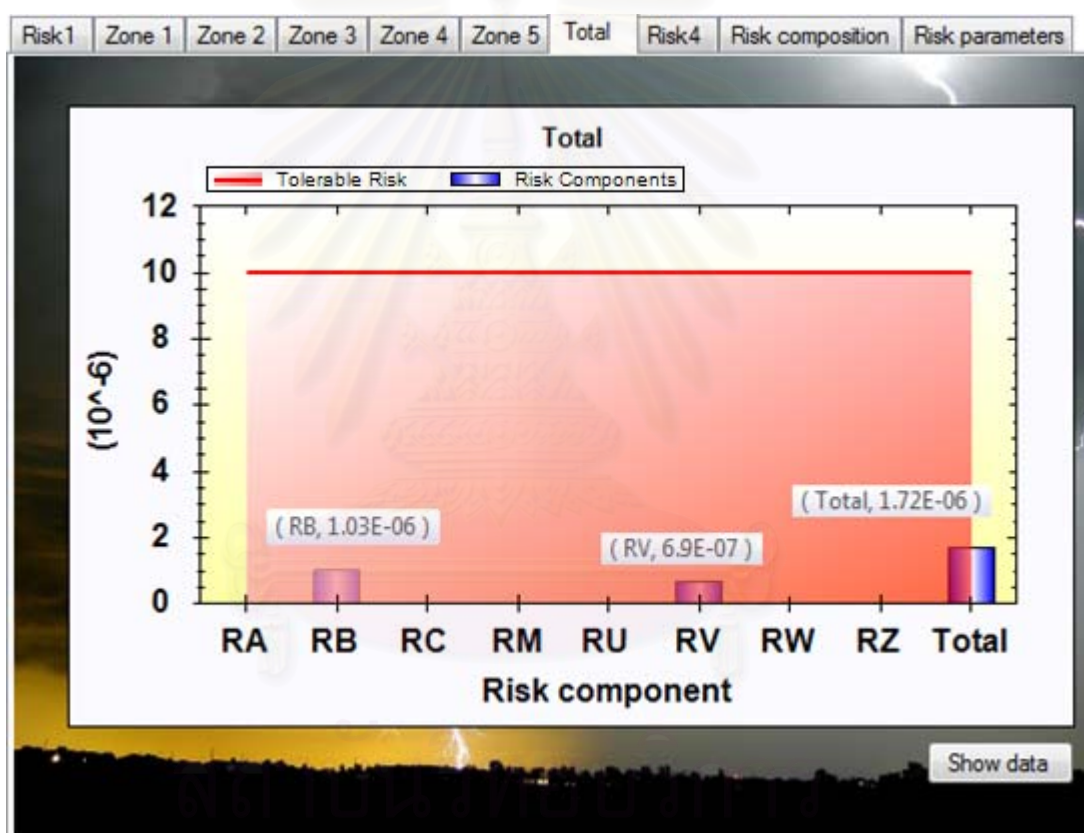
ความเสี่ยงต่อความสูญเสียของชีวิตมนุษย์  $R_I$  เกิดขึ้นโดย

- ส่วนประกอบ  $R_V$  เกิดขึ้นจากฟ้าผ่าสัมผัสระบบบริการที่เป็นระบบจำหน่ายแรงต่ำและระบบบริการที่เป็นระบบสื่อสารโทรคมนาคมโดยตรง  $\approx 96\%$

- ส่วนประกอบ  $R_B$  เกิดขึ้นจากฟ้าผ่าสัมผัสสิ่งปลูกสร้างโดยตรง  $\approx 4\%$   
ส่วนประกอบ  $R_B$  และ  $R_V$  ควรนำมาพิจารณาหามาตรการป้องกันฟ้าผ่าเพื่อ  
แก้ปัญหาและผลของการประเมินความเสี่ยงของความสูญเสียของชีวิตมนุษย์เมื่อใช้มาตรการ  
ป้องกันฟ้าผ่าดังแสดงในตารางที่ 4.9

วิธีที่ 1

- การจัดการประสานสัมพันธ์ระหว่างอุปกรณ์ป้องกันเสิร์จที่บริเวณทางเข้าของ  
ทั้งระบบจำหน่ายแรงต่ำและระบบสื่อสารโทรคมนาคมระดับ  $IV$  ซึ่งเป็นการลดค่า  $P_U$  และ  $P_V$  จาก 1  
เป็น 0.03 ผลของการใช้มาตรการป้องกันวิธีที่ 1 ดังแสดงในรูปที่ 4.6

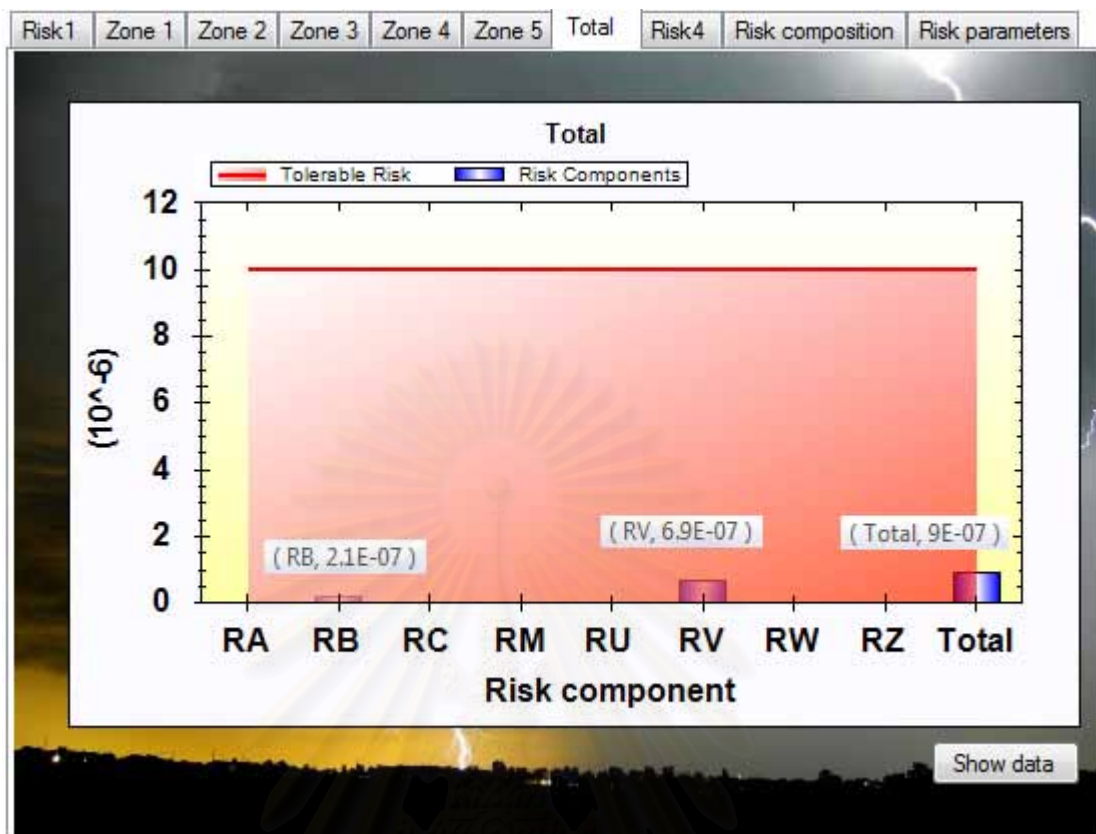


รูปที่ 4.6 ส่วนของการใช้มาตรการป้องกันฟ้าผ่าวิธีที่ 1 ของบ้านในชนบท

วิธีที่ 2

- ติดตั้งระบบป้องกันฟ้าผ่าสมบูรณ์ระดับ  $IV$  ซึ่งเป็นการลดค่า  $P_B$  จาก 1 เป็น 0.2  
และการจัดการประสานสัมพันธ์ระหว่างอุปกรณ์ป้องกันเสิร์จที่บริเวณทางเข้าของทั้งระบบจำหน่าย  
แรงต่ำและระบบสื่อสารโทรคมนาคมระดับ  $IV$  ซึ่งเป็นการลดค่า  $P_U$  และ  $P_V$  จาก 1 เป็น 0.03 ผลของ  
การใช้มาตรการป้องกันวิธีที่ 2 ดังแสดงในรูปที่ 4.7





รูปที่ 4.7 ส่วนของการใช้มาตรการป้องกันฟ้าผ่าวิธีที่ 2 ของบ้านในชนบท  
ตารางที่ 4.9 ผลของการประเมินความเสี่ยง  $R_i$  เมื่อใช้มาตรการป้องกันฟ้าผ่าของบ้านในชนบท

ส่วนประกอบความเสี่ยง	วิธีที่ 1	วิธีที่ 2
$R_B$	1.03E-06	2.10E-07
$R_U$	0.00E+00	0.00E+00
$R_V$	6.90E-07	6.90E-07
$R_T$	1.72E-06	9.00E-07

## 4.2 ออฟฟิศ

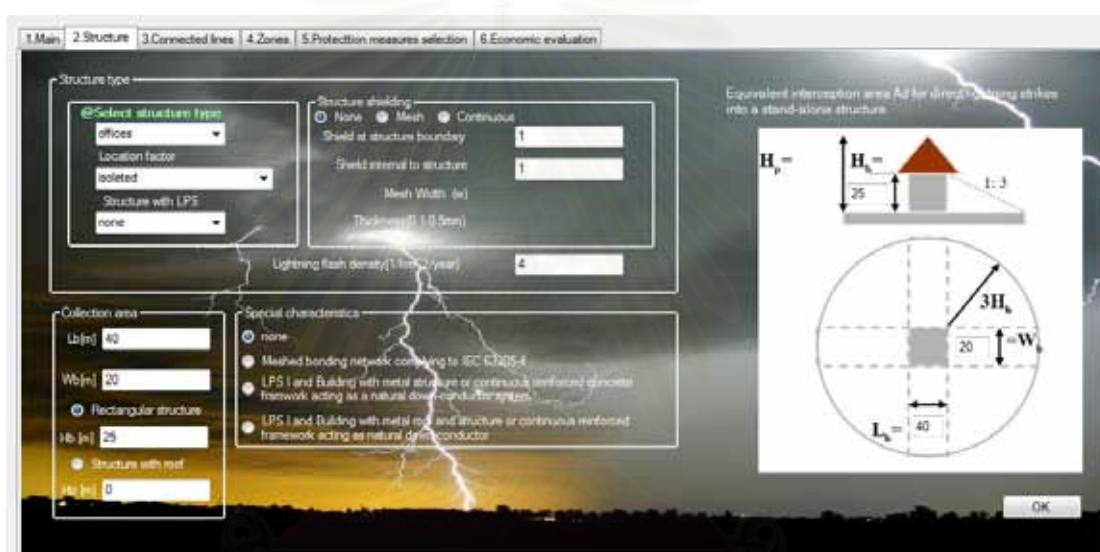
### 4.2.1 คุณลักษณะของสิ่งปลูกสร้าง

- คุณลักษณะของออฟฟิศแสดงไว้ในตารางที่ 4.10 และรูปที่ 4.8
- คุณลักษณะของระบบบริการที่เป็นระบบจำหน่ายแรงต่ำของออฟฟิศดังแสดงในตารางที่ 4.11 และรูปที่ 4.9
- คุณลักษณะของระบบบริการที่เป็นระบบสื่อสารโทรคมนาคมของออฟฟิศดังแสดงในตารางที่ 4.12 และรูปที่ 4.10



ตารางที่ 4.10 คุณลักษณะของออฟฟิศ

Parameter	Comment	Symbol	Value
Dimension(m)	-	$(L_b, W_b, H_b)$	$40 \times 20 \times 25$
Location factor	Isolated	$C_d$	1
LPS	None	$P_B$	1
Shield at structure boundary	None	$K_{S1}$	1
Shield internal to structure	None	$K_{S2}$	1
Lightning flash density	1/ Km <sup>2</sup> /year	$N_g$	4

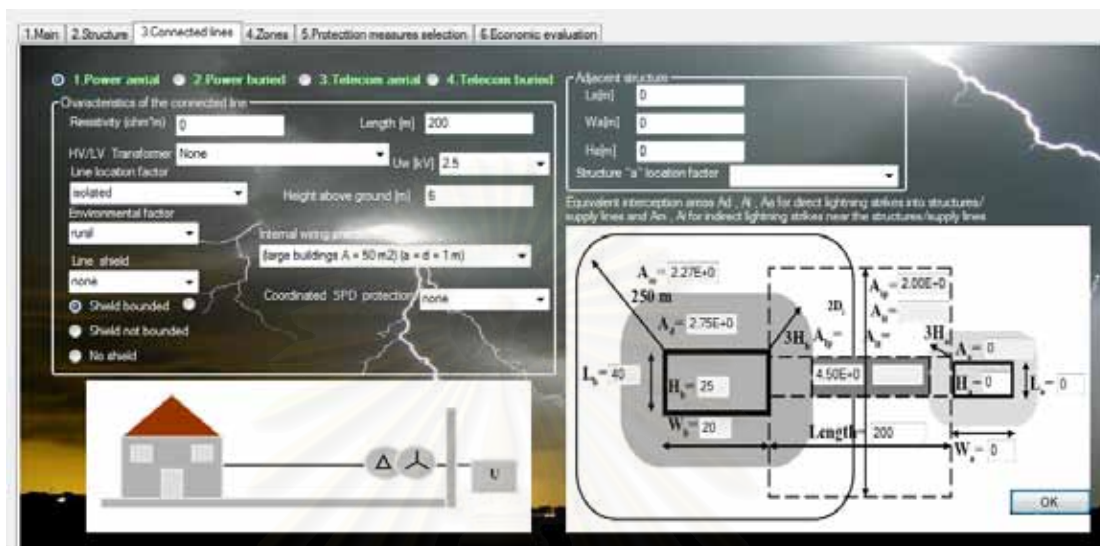


รูปที่ 4.8 ส่วนของคุณลักษณะของออฟฟิศ

ตารางที่ 4.11 คุณลักษณะของระบบบริการที่เป็นระบบจำหน่ายแรงต่ำของออฟฟิศ

Parameter	Comment	Symbol	Value
Length(m)	-	$L_c$	200
Height(m)	Aerial	$H_c$	6
HV/LV transformer	No	$C_t$	1
Line location factor	Isolated	$C_d$	1
Line environment factor	Rural	$C_e$	1
Line shielding	None	$P_{LD}$	1
		$P_{LI}$	0.4
Internal wiring precaution	None	$K_{S3}$	1

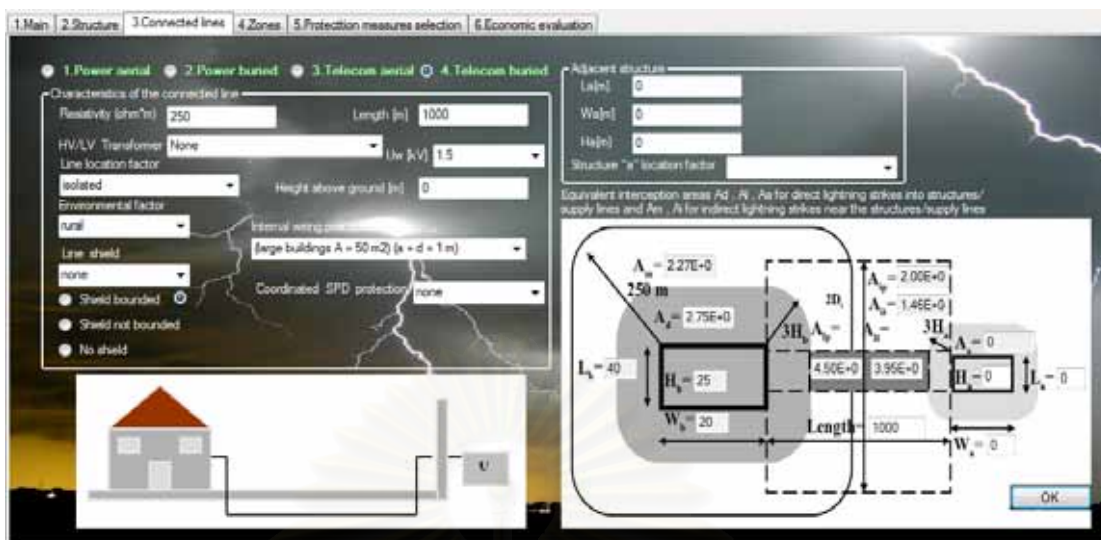
Withstand of internal system	$U_w = 2.5kv$	$K_{S4}$	0.6
Coordinated SPD protection	None	$P_{SPD}$	1



รูปที่ 4.9 ส่วนของคุณลักษณะระบบบริการที่เป็นระบบจำหน่ายแรงต่ำของออฟฟิศ

ตารางที่ 4.12 คุณลักษณะของระบบบริการที่เป็นระบบสื่อสารโทรคมนาคมของออฟฟิศ

Parameter	Comment	Symbol	Value
Soil resistivity	$\Omega m$	$\rho$	250
Length(m)	-	$L_C$	1000
Height(m)	Buried	-	-
Line location factor	Isolated	$C_d$	1
Line environment factor	Suburban	$C_e$	1
Line shielding	None	$P_{LD}$	1
		$P_{LI}$	1
Internal wiring precaution	None	$K_{S3}$	1
Withstand of internal system	$U_w = 1.5kv$	$K_{S4}$	1
Coordinated SPD protection	None	$P_{SPD}$	1
End "a" line structure dimensions(m)	None	$L_a \times W_a \times H_a$	-



รูปที่ 4.10 ส่วนของคุณลักษณะระบบบริการที่เป็นระบบสื่อสารโทรคมนาคมของออฟฟิศ

#### 4.2.2 คุณลักษณะของย่านป้องกันฟ้าผ่า

- ชนิดของพื้นที่ทั้งด้านทางเข้าหรือในสวนและด้านในออฟฟิศแตกต่างกัน
- มีการแบ่งพื้นที่อาคารออกเป็นส่วนด้วยวัสดุทนไฟ
- ไม่มีลักษณะของการการซีลด์
- ตัวแปรความสูญเสีย  $L$  ในย่าน  $Z_5$  (computer centre) จะต่ำกว่าย่านอื่นกำหนดย่านป้องกันฟ้าผ่าได้ดังนี้
  - $Z_1$  (entrance area to building)
  - $Z_2$  (garden)
  - $Z_3$  (archive) ไม่มีการแบ่งพื้นที่ด้วยวัสดุทนไฟ
  - $Z_4$  (offices)
  - $Z_5$  (computer centre)

คุณลักษณะของย่านป้องกันฟ้าผ่า  $Z_1$  (entrance area to building) ดังแสดงในตารางที่ 4.13 และรูปที่ 4.11  $Z_2$  (garden) ดังแสดงในตารางที่ 4.14 และรูปที่ 4.12  $Z_3$  (archive) ดังแสดงในตารางที่ 4.15 และรูปที่ 4.13  $Z_4$  (offices) ดังแสดงในตารางที่ 4.16 และรูปที่ 4.14  $Z_5$  (computer centre) ดังแสดงในตารางที่ 4.17 และรูปที่ 4.15

จากการคำนวณการป้องกันฟ้าผ่าของผู้ออกแบบได้กำหนดค่าตัวแปรความสูญเสียสำหรับความเสี่ยงต่อความสูญเสียของชีวิตมนุษย์  $R_1$

- $L_t = 10^{-2}$  (outside structure)
- $L_t = 10^{-4}$  (inside structure)

$$- L_f = 10^{-2}$$

ตารางที่ 4.13 คุณลักษณะของย่านป้องกันฟ้าผ่า  $Z_1$  (entrance area to building)

Parameter	Comment	Symbol	Value
Soil surface type	Marble	$r_a$	$10^{-3}$
Shock protection	None	$P_A$	1
Loss by touch step voltages	Yes	$L_t$	$2 \times 10^{-4}$



a)



b)

รูปที่ 4.11 ส่วนของคุณลักษณะย่านป้องกันฟ้าผ่า  $Z_1$  (entrance area to building)

a) คุณลักษณะย่านป้องกันฟ้าผ่า  $Z_1$  (entrance area to building)

b) ความสูญเสียของชีวิตมนุษย์ของย่านป้องกันฟ้าผ่า  $Z_1$  (entrance area to building)



ตารางที่ 4.14 คุณลักษณะของย่านป้องกันฟ้าผ่า  $Z_2$  (garden)

Parameter	Comment	Symbol	Value
Soil surface type	Grass	$r_a$	$10^{-3}$
Shock protection	Fence	$P_A$	0
Loss by touch step voltages	Yes	$L_t$	$10^{-4}$



รูปที่ 4.12 ส่วนของคุณลักษณะย่านป้องกันฟ้าผ่า  $Z_2$  (garden)

a) คุณลักษณะย่านป้องกันฟ้าผ่า  $Z_2$  (garden)

b) ความสูญเสียของชีวิตมนุษย์ของย่านป้องกันฟ้าผ่า  $Z_2$  (garden)

ตารางที่ 4.15 คุณลักษณะของย่านป้องกันฟ้าผ่า  $Z_3$  (archive)

Parameter	Comment	Symbol	Value
Soil surface type	Linoleum	$r_u$	$10^{-5}$
Risk of fire	High	$r_f$	$10^{-1}$
Special hazard	Low panic	$h_z$	2
Fire protection	None	$r_p$	1
Spatial shield	None	$K_{S2}$	1
Loss by touch step voltages	Yes	$L_t$	$10^{-5}$
Loss by physical damage	Yes	$L_f$	$10^{-3}$

1.Main 2.Structure 3.Connected lines 4.Zones 5.Protection measures selection 6.Economic evaluation

Characteristics Loss values

Zone Type:  outside  inside

Ground surface type(s):

Ground surface type(s):

Risk of fire:

Special hazard(R1):

Special hazard(R4):

Fire protections:  None  Manual  Automatic

Zone shielding:  None  Wood  Concrete

Values of costs of loss relevant to zones (value in  $10^6$  €):

Building value:

Contents value:

Power system value:

Telecom system value:

OK

a)

1.Main 2.Structure 3.Connected lines 4.Zones 5.Protection measures selection 6.Economic evaluation

Characteristics Loss values

Typical mean values (L, L<sub>t</sub>, L<sub>f</sub>) (R1)

$L_t$  Loss by touch step voltages(R1):

$L_f$  Loss by physical damage (R1):

$L_e$  Loss by failure of external system(R1):

Typical mean values (L, L<sub>t</sub>, L<sub>f</sub>) (R4)

$L_t$  Loss by touch step voltages(R4):

$L_f$  Loss by physical damage (R4):

$L_e$  Loss by failure of external system(R4):

OK

b)

รูปที่ 4.13 ส่วนของคุณลักษณะย่านป้องกันฟ้าผ่า  $Z_3$  (archive)

a) คุณลักษณะย่านป้องกันฟ้าผ่า  $Z_3$  (archive)

b) ความสูญเสียของชีวิตมนุษย์ของย่านป้องกันฟ้าผ่า  $Z_3$  (archive)



ตารางที่ 4.16 คุณลักษณะของย่านป้องกันฟ้าผ่า  $Z_4$  (offices)

Parameter	Comment	Symbol	Value
Soil surface type	Linoleum	$r_u$	$10^{-5}$
Risk of fire	Low	$r_f$	$10^{-3}$
Special hazard	Low panic	$h_z$	2
Fire protection	None	$r_p$	1
Spatial shield	None	$K_{S2}$	1
Loss by touch step voltages	Yes	$L_t$	$10^{-5}$
Loss by physical damage	Yes	$L_f$	$8 \times 10^{-3}$

1.Main 2.Structure 3.Connected lines 4.Zones 5.Protection measures selection 6.Economic evaluation

Characteristics Loss values

Zone Type:  outside  inside  
 @Zones type: Office

Ground surface type(R1):   
 Ground surface type(R2): Linoleum

Risk of fire: low

Special hazard(R1): Low level of panic  
 Special hazard(R4):

Fire protection:  
 None  Manual  Automatic

Zone shielding:  
 None  Mean  Continuous

Values of costs of loss relevant to zones values in €10<sup>3</sup> €:

Building value:   
 Contents value:   
 Power system value:   
 Telecom system value:

OK

a)

1.Main 2.Structure 3.Connected lines 4.Zones 5.Protection measures selection 6.Economic evaluation

Characteristics Loss values

Typical mean values L1(Lf, Lt (R1))

L1 Loss by touch step voltages(R1):   
 L1 Loss by physical damage(R1):   
 L1 Loss by failure of external systems(R1):

Typical mean values L2(Lf, Lt (R4))

L2 Loss by physical damage(R4):   
 L2 Loss by failure of internal systems(R4):

OK

b)

รูปที่ 4.14 ส่วนของคุณลักษณะย่านป้องกันฟ้าผ่า  $Z_4$  (offices)

a) คุณลักษณะย่านป้องกันฟ้าผ่า  $Z_4$  (offices)

b) ความสูญเสียของชีวิตมนุษย์ของย่านป้องกันฟ้าผ่า  $Z_4$  (offices)

ตารางที่ 4.17 คุณลักษณะของย่านป้องกันฟ้าผ่า  $Z_5$  (computer centre)

Parameter	Comment	Symbol	Value
Soil surface type	Linoleum	$r_u$	$10^{-5}$
Risk of fire	Low	$r_f$	$10^{-3}$
Special hazard	Low panic	$h_z$	2
Fire protection	None	$r_p$	1
Spatial shield	None	$K_{s2}$	1
Loss by touch step voltages	Yes	$L_t$	$7 \times 10^{-6}$
Loss by physical damage	Yes	$L_f$	$7 \times 10^{-4}$

1.Main 2.Structure 3.Connected lines 4.Zones 5.Protection measures selection 6.Economic evaluation

Characteristics Loss values

Zone Type  
 outside  
 inside  
 @Zones type  
 Offices(computer center)

Ground surface type(ra)

Ground surface type(ru)  
 Linoleum

Risk of fire  
 low

Special hazard(R1)  
 Low level of panic

Special hazard(R4)

Fire protections  
 None  Manual  Automatic

Zone shielding  
 None  Mesh  Continuous

Values of costs of loss relevant to zones (values in  $5 \times 10^6$ )

Building value

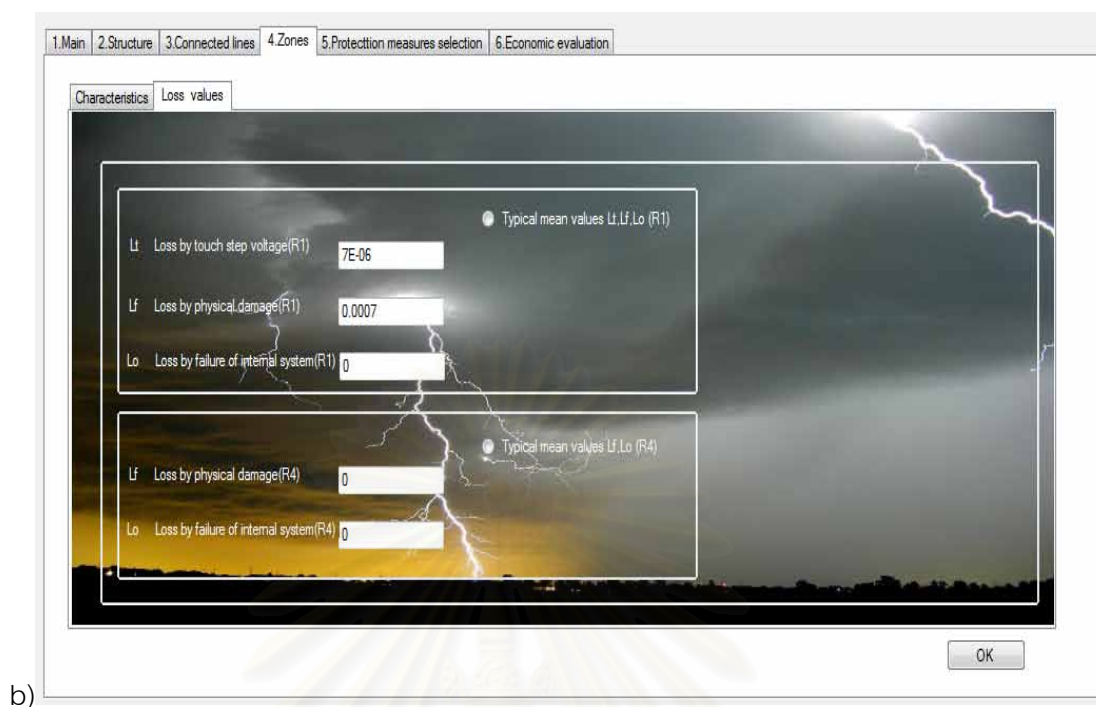
Contents value

Power system value

Telecom system value

OK

a)



b)

รูปที่ 4.15 ส่วนของคุณลักษณะย่านป้องกันฟ้าผ่า  $Z_5$  (computer centre)

a) คุณลักษณะย่านป้องกันฟ้าผ่า  $Z_5$  (computer centre)

b) ความสูญเสียของชีวิตมนุษย์ของย่านป้องกันฟ้าผ่า  $Z_5$  (computer centre)

#### 4.2.3 ความถี่ของการเกิดฟ้าผ่า

ความถี่ของการเกิดฟ้าผ่าสามารถคำนวณได้ตามสมการ (2.7) ถึง (2.12) และผลของการคำนวณความถี่ของการเกิดฟ้าผ่าแสดงในตารางที่ 4.18

ตารางที่ 4.18 ค่าของความถี่ของการเกิดฟ้าผ่าของออฟฟิศ

Symbol	Value
$N_D$	1.10E-01
$N_M$	7.98E-01
$N_L(\text{Power})$	1.80E-02
$N_I(\text{Power})$	8.00E-01
$N_L(\text{Telecom})$	5.84E-02
$N_I(\text{Telecom})$	1.58E+00
$N_{da}(\text{Telecom})$	0.00E+00

#### 4.2.4 การประเมินความเสี่ยงของความเสี่ยงของชีวิตมนุษย์

ตัวแปรที่ใช้ในการคำนวณแสดงไว้ในตารางที่4.10ถึง4.19ส่วนผลของการประเมินความเสี่ยงของความเสี่ยงของชีวิตมนุษย์แสดงไว้ในตารางที่4.20

ตารางที่4.19 ค่าของความน่าจะเป็นของความเสียหายของออฟฟิศที่ไม่ถูกป้องกัน

Symbol	$Z_1$	$Z_2$	$Z_3$	$Z_4$
$P_A$	1		-	
$P_B$	-		1	
$P_C$ (Power line)	-		1	
$P_C$ (Telecom line)	-		1	
$P_C$	-		1	
$P_M$ (Power line)	-		1	
$P_M$ (Telecom line)	-		1	
$P_M$	-		1	
$P_U$ (Power line)	-		1	
$P_V$ (Power line)	-		1	
$P_W$ (Power line)	-		1	
$P_Z$ (Power line)	-		0	
$P_U$ (Telecom line)	-		1	
$P_V$ (Telecom line)	-		1	
$P_W$ (Telecom line)	-		1	
$P_Z$ (Telecom line)	-		0	

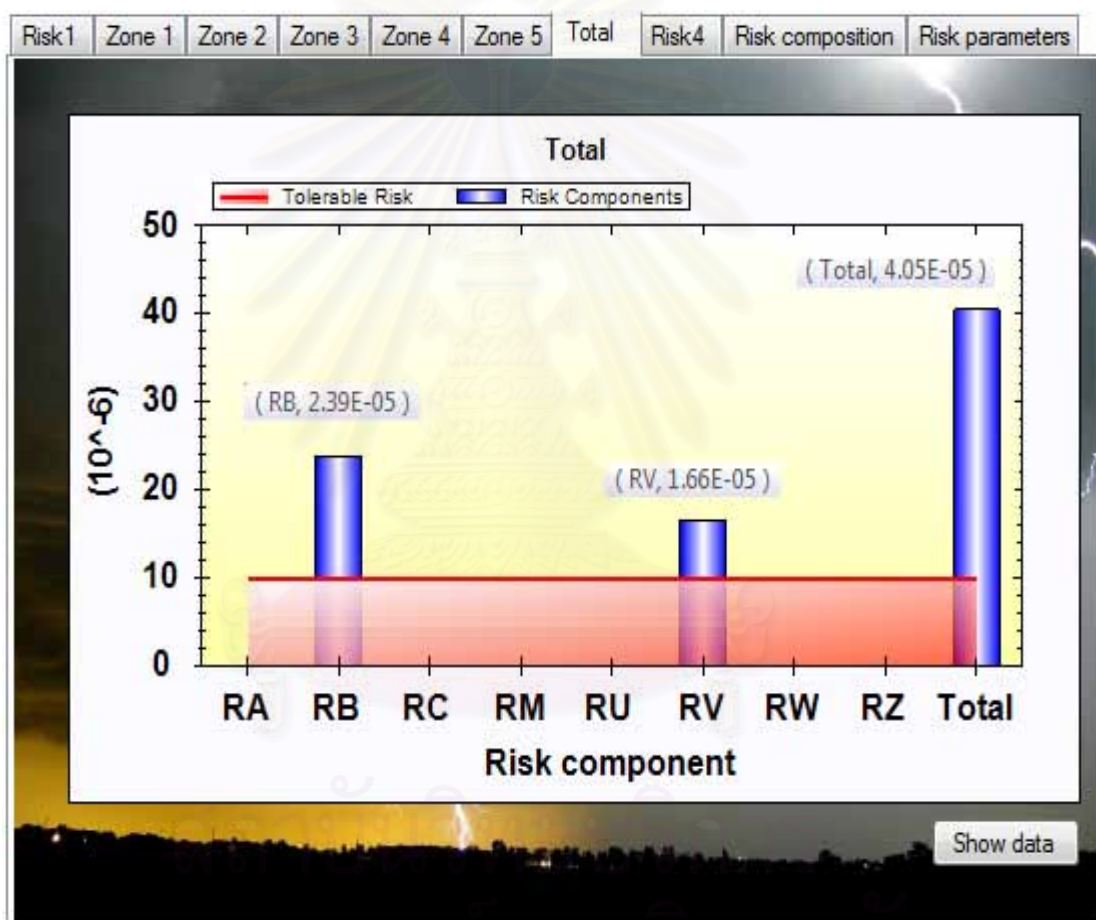
ตารางที่4.20 ผลของการประเมินความเสี่ยง  $R_1$  ของออฟฟิศ

Symbol	$Z_1$	$Z_3$	$Z_4$	$Z_5$	Structure
$R_A$	2.00E-08	0.00E+00	0.00E+00	0.00E+00	2.00E-08
$R_B$	0.00E+00	2.20E-05	1.76E-06	1.50E-07	2.39E-05
$R_C$	0.00E+00	0.00E+00	0.00E+00	0.00E+00	0.00E+00
$R_M$	0.00E+00	0.00E+00	0.00E+00	0.00E+00	0.00E+00
$R_U$	0.00E+00	0.00E+00	0.00E+00	0.00E+00	0.00E+00
$R_V$	0.00E+00	1.53E-05	1.22E-06	1.10E-07	1.66E-05

$R_w$	0.00E+00	0.00E+00	0.00E+00	0.00E+00	0.00E+00
$R_z$	0.00E+00	0.00E+00	0.00E+00	0.00E+00	0.00E+00
$R_{Total}$	2.00E-08	3.73E-05	2.98E-06	2.60E-07	4.05E-05

#### 4.2.5 ผลจากการประเมินความเสี่ยงของความเสี่ยงของชีวิตมนุษย์ $R_1$

เพราะว่า  $R_1 = 4.05 \times 10^{-5}$  มีค่าสูงกว่าค่าความเสี่ยงที่ยอมรับได้ (Tolerable Risk)  $R_T$  สำหรับมาตรฐาน IEC เท่ากับ  $10^{-5}$  ดังแสดงในรูปที่ 4.16 จึงจำเป็นต้องใช้มาตรการป้องกันฟ้าผ่าสำหรับสิ่งปลูกสร้าง



รูปที่ 4.16 ส่วนของผลจากการประเมินความเสี่ยง  $R_1$  ของออฟฟิศ

#### 4.2.6 การเลือกมาตรการป้องกันฟ้าผ่า

ส่วนประกอบความเสี่ยงที่สัมพันธ์กับย่านป้องกันฟ้าผ่า โดยที่แต่ละส่วนประกอบความเสี่ยง  $R_D$ ,  $R_I$ ,  $R_S$ ,  $R_F$ ,  $R_O$  สามารถแสดงได้ดังสมการ(4.1)ถึง(4.5)และดังแสดงในตารางที่ 4.21



ตารางที่4.21 ส่วนประกอบความเสี่ยงที่สัมพันธ์กับแหล่งกำเนิดและชนิดความเสียหายของออฟฟิศ

Symbol	$Z_1$	$Z_3$	$Z_4$	$Z_5$	Structure
$R_D$	2.00E-08	2.20E-05	1.76E-06	1.50E-07	2.39E-05
$R_I$	0.00E+00	1.53E-05	1.22E-06	1.10E-07	1.66E-05
Total	2.00E-08	3.73E-05	2.98E-06	2.60E-07	4.05E-05
$R_S$	2.00E-08	0.00E+00	0.00E+00	0.00E+00	2.00E-08
$R_F$	0.00E+00	3.73E-05	2.98E-06	2.60E-07	4.05E-05
$R_O$	0.00E+00	0.00E+00	0.00E+00	0.00E+00	0.00E+00
Total	2.00E-08	3.73E-05	2.98E-06	2.60E-07	4.05E-05

ส่วนประกอบความเสี่ยงแสดงให้เห็นว่าความเสี่ยงของสิ่งปลูกสร้างเกิดจากความเสียหายทางกายภาพ  $R_F$  ในย่านการป้องกันฟ้าผ่า  $Z_3$  เนื่องจากฟ้าผ่าสัมผัสระบบบริการหรือสิ่งปลูกสร้างโดยตรงซึ่งคิดเป็นคิดเป็น 92% ของความเสี่ยงทั้งหมด

ความเสี่ยงต่อความสูญเสียของชีวิตมนุษย์  $R_I$  เกิดขึ้นโดย

- ส่วนประกอบ  $R_B$  ฟ้าผ่าสัมผัสสิ่งปลูกสร้างโดยตรง  $\approx 54\%$
- ส่วนประกอบ  $R_V$  ฟ้าผ่าสัมผัสระบบบริการที่เป็นระบบจำหน่ายแรงต่ำและระบบบริการที่เป็นระบบสื่อสารโทรคมนาคมโดยตรง  $\approx 38\%$

ส่วนประกอบ  $R_B$  และ  $R_V$  ควรนำมาพิจารณามาตรการป้องกันฟ้าผ่าเพื่อแก้ปัญหาและแสดงผลการประเมินความเสี่ยง  $R_I$  เมื่อใช้มาตรการป้องกันดังตารางที่4.22

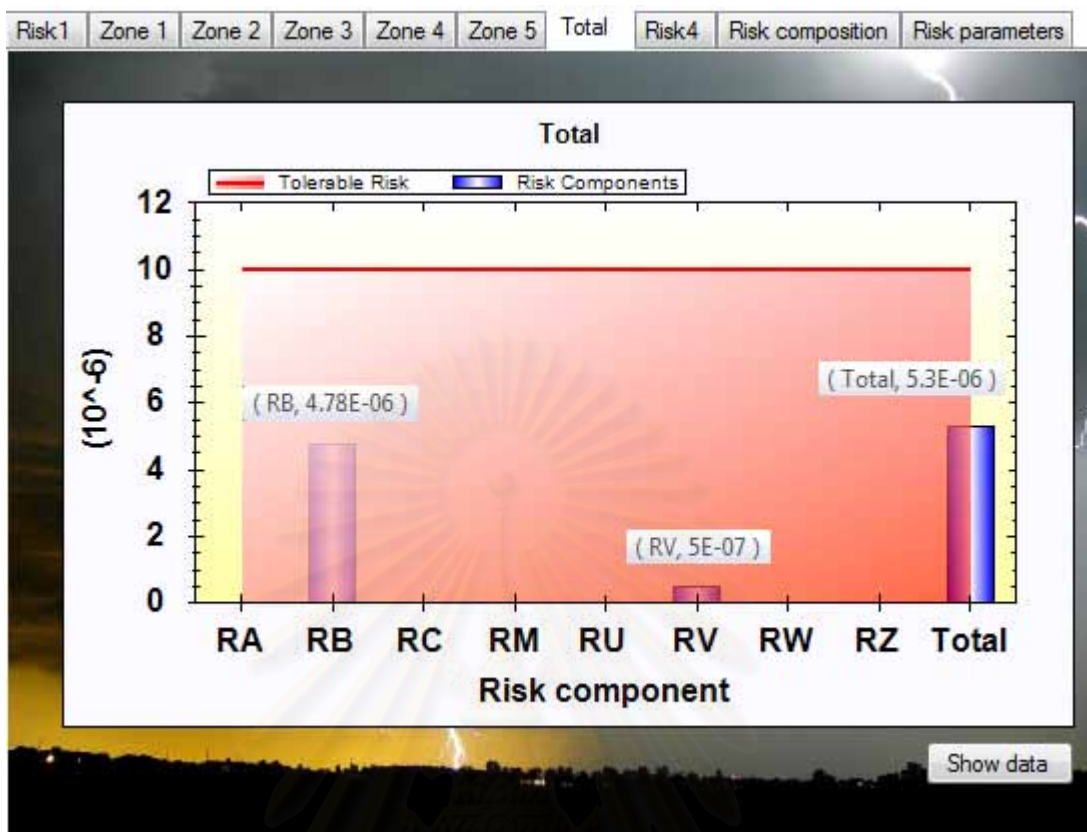
วิธีที่1

- ติดตั้งระบบป้องกันฟ้าผ่าสมบูรณักระดับ IV ซึ่งเป็นการลดค่า  $P_B$  จาก1เป็น0.2 และการจัดการประสานสัมพันธ์ระหว่างอุปกรณ์ป้องกันเสิร์จที่บริเวณทางเข้าของทั้งระบบจำหน่ายแรงต่ำและระบบสื่อสารโทรคมนาคมระดับ IV ซึ่งเป็นการลดค่า  $P_U$  และ  $P_V$  จาก1เป็น0.03 ผลของการใช้มาตรการป้องกันวิธีที่1ดังแสดงในรูปที่4.17

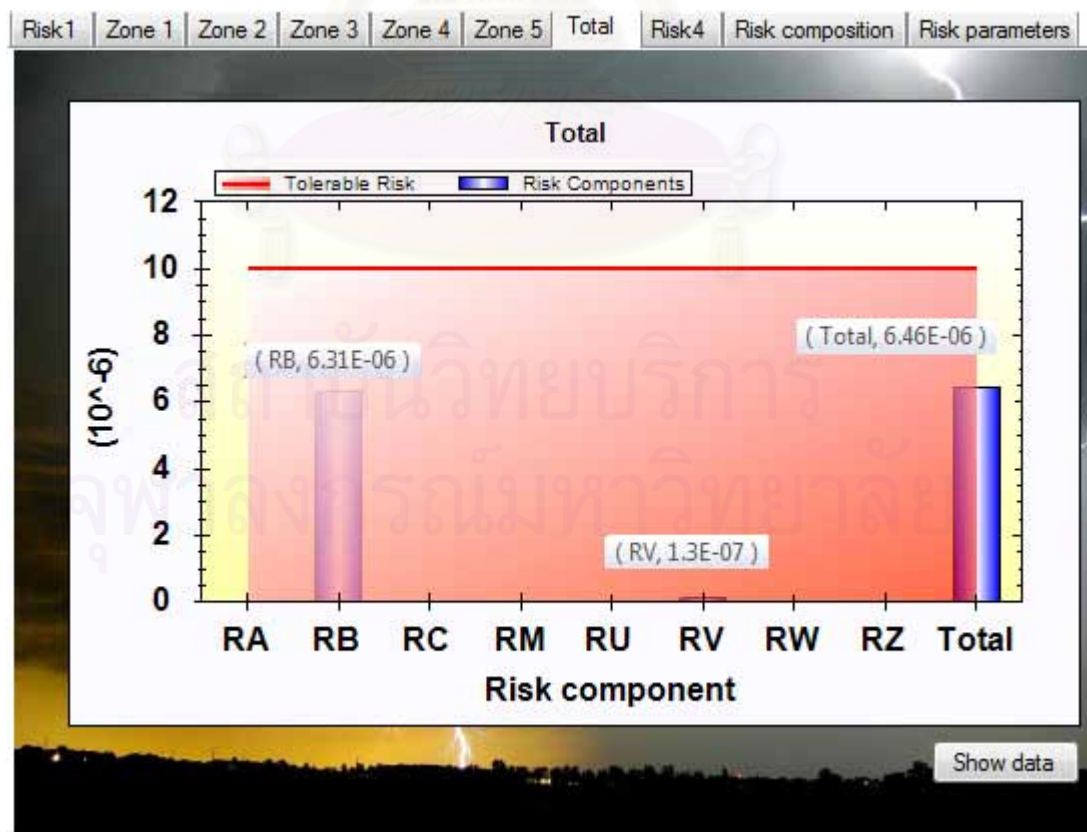
วิธีที่2

- ติดตั้งระบบป้องกันอัคคีภัยแบบอัตโนมัติในย่านป้องกันฟ้าผ่า  $Z_3$  (archive) เป็นการลดค่า  $r_p$  จาก1เป็น0.2 และการจัดการประสานสัมพันธ์ระหว่างอุปกรณ์ป้องกันเสิร์จที่บริเวณทางเข้าของทั้งระบบจำหน่ายแรงต่ำและระบบสื่อสารโทรคมนาคมระดับ IV ซึ่งเป็นการลดค่า  $P_U$  และ  $P_V$  จาก1เป็น0.03 ผลของการใช้มาตรการป้องกันวิธีที่2ดังแสดงในรูปที่4.18





รูปที่ 4.17 ส่วนของการใช้มาตรการป้องกันฟ้าผ่าวิธีที่1 ของออฟฟิศ



รูปที่ 4.18 ส่วนของการใช้มาตรการป้องกันฟ้าผ่าวิธีที่2 ของออฟฟิศ

ตารางที่ 4.22 ผลของการประเมินความเสี่ยง  $R_1$  เมื่อใช้มาตรการป้องกันฟ้าผ่าของออฟฟิศ

Symbol	$Z_1$	$Z_3$	$Z_4$	$Z_5$	Structure
วิธีที่ 1	2.00E-08	4.86E-06	3.90E-07	3.00E-08	5.30E-06
วิธีที่ 2	2.00E-08	4.49E-06	1.80E-06	1.50E-07	6.46E-06

### 4.3 โรงพยาบาล

#### 4.3.1 คุณลักษณะของสิ่งปลูกสร้าง

- คุณลักษณะของสิ่งปลูกสร้างแสดงไว้ในตารางที่ 4.23 และรูปที่ 4.19
- คุณลักษณะของระบบบริการที่เป็นระบบจำหน่ายของโรงพยาบาลดังแสดงในตารางที่ 4.24 และรูปที่ 4.20
- คุณลักษณะระบบบริการที่เป็นระบบสื่อสารโทรคมนาคมของโรงพยาบาลดังแสดงในตารางที่ 4.25 และรูปที่ 4.21

ตารางที่ 4.23 คุณลักษณะของโรงพยาบาล

Parameter	Comment	Symbol	Value
Dimension(m)	-	$(L_b, W_b, H_b)$	$50 \times 150 \times 10$
Location factor	Isolated	$C_d$	1
LPS	None	$P_B$	1
Shield at structure boundary	None	$K_{S1}$	1
Shield internal to structure	None	$K_{S2}$	1
Lightning flash density	1/ Km <sup>2</sup> /year	$N_g$	4



รูปที่ 4.19 ส่วนของคุณลักษณะโรงพยาบาล

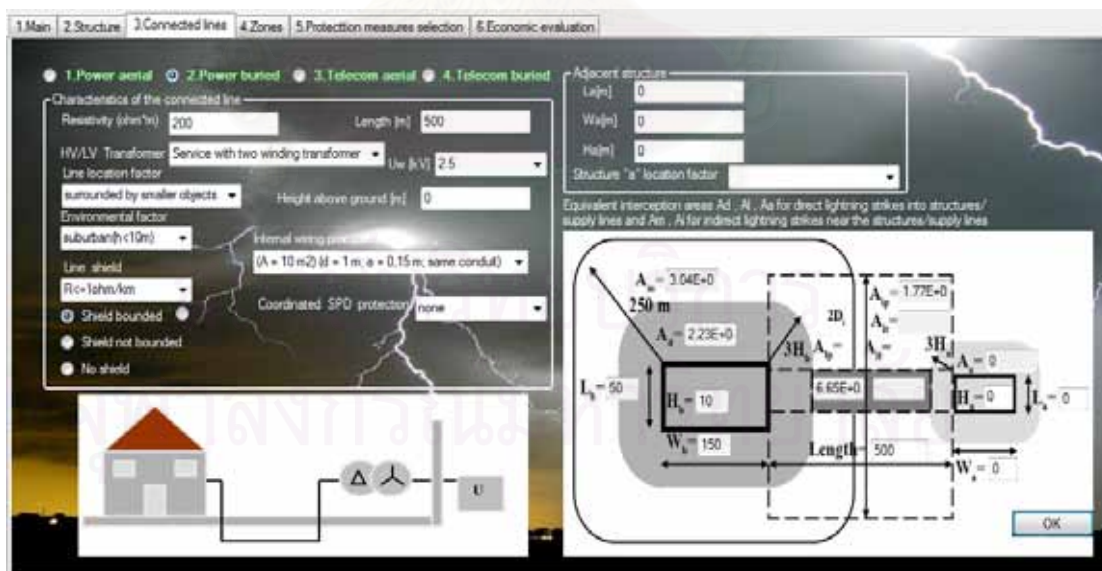
ตารางที่ 4.24 คุณลักษณะของระบบบริการที่เป็นระบบจำหน่ายของโรงพยาบาล

Parameter	Comment	Symbol	Value
Soil resistivity	$\Omega m$	$\rho$	200
Length(m)	-	$L_c$	500
Height(m)	Buried	-	-
HV/LV transformer	At building entrance	$C_t$	0.2
Line location factor	Surrounded by smaller objects	$C_d$	0.5
Line environment factor	Suburban	$C_e$	0.5
Line shield: bonded to equipotential bonding bar and equipment connected to the same bonding bar	$R_s \leq 1\Omega / km$	$P_{LD}$	0.2
		$P_{LI}$	0.008
Internal wiring precaution	Unshielded cable –Routing precaution in order to avoid large loops	$K_{S3}$	0.2
Withstand of internal system	$U_w = 2.5kv$	$K_{S4}$	0.6
Coordinated SPD protection	None	$P_{SPD}$	1
End “a” line structure dimensions(m)	None	$L_a \times W_a \times H_a$	-

ตารางที่ 4.25 คุณลักษณะของระบบบริการที่เป็นระบบสื่อสารโทรคมนาคมของโรงพยาบาล

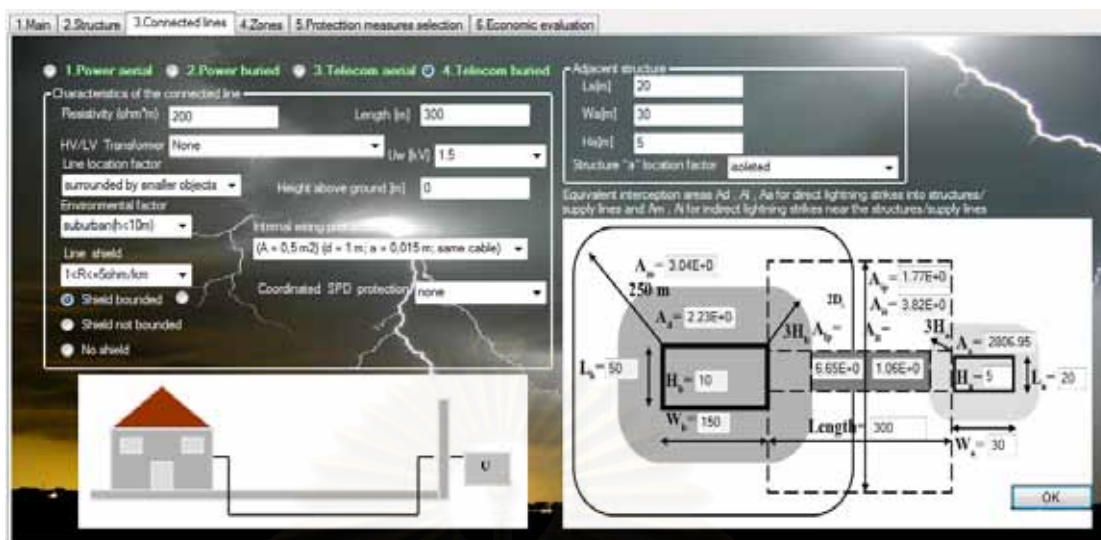
Parameter	Comment	Symbol	Value
Soil resistivity	$\Omega m$	$\rho$	200
Length(m)	-	$L_c$	300
Height(m)	Buried	$H_c$	-

Line location factor	Surrounded by smaller objects	$C_d$	0.5
Line environment factor	Suburban	$C_e$	0.5
Line shield: bonded to equipotential bonding bar and equipment connected to the same bonding bar	$1 < R_s \leq 5\Omega/km$	$P_{LD}$	0.8
		$P_{LI}$	0.04
Internal wiring precaution	Unshielded cable –Routing precaution in order to avoid loops	$K_{S3}$	0.02
Withstand of internal system	$U_w = 1.5kv$	$K_{S4}$	1
Coordinated SPD protection	None	$P_{SPD}$	1
End “a” line structure dimensions(m)	None	$L_a \times W_a \times H_a$	$20 \times 30 \times 5$



รูปที่ 4.20 ส่วนของคุณลักษณะระบบบริการที่เป็นระบบจำหน่ายแรงต่ำของโรงพยาบาล





รูปที่ 4.21 ส่วนของคุณลักษณะระบบบริการที่เป็นระบบสื่อสารโทรคมนาคมของโรงพยาบาล

#### 4.3.2 คุณลักษณะของย่านป้องกันฟ้าผ่า

- ชนิดของพื้นผิวด้านในและด้านนอกสิ่งปลูกสร้างแตกต่างกัน
- มีการแบ่งพื้นที่อาคารออกเป็นส่วนด้วยวัสดุทนไฟ
- ไม่มีลักษณะของการชิลด์
- สถานที่สำหรับคนไข้ที่ต้องการดูแลและรักษาพยาบาลอย่างใกล้ชิด (ICU) จะมีอุปกรณ์อิเล็กทรอนิกส์ซึ่งจำเป็นจะต้องนำมาตรการป้องกันเช่นการชิลด์มาใช้

กำหนดย่านป้องกันฟ้าผ่าได้ดังนี้

- $Z_1$  (outside building)
- $Z_2$  (rooms block)
- $Z_3$  (operating block)
- $Z_4$  (intensive care unity)

คุณลักษณะของย่านป้องกันฟ้าผ่า  $Z_1$  (outside building) ดังตารางที่ 4.26 และรูปที่ 4.22  $Z_2$  (rooms block) ดังแสดงในตารางที่ 4.27 และรูปที่ 4.23  $Z_3$  (operating block) ดังแสดงในตารางที่ 4.28 และรูปที่ 4.24  $Z_4$  (intensive care unity) ดังตารางที่ 4.29 และรูปที่ 4.25

จากการคำนวณการป้องกันฟ้าผ่าของผู้ออกแบบได้กำหนดค่าตัวแปรความเสี่ยงเสียสำหรับความเสี่ยงต่อความสูญเสียของชีวิตมนุษย์  $R_f$

- $L_f = 10^{-2}$  (outside structure)
- $L_f = 10^{-4}$  (inside structure)
- $L_f = 10^{-1}$
- $L_o = 10^{-3}$

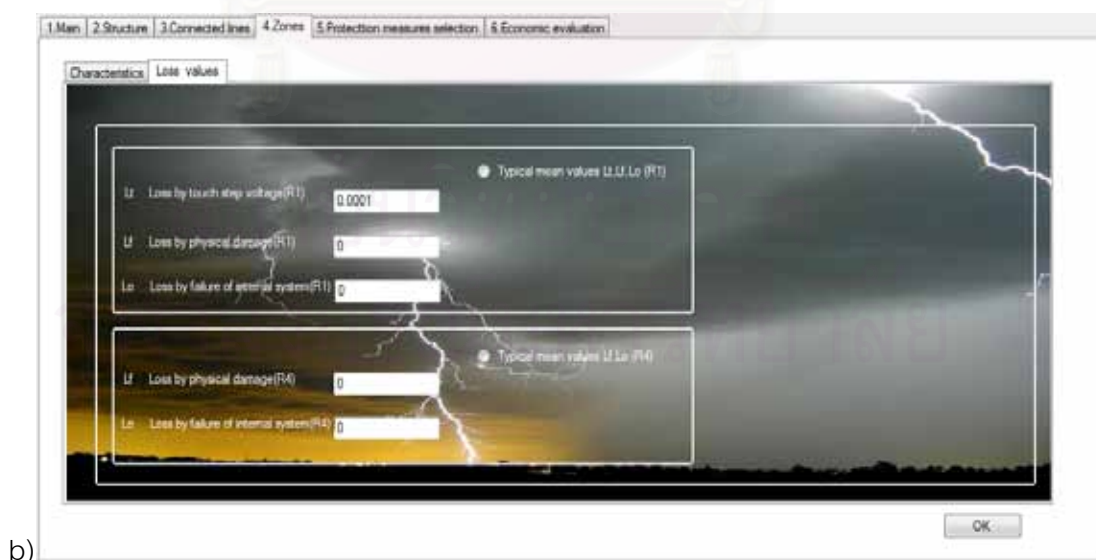
ความเสี่ยงต่อความสูญเสียทางเศรษฐศาสตร์  $R_4$

-  $L_f = 5 \times 10^{-1}$

-  $L_o = 10^{-2}$

ตารางที่ 4.26 คุณลักษณะของย่านป้องกันฟ้าผ่า  $Z_1$  (outside building)

Parameter	Comment	Symbol	Value
Soil surface type	Concrete	$r_a$	$1 \times 10^{-2}$
Shock protection	None	$P_A$	1
Loss by touch and step voltages	Yes	$L_t$	$1 \times 10^{-4}$



รูปที่ 4.22 ส่วนของคุณลักษณะย่านป้องกันฟ้าผ่า  $Z_1$  (outside building)



a) คุณลักษณะย่านป้องกันฟ้าผ่า  $Z_1$  (outside building)

b) ความสูญเสียของชีวิตมนุษย์และทางเศรษฐศาสตร์ของย่าน  $Z_1$  (outside building)

ตารางที่ 4.27 คุณลักษณะของย่านป้องกันฟ้าผ่า  $Z_2$  (rooms block)

Parameter	Comment	Symbol	Value
Soil surface type	Linoleum	$r_u$	$1 \times 10^{-5}$
Risk of fire	Ordinary	$r_f$	$1 \times 10^{-2}$
Special hazard (relevant to $R_1$ )	Difficulty of evacuation	$h_z$	5
Special hazard (relevant to $R_4$ )	None	$h_z$	1
Fire protection	None	$r_p$	1
Spatial shield	None	$K_{s2}$	1
Loss by touch and step voltages (relevant to $R_1$ )	Yes	$L_t$	$9.5 \times 10^{-5}$
Loss by physical damage (relevant to $R_1$ )	Yes	$L_f$	$9.5 \times 10^{-2}$
Loss by failure of internal system (relevant to $R_1$ )	None	$L_o$	-
Loss by physical damage (relevant to $R_4$ )	Yes	$L_f$	$5 \times 10^{-1}$
Loss by failure of internal system (relevant to $R_4$ )	None	$L_o$	$1 \times 10^{-2}$

1.Man 2.Structure 3.Connected lines 4.Zones 5.Protection measures selection 6.Economic evaluation

Characteristics Loss values

Zone type:  outside  inside  
 Hospital (rooms block)

Ground surface type(s):   
 Ground surface type(s): Linoleum

Risk of fire: ordinary

Special hazard(R1): Difficulty of evacuation

Special hazard(R4): No special hazard

Fire protection:  None  Manual  Automatic

Zone of striking:  None  Near  Contact

Values of costs of loss relevant to zones (value in  $10^3$ ):

Building value: 70  
 Contents value: 5  
 Power system value: 2  
 Telecom system value: 0.5

OK

a)

1.Man 2.Structure 3.Connected lines 4.Zones 5.Protection measures selection 6.Economic evaluation

Characteristics Loss values

Typical mean values (L1) (R1)

L1 Loss by touch step voltage(R1): 0.5505  
 Lf Loss by physical damage(R1): 0.095  
 Lo Loss by failure of external systems(R1): 0

Typical mean values (L2) (R4)

Lf Loss by physical damage(R4): 0.5  
 Lo Loss by failure of internal systems(R4): 0.01

OK

b)

รูปที่ 4.23 ส่วนของคุณลักษณะย่านป้องกันฟ้าผ่า  $Z_2$  (rooms block)

a) คุณลักษณะย่านป้องกันฟ้าผ่า  $Z_2$  (rooms block)

b) ความสูญเสียของชีวิตมนุษย์และทางเศรษฐศาสตร์ของย่าน  $Z_2$  (rooms block)

ตารางที่ 4.28 คุณลักษณะของย่านป้องกันฟ้าผ่า  $Z_3$  (operating block)

Parameter	Comment	Symbol	Value
Soil surface type	Linoleum	$r_u$	$1 \times 10^{-5}$
Risk of fire	Low	$r_f$	$1 \times 10^{-3}$
Special hazard (relevant to $R_1$ )	Difficulty of evacuation	$h_z$	5

Special hazard (relevant to $R_4$ )	None	$h_z$	1
Fire protection	None	$r_p$	1
Spatial shield	None	$K_{s2}$	1
Loss by touch and step voltages (relevant to $R_1$ )	Yes	$L_t$	$3.5 \times 10^{-6}$
Loss by physical damage (relevant to $R_1$ )	Yes	$L_f$	$3.5 \times 10^{-3}$
Loss by failure of internal system (relevant to $R_1$ )	None	$L_o$	$1 \times 10^{-3}$
Loss by physical damage (relevant to $R_4$ )	Yes	$L_f$	$5 \times 10^{-1}$
Loss by failure of internal system (relevant to $R_4$ )	None	$L_o$	$1 \times 10^{-2}$

1.Main 2.Structure 3.Connected lines 4.Zones 5.Protection measures selection 6.Economic evaluation

Characteristics Loss values

Zone type:  outside  inside

Ground surface type(s):

Ground surface type(s):

Risk of fire:

Special hazard(R1):

Special hazard(R4):

Fire protection:  None  Manual  Automatic

Zone shielding:  None  Mesh  Conductor

Values of costs of loss relevant to zones (values in  $10^3$  €)

Building value:

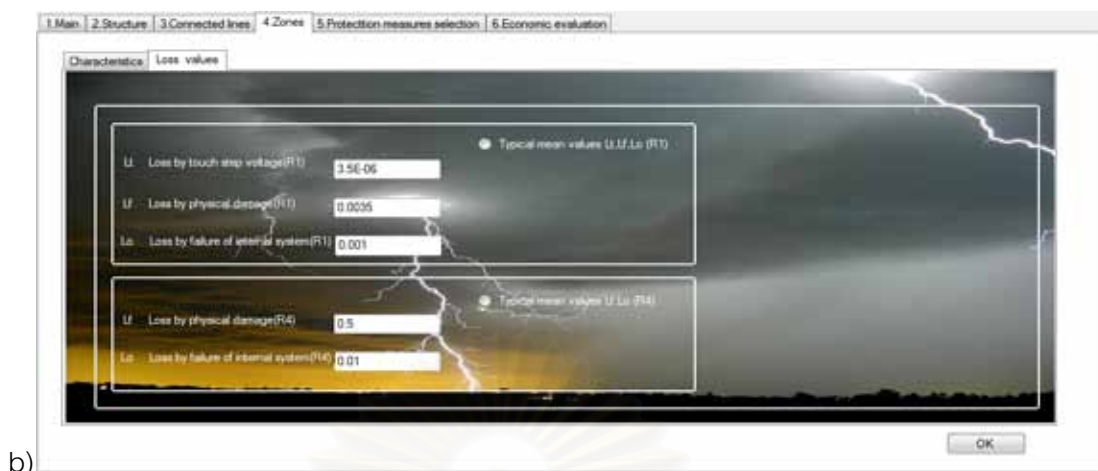
Contents value:

Power system value:

Telecom system value:

OK

a)



b)

รูปที่ 4.24 ส่วนของคุณลักษณะย่านป้องกันฟ้าผ่า  $Z_3$  (operating block)

a) คุณลักษณะย่านป้องกันฟ้าผ่า  $Z_3$  (operating block)

b) ความสูญเสียของชีวิตมนุษย์และทางเศรษฐศาสตร์ของย่าน  $Z_3$  (operating block)

ตารางที่ 4.29 คุณลักษณะของย่านป้องกันฟ้าผ่า  $Z_4$  (intensive care unity)

Parameter	Comment	Symbol	Value
Soil surface type	Linoleum	$r_u$	$1 \times 10^{-5}$
Risk of fire	Low	$r_f$	$1 \times 10^{-3}$
Special hazard (relevant to $R_1$ )	Difficulty of evacuation	$h_z$	5
Special hazard (relevant to $R_4$ )	None	$h_z$	1
Fire protection	None	$r_p$	1
Spatial shield	None	$K_{S2}$	1
Loss by touch and step voltages(relevant to $R_1$ )	Yes	$L_t$	$5 \times 10^{-7}$
Loss by physical damage(relevant to $R_1$ )	Yes	$L_f$	$5 \times 10^{-4}$
Loss by failure of internal system(relevant to $R_1$ )	None	$L_o$	$1 \times 10^{-3}$
Loss by physical damage(relevant to $R_4$ )	Yes	$L_f$	$5 \times 10^{-1}$

Loss by failure of internal system(relevant to R <sub>4</sub> )	None	$L_o$	$1 \times 10^{-2}$
---	------	-------	--------------------

a)

b)

รูปที่ 4.25 ส่วนของคุณลักษณะย่านป้องกันฟ้าผ่า  $Z_4$  (intensive care unity)

a) คุณลักษณะย่านป้องกันฟ้าผ่า  $Z_4$  (intensive care unity)

b) ความสูญเสียของชีวิตมนุษย์และทางเศรษฐศาสตร์ของย่าน  $Z_4$  (intensive care unity)

### 4.3.3 ความถี่ของการเกิดฟ้าผ่า

ความถี่ของการเกิดฟ้าผ่าสามารถคำนวณได้ตามสมการ (2.7) ถึง (2.12) และผลของการคำนวณความถี่ของการเกิดฟ้าผ่าแสดงในตารางที่ 4.30

ตารางที่ 4.30 ค่าของความถี่ของการเกิดฟ้าผ่าของโรงพยาบาล

Symbol	Value
$N_D$	8.92E-02
$N_M$	1.13E+00
$N_L(Power)$	2.66E-03
$N_I(Power)$	7.08E-02
$N_L(Telecom)$	7.64E-03
$N_I(Telecom)$	2.12E-01
$N_{da}(Telecom)$	1.12E-02

#### 4.3.4 การประเมินความเสี่ยงของความเสี่ยงของชีวิตมนุษย์

ตัวแปรที่ใช้ในการคำนวณแสดงไว้ในตารางที่ 4.23 ถึง 4.31 ส่วนผลของการประเมินความเสี่ยงของความเสี่ยงของชีวิตมนุษย์แสดงไว้ในตารางที่ 4.32

ตารางที่ 4.31 ค่าของความน่าจะเป็นของความเสียหายสำหรับสิ่งปลูกสร้างที่ไม่ถูกป้องกัน

Symbol	$Z_1$	$Z_2$	$Z_3$	$Z_4$
$P_A$	1		-	
$P_B$	-		1	
$P_C$ (Power line)	-		1	
$P_C$ (Telecom line)	-		1	
$P_C$	-		1	
$P_M$ (Power line)	-		0.75	
$P_M$ (Telecom line)	-		0.009	
$P_M$	-		0.7523	
$P_U$ (Power line)	-		0.2	
$P_V$ (Power line)	-		0.2	
$P_W$ (Power line)	-		0.2	
$P_Z$ (Power line)	-		0.008	
$P_U$ (Telecom line)	-		0.8	
$P_V$ (Telecom line)	-		0.8	
$P_W$ (Telecom line)	-		0.8	



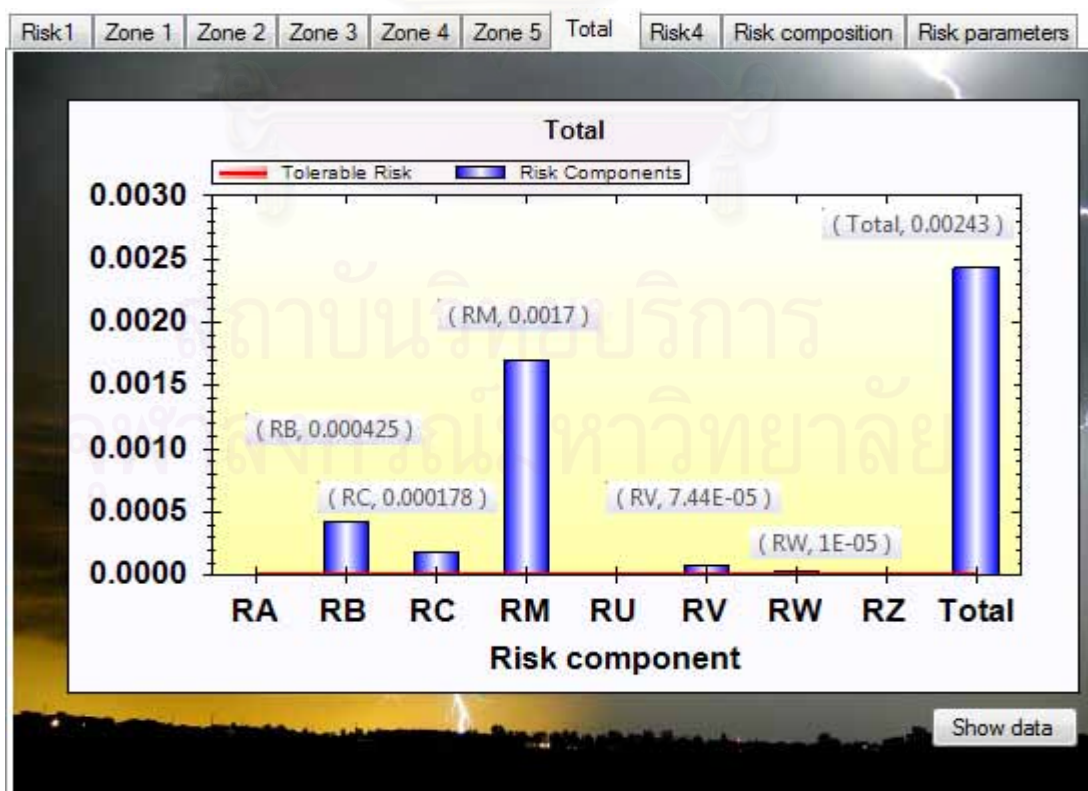
$P_Z$ (Telecom line)	-	0.04
----------------------	---	------

ตารางที่ 4.32 ผลของการประเมินความเสี่ยง  $R_i$  ของโรงพยาบาล

Symbol	$Z_1$	$Z_2$	$Z_3$	$Z_4$	Structure
$R_A$	9.00E-08	0.00E+00	0.00E+00	0.00E+00	9.00E-08
$R_B$	0.00E+00	4.24E-04	1.56E-06	2.20E-07	4.25E-04
$R_C$	0.00E+00	0.00E+00	8.92E-05	8.92E-05	1.78E-04
$R_M$	0.00E+00	0.00E+00	8.50E-04	8.50E-04	1.70E-03
$R_U$	0.00E+00	0.00E+00	0.00E+00	0.00E+00	0.00E+00
$R_V$	0.00E+00	7.41E-05	2.70E-07	4.00E-08	7.44E-05
$R_W$	0.00E+00	0.00E+00	1.56E-05	1.56E-05	3.12E-05
$R_Z$	0.00E+00	0.00E+00	8.72E-06	8.72E-06	1.74E-05
$R_{Total}$	9.00E-08	4.98E-04	9.65E-04	9.64E-04	2.43E-03

#### 4.3.5 ผลจากการประเมินความเสี่ยงของความเสี่ยงเสียชีวิตของมนุษย์ $R_i$

เพราะว่า  $R_i = 263 \times 10^{-5}$  มีค่าสูงกว่าค่าความเสี่ยงที่ยอมรับได้ (Tolerable Risk)  $R_T$  เท่ากับ  $10^{-5}$  ดังรูปที่ 4.26 จึงจำเป็นต้องใช้มาตรการป้องกันฟ้าผ่าสำหรับสิ่งปลูกสร้าง



รูปที่ 4.26 ส่วนของผลจากการประเมินความเสี่ยง  $R_i$  ของโรงพยาบาล

#### 4.3.6 การเลือกมาตรการป้องกันฟ้าผ่า

ส่วนประกอบความเสี่ยงที่สัมพันธ์กับย่านป้องกันฟ้าผ่า โดยที่แต่ละส่วนประกอบ ความเสี่ยง  $R_D$ ,  $R_I$ ,  $R_S$ ,  $R_F$ ,  $R_O$  สามารถแสดงได้ดังสมการ(4.1)ถึง(4.5)และดังแสดงในตารางที่4.33

ตารางที่4.33 ส่วนประกอบความเสี่ยงที่สัมพันธ์กับแหล่งกำเนิดและชนิดความเสียหายของโรงพยาบาล

Symbol	$Z_1$	$Z_2$	$Z_3$	$Z_4$	Structure
$R_D$	9.00E-08	4.24E-04	9.08E-05	8.94E-05	6.04E-04
$R_I$	0.00E+00	7.41E-05	8.75E-04	8.74E-04	1.82E-03
Total	9.00E-08	4.98E-04	9.65E-04	9.64E-04	2.42E-03
$R_S$	9.00E-08	0.00E+00	0.00E+00	0.00E+00	9.00E-08
$R_F$	0.00E+00	4.98E-04	1.83E-06	2.60E-07	5.00E-04
$R_O$	0.00E+00	0.00E+00	9.64E-04	9.64E-04	1.93E-03
Total	9.00E-08	4.98E-04	9.65E-04	9.64E-04	2.43E-03

ส่วนประกอบความเสี่ยงที่แสดงจะเห็นว่าความเสี่ยงต่อความสูญเสียของชีวิตมนุษย์  $R_I$  เกิดเนื่องจากความล้มเหลวของระบบไฟฟ้าและระบบอิเล็กทรอนิกส์  $R_O$  ในย่านป้องกันฟ้าผ่า  $Z_3$  และ  $Z_4$  รวมกับความเสียหายทางกายภาพ  $R_F$  ในย่านการป้องกันฟ้าผ่า  $Z_2$

ความเสี่ยงต่อความสูญเสียของชีวิตมนุษย์  $R_I$  เกิดขึ้นโดย

- ความล้มเหลวของระบบไฟฟ้าและระบบอิเล็กทรอนิกส์ในย่านป้องกันฟ้าผ่า  $Z_3$  และ  $Z_4$  ( $R_M \approx 57\%$ ,  $R_C \approx 6\%$ )
- ความเสียหายต่อสิ่งปลูกสร้างในย่าน  $Z_2$  ( $R_B \approx 27\%$ ,  $R_V \approx 4\%$ )

ส่วนประกอบ  $R_B$  สามารถลดลงได้โดย

- ติดตั้งระบบป้องกันฟ้าผ่าสมบูรณ์ตามมาตรฐานIEC 62305-3
- จัดหามาตรการป้องกันฟ้าผ่าสำหรับย่านป้องกันฟ้าผ่า  $Z_2$  เพื่อลดผลจากไฟไหม้(การติดตั้งเครื่องดับเพลิงหรือระบบป้องกันอัคคีภัยแบบอัตโนมัติ)

ส่วนประกอบ  $R_C$  และ  $R_V$  สามารถลดลงได้โดยจัดหาการจัดการประสานสัมพันธ์ระหว่างอุปกรณ์ป้องกันเสิร์จตามมาตรฐานIEC 62305-4

ส่วนประกอบ  $R_M$  ในย่านป้องกันฟ้าผ่า  $Z_3$  และ  $Z_4$  สามารถลดลงได้โดย

- การจัดการประสานสัมพันธ์ระหว่างอุปกรณ์ป้องกันเสิร์จตามมาตรฐานIEC 62305-4 ที่บริเวณทางเข้าของทั้งระบบจำหน่ายแรงต่ำและระบบสื่อสารโทรคมนาคม

- ติดตั้งการชีลด์แบบตาข่ายที่เหมาะสมในย่านป้องกันฟ้าผ่า  $Z_3$  และ  $Z_4$  สำหรับมาตรการป้องกันฟ้าผ่าเพื่อแก้ปัญหาคือ

วิธีที่ 1

- ติดตั้งระบบป้องกันฟ้าผ่าสมบูรณักระดับ  $I$
- การจัดการประสานสัมพันธ์ระหว่างอุปกรณ์ป้องกันเสิร์จที่บริเวณทางเข้าของทั้งระบบจำหน่ายแรงต่ำและระบบสื่อสารโทรคมนาคมแบบยกกระดับ  $(1.5X)P_{SPD} = 0.005$

เพื่อลดผลจากไฟไหม้

- จัดหาการชีลด์แบบตาข่าย  $w = 0.5m$  สำหรับย่านป้องกันฟ้าผ่า  $Z_3$  และ  $Z_4$  จากมาตรการป้องกันฟ้าผ่าค่าความน่าจะเป็นของความเสียหายสำหรับสิ่งปลูกสร้างจะลดลงดังตารางที่ 4.34 และ ตัวแปรลดสำหรับการเตรียมตัวป้องกันการไฟไหม้สำหรับย่านป้องกันฟ้าผ่า  $Z_2$   $r_p = 0.2$  ผลของการใช้มาตรการป้องกันวิธีที่ 1 ดังแสดงในรูปที่ 4.27

ตารางที่ 4.34 ค่าของความน่าจะเป็นของความเสียหายที่ใช้มาตรการป้องกันวิธีที่ 1 ของ

โรงพยาบาล

Symbol	$Z_1$	$Z_2$	$Z_3$	$Z_4$
$P_A$	1		-	
$P_B$	-		0.02	
$P_C$ (Power line)	-		0.005	
$P_C$ (Telecom line)	-		0.005	
$P_C$	-		0.01	
$P_M$ (Power line)	-		0.0001	
$P_M$ (Telecom line)	-		0.0001	
$P_M$	-		0.0002	
$P_U$ (Power line)	-		0.005	
$P_V$ (Power line)	-		0.005	
$P_W$ (Power line)	-		0.005	
$P_Z$ (Power line)	-		0.005	
$P_U$ (Telecom line)	-		0.005	
$P_V$ (Telecom line)	-		0.005	
$P_W$ (Telecom line)	-		0.005	

$P_Z$ (Telecom line)	-	0.005
----------------------	---	-------

### วิธีที่ 2

- ติดตั้งระบบป้องกันฟ้าผ่าสมบูรณ์ระดับ  $I$
- การจัดการประสานสัมพันธ์ระหว่างอุปกรณ์ป้องกันเสิร์จที่บริเวณทางเข้าของทั้งระบบจำหน่ายแรงต่ำและระบบสื่อสารโทรคมนาคมแบบยกระดับ  $(3X)P_{SPD} = 0.001$
- ติดตั้งระบบป้องกันอัคคีภัยแบบอัตโนมัติสำหรับย่านป้องกันฟ้าผ่า  $Z_2$  เพื่อลดผลจากไฟไหม้

จากมาตรการป้องกันฟ้าผ่าค่าความน่าจะเป็นของความเสียหายสำหรับสิ่งปลูกสร้างจะลดลงดังตารางที่ 4.35 และ ตัวแปรลดสำหรับการเตรียมตัวป้องกันการไฟไหม้สำหรับย่านป้องกันฟ้าผ่า  $Z_2$   $r_p = 0.2$  ผลของการใช้มาตรการป้องกันวิธีที่ 2 ดังแสดงในรูปที่ 4.28

**ตารางที่ 4.35** ค่าของความน่าจะเป็นของความเสียหายที่ใช้มาตรการป้องกันวิธีที่ 2 ของโรงพยาบาล

Symbol	$Z_1$	$Z_2$	$Z_3$	$Z_4$
$P_A$	1		-	
$P_B$	-		0.02	
$P_C$ (Power line)	-		0.001	
$P_C$ (Telecom line)	-		0.001	
$P_C$	-		0.002	
$P_M$ (Power line)	-		0.001	
$P_M$ (Telecom line)	-		0.001	
$P_M$	-		0.002	
$P_U$ (Power line)	-		0.001	
$P_V$ (Power line)	-		0.001	
$P_W$ (Power line)	-		0.001	
$P_Z$ (Power line)	-		0.001	
$P_U$ (Telecom line)	-		0.001	
$P_V$ (Telecom line)	-		0.001	
$P_W$ (Telecom line)	-		0.001	
$P_Z$ (Telecom line)	-		0.001	

## วิธีที่3

- ติดตั้งระบบป้องกันฟ้าผ่าสมบูรณัระดับ  $I$
- การจัดการประสานสัมพันธ์ระหว่างอุปกรณ์ป้องกันลัรจที่บริเวณทางเข้าของทั้งระบบจ่ายแรงต่ำและระบบสื่อสารโทรคมนาคมแบบยกัระดับ  $(2X)P_{SPD} = 0.002$

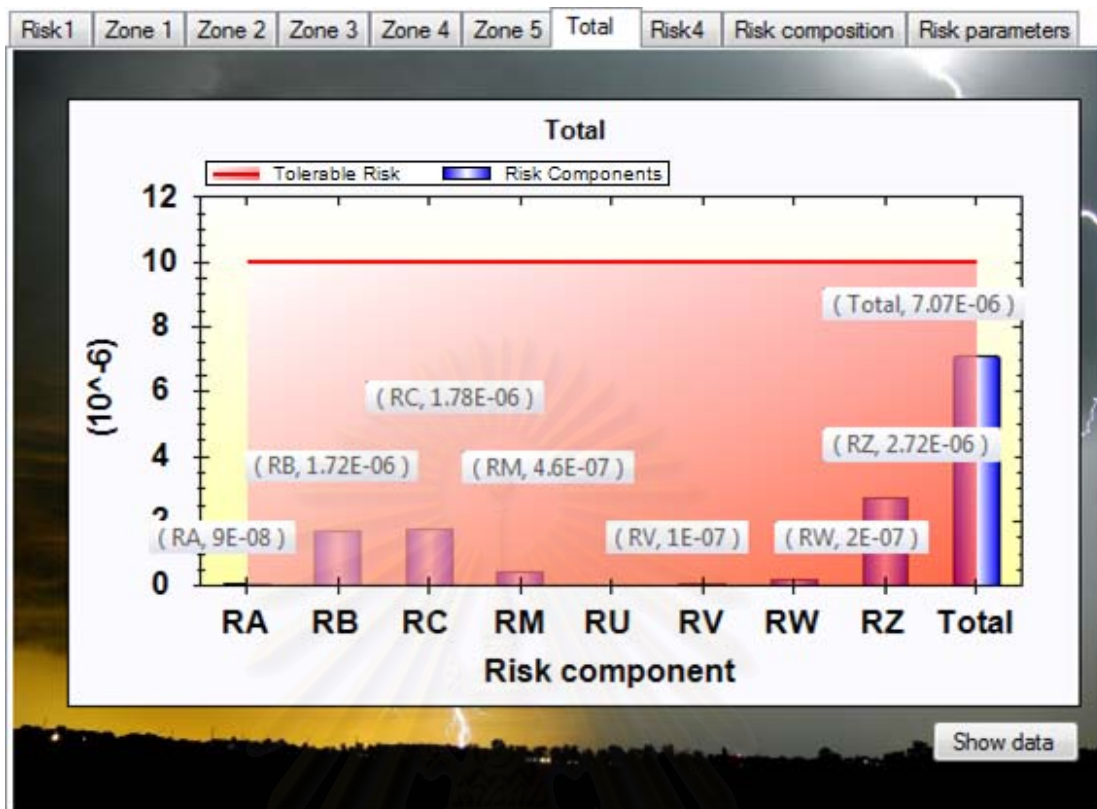
- ติดตั้งระบบป้องกันอัคคีภัยแบบอัตโนมัติสำหรับย่านป้องกันฟ้าผ่า  $Z_2$  เพื่อลดผลจากไฟไหม้

- จัดหาการชัลดัแบบตาข่าย  $W = 0.1m$  สำหรับย่านป้องกันฟ้าผ่า  $Z_3$  และ  $Z_4$  จากมาตรการป้องกันฟ้าผ่าค่าความน่าจะเป็นของความเสียหายสำหรับสิ่งปลูกสร้างจะลดลงดังตารางที่4.36 และตัวแปรลดสำหรับการเตรียมตัวป้องกันการไฟไหม้สำหรับย่านป้องกันฟ้าผ่า  $Z_2$   $r_p = 0.2$  ผลของการใช้มาตรการป้องกันวิธีที่3ดังแสดงในรูปที่4.29

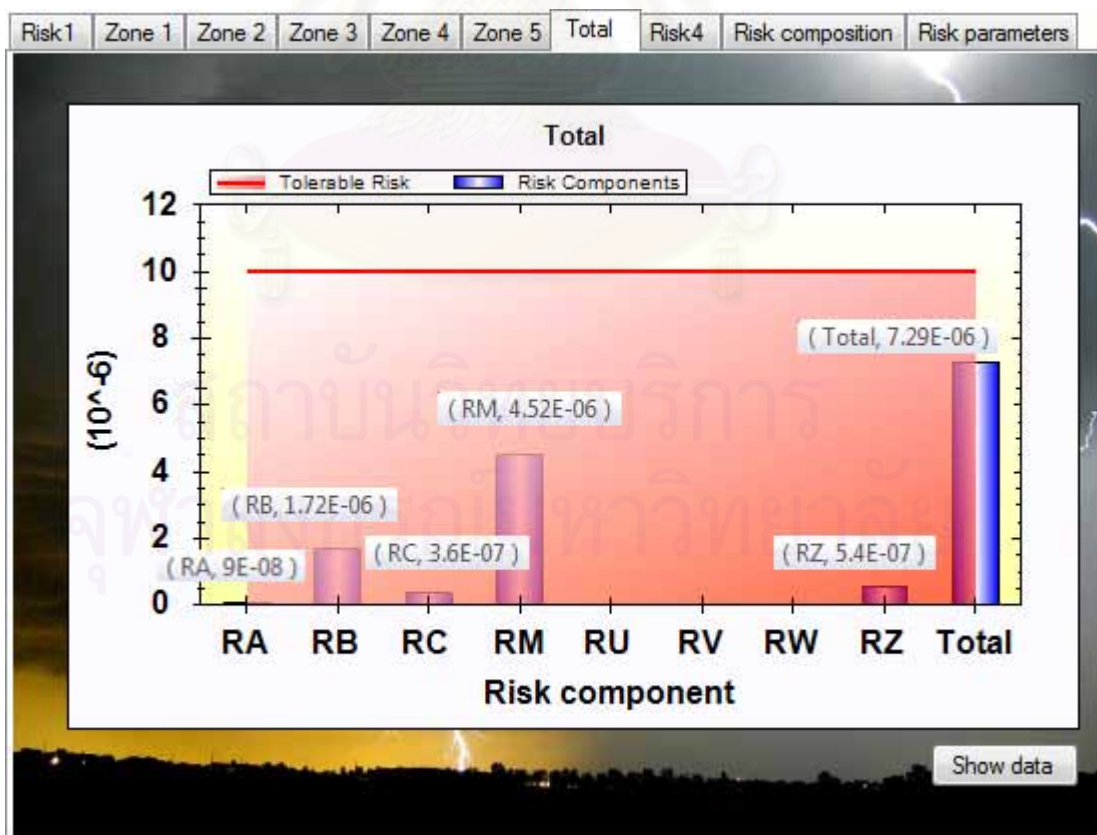
**ตารางที่4.36** ค่าของความน่าจะเป็นของความเสียหายที่ใช้มาตรการป้องกันวิธีที่3ของโรงพยาบาล

Symbol	$Z_1$	$Z_2$	$Z_3$	$Z_4$
$P_A$	1		-	
$P_B$	-		0.02	
$P_C$ (Power line)	-		0.002	
$P_C$ (Telecom line)	-		0.002	
$P_C$	-		0.004	
$P_M$ (Power line)	-		0.0001	
$P_M$ (Telecom line)	-		0.0001	
$P_M$	-		0.0002	
$P_U$ (Power line)	-		0.002	
$P_V$ (Power line)	-		0.002	
$P_W$ (Power line)	-		0.002	
$P_Z$ (Power line)	-		0.002	
$P_U$ (Telecom line)	-		0.002	
$P_V$ (Telecom line)	-		0.002	
$P_W$ (Telecom line)	-		0.002	
$P_Z$ (Telecom line)	-		0.002	



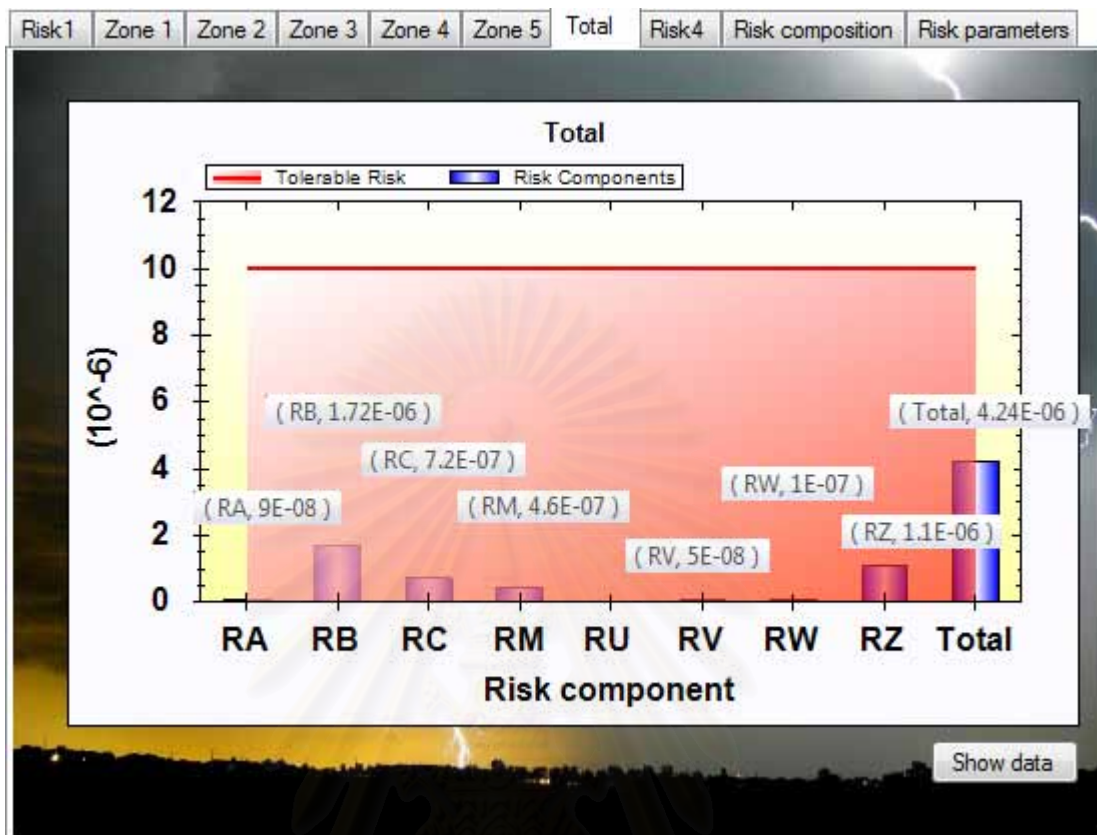


รูปที่ 4.27 ส่วนของการใช้มาตรการป้องกันวิธีที่1 ของโรงพยาบาล



รูปที่ 4.28 ส่วนของการใช้มาตรการป้องกันวิธีที่2 ของโรงพยาบาล





รูปที่ 4.29 ส่วนของการใช้มาตรการป้องกันวิธีที่3 ของโรงพยาบาล

ตารางที่4.37 ผลของการประเมินความเสี่ยง  $R_1$  เมื่อใช้มาตรการป้องกันของโรงพยาบาล

Symbol	$Z_1$	$Z_2$	$Z_3$	$Z_4$	Structure
วิธีที่1	9.00E-08	1.79E-06	2.61E-06	2.58E-06	7.07E-06
วิธีที่2	9.00E-08	1.71E-06	2.76E-06	2.73E-06	7.29E-06
วิธีที่3	9.00E-08	1.74E-06	1.22E-06	1.19E-06	4.24E-06

### 4.3.7 ข้อมูลสำหรับการวิเคราะห์ต้นทุน-ผลประโยชน์

ค่าใช้จ่ายของความสูญเสียทั้งหมด  $C_L$  มีค่าเท่ากับ

$$C_L = (R_B + R_V) \cdot (C_A + C_B + C_S + C_C) + (R_C + R_M + R_W + R_Z) \cdot C_S \quad (4.6)$$

โดยที่  $R_B, R_V$  คือ ส่วนประกอบความเสี่ยงที่เกี่ยวข้องกับความเสียหายทางกายภาพซึ่งไม่มีมาตรการป้องกันไฟฟ้า

$R_C, R_M, R_W, R_Z$  คือ ส่วนประกอบความเสี่ยงที่เกี่ยวข้องกับความล้มเหลวของระบบไฟฟ้าและระบบอิเล็กทรอนิกส์ซึ่งไม่มีมาตรการป้องกันไฟฟ้า

$C_S$  คือ ค่าใช้จ่ายของระบบของสิ่งปลูกสร้าง

$C_B$  คือ ค่าใช้จ่ายของอาคาร

$C_C$  คือ ค่าใช้จ่ายของสิ่งที่บรรจุอยู่ภายในอาคาร

ค่าใช้จ่ายทั้งหมดของความสูญเสียที่เหลือ  $C_{RL}$  มีค่าเท่ากับ

$$C_{RL} = (R'_B + R'_V) \cdot (C_A + C_B + C_S + C_C) + (R'_C + R'_M + R'_W + R'_Z) \cdot C_S \quad (4.7)$$

โดยที่  $R'_B, R'_V$  คือ ส่วนประกอบความเสี่ยงที่เกี่ยวข้องกับความเสียหายทาง

กายภาพซึ่งมีมาตรการป้องกันฟ้าผ่า

$R'_C, R'_M, R'_W, R'_Z$  คือ ส่วนประกอบความเสี่ยงที่เกี่ยวข้องกับความล้มเหลว

ของระบบไฟฟ้าและอิเล็กทรอนิกส์ซึ่งมีมาตรการป้องกันฟ้าผ่า

ค่าใช้จ่ายประจำปีของมาตรการป้องกันฟ้าผ่า  $C_{PM}$  มีค่าเท่ากับ

$$C_{PM} = C_P \cdot (i + a + m) \quad (4.8)$$

โดยที่  $C_P$  คือ ค่าใช้จ่ายของมาตรการป้องกันฟ้าผ่า

$i$  คือ อัตราดอกเบี้ย

$a$  คือ อัตราค่าตัดจำหน่าย

$m$  คือ อัตราค่าบำรุงรักษา

การลดค่าใช้จ่ายของเงินประจำปีมีค่าเท่ากับ

$$S = C_L - (C_{RL} + C_{PM}) \quad (4.9)$$

ตารางที่ 4.38 มูลค่าของความเสียหายกับความสูญเสียที่เกี่ยวข้องย่านป้องกันฟ้าผ่า ( $\$ \times 10^6$ )

Symbol	Building B	Contents I	Power system A	Telecom system A
$Z_1$	0	0	0	0
$Z_2$	70	6	3	0.5
$Z_3$	2	0.9	5	0.5
$Z_4$	1	0.1	0.015	1
Total	73	7	8.015	2

ตารางที่ 4.39 มูลค่าที่เกี่ยวข้องกับอัตรา

Rate	Symbol	Value
Interest	$i$	0.04
Amortization	$a$	0.05
Maintenance	$m$	0.01

ตารางที่ 4.40 ผลของการประเมินความเสี่ยงต่อความสูญเสียทางเศรษฐศาสตร์  $R_4$  ( $\$ \times 10^6$ )

Symbol	$Z_1$	$Z_2$	$Z_3$	$Z_4$	Structure
$R_B$	0.00E+00	4.46E-04	4.46E-05	4.46E-05	5.35E-04
$R_C$ (Power line)	0.00E+00	8.92E-04	8.92E-04	8.92E-04	2.68E-03
$R_C$ (Telecom line)	0.00E+00	8.92E-04	8.92E-04	8.92E-04	2.68E-03
$R_M$ (Power line)	0.00E+00	8.48E-03	8.48E-03	8.48E-03	2.54E-02
$R_M$ (Telecom line)	0.00E+00	1.02E-04	1.02E-04	1.02E-04	3.05E-04
$R_V$ (Power line)	0.00E+00	2.66E-06	2.70E-07	2.70E-07	3.20E-06
$R_V$ (Telecom line)	0.00E+00	7.54E-05	7.54E-06	7.54E-06	9.04E-05
$R_W$ (Power line)	0.00E+00	5.32E-06	5.32E-06	5.32E-06	1.60E-05
$R_W$ (Telecom line)	0.00E+00	1.51E-04	1.51E-04	1.51E-04	4.52E-04
$R_Z$ (Power line)	0.00E+00	5.45E-06	5.45E-06	5.45E-06	1.64E-05
$R_Z$ (Telecom line)	0.00E+00	8.17E-05	8.17E-05	8.17E-05	2.45E-04
$R_{Total}$	0.00E+00	1.11E-02	1.07E-02	1.07E-02	3.24E-02

ตารางที่ 4.41 ปริมาณของความสูญเสีย  $C_L$  และ  $C_{RL}$  ( $\$$ )

Symbol	$C_L$ (unprotected)	$C_{RL}$ (วิธีที่1)	$C_{RL}$ (วิธีที่2)	$C_{RL}$ (วิธีที่3)
$Z_2$	70200	185	189	162
$Z_3$	47900	61.8	79.2	32.8
$Z_4$	1480	18.9	16.5	9.37
Total	119580	265.7	284.7	204.17

ตารางที่ 4.42 มูลค่า  $C_P$  และ  $C_{PM}$  ของมาตรการป้องกัน ( $\$$ )

Protection measures	$C_P$	$C_{PM}$
LPS class I	100,000	10,000
Fire detection system	50,000	5,000
Zones $Z_3$ and $Z_4$ shielding( $w=0.5$ )	100,000	10,000
Zones $Z_3$ and $Z_4$ shielding( $w=0.1$ )	110,000	11,000
SPD(1.5X) on power system	20,000	2,000
SPD(2X) on power system	24,000	2,400

SPD(3X) on power system	30,000	3,000
SPD(1.5X) on TLC system	10,000	1,000
SPD(2X) on TLC system	12,000	2,000
SPD(3X) on TLC system	15,000	1,500

จากตารางที่ 4.38 ถึง 4.42 และสมการที่ (4.6) ถึง (4.9) สามารถคำนวณการลดค่าใช้จ่ายของเงินประจำปีได้ตามตารางที่ 4.43

**ตารางที่ 4.43** การลดค่าใช้จ่ายของเงินประจำปี (\$) )

การลดค่าใช้จ่ายของเงินประจำปี(\$)	
วิธีที่1	91314.3
วิธีที่2	99795.3
วิธีที่3	89775.83

#### 4.4 อพาร์ทเมนต์

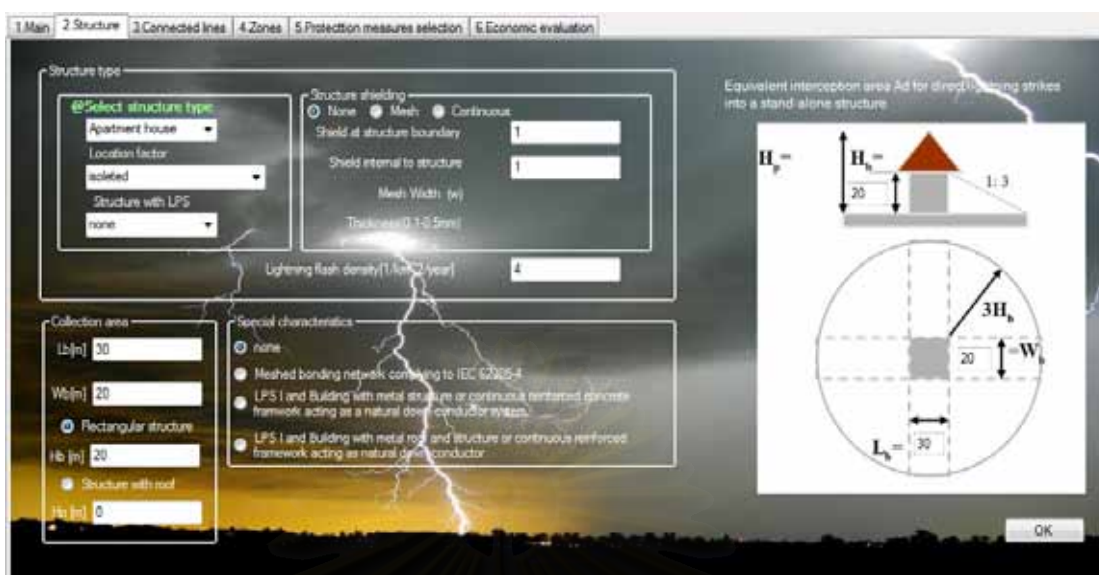
การประเมินความเสี่ยงของความสูญเสียของชีวิตมนุษย์  $R_1$  ของอพาร์ทเมนต์โดยตัวอย่างนี้จำเป็นต้องพิจารณาส่วนประกอบความเสี่ยง  $R_B, R_U, R_V$

##### 4.4.1 คุณลักษณะของสิ่งปลูกสร้าง

- คุณลักษณะของอพาร์ทเมนต์ที่แสดงไว้ในตารางที่ 4.44 และรูปที่ 4.30
- คุณลักษณะของระบบบริการที่เป็นระบบจำหน่ายแรงต่ำของอพาร์ทเมนต์แสดงในตารางที่ 4.45 และรูปที่ 4.31
- คุณลักษณะของระบบบริการที่เป็นระบบสื่อสารโทรคมนาคมของอพาร์ทเมนต์ดังแสดงในตารางที่ 4.46 และรูปที่ 4.32

**ตารางที่ 4.44** คุณลักษณะของอพาร์ทเมนต์

Parameter	Comment	Symbol	Value
Dimension(m)	-	$(L_b, W_b, H_b)$	30 × 20 × 20
Location factor	Isolated	$C_d$	1
LPS	None	$P_B$	1
Lightning flash density	1/ Km <sup>2</sup> /year	$N_g$	4

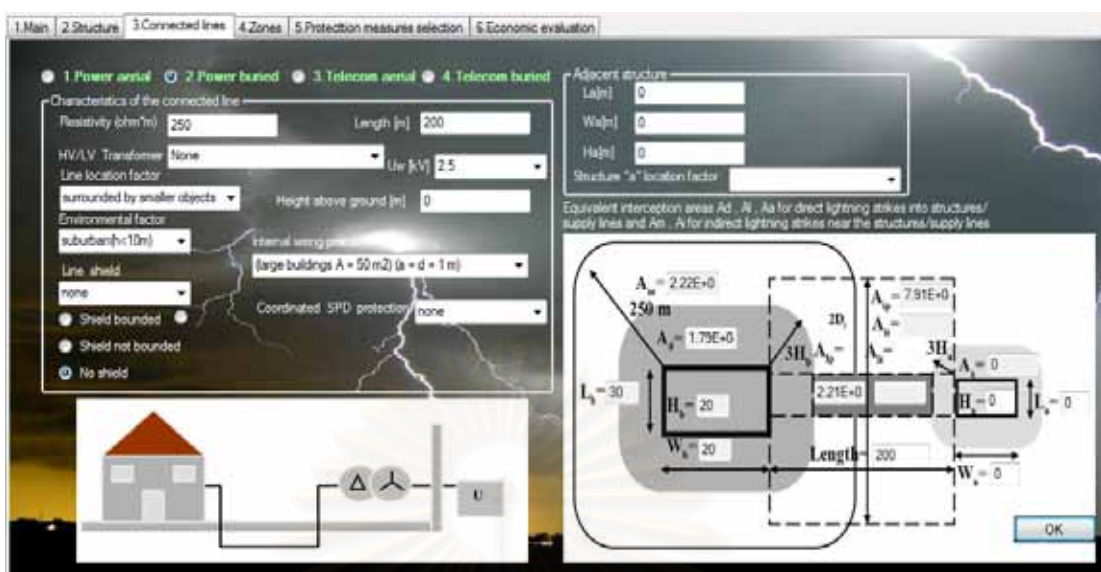


รูปที่ 4.30 ส่วนของคุณลักษณะอพาร์ทเมนท์

ตารางที่ 4.45 คุณลักษณะของระบบบริการที่เป็นระบบจำหน่ายแรงต่ำของอพาร์ทเมนท์

Parameter	Comment	Symbol	Value
Soil resistivity	$\Omega m$	$\rho$	250
Length(m)	-	$L_C$	200
Height(m)	Buried	-	-
HV/LV transformer	None	$C_t$	1
Line location factor	Surrounded by smaller objects	$C_d$	0.5
Line environment factor	Suburban	$C_e$	0.5
Line shield	Unshielded	$P_{LD}$	1
		$P_{LI}$	0.4
Withstand of internal system	$U_w = 2.5kv$	$K_{S4}$	0.6
Coordinated SPD protection	None	$P_{SPD}$	1
End "a" line structure dimensions(m)	None	$L_a \times W_a \times H_a$	-



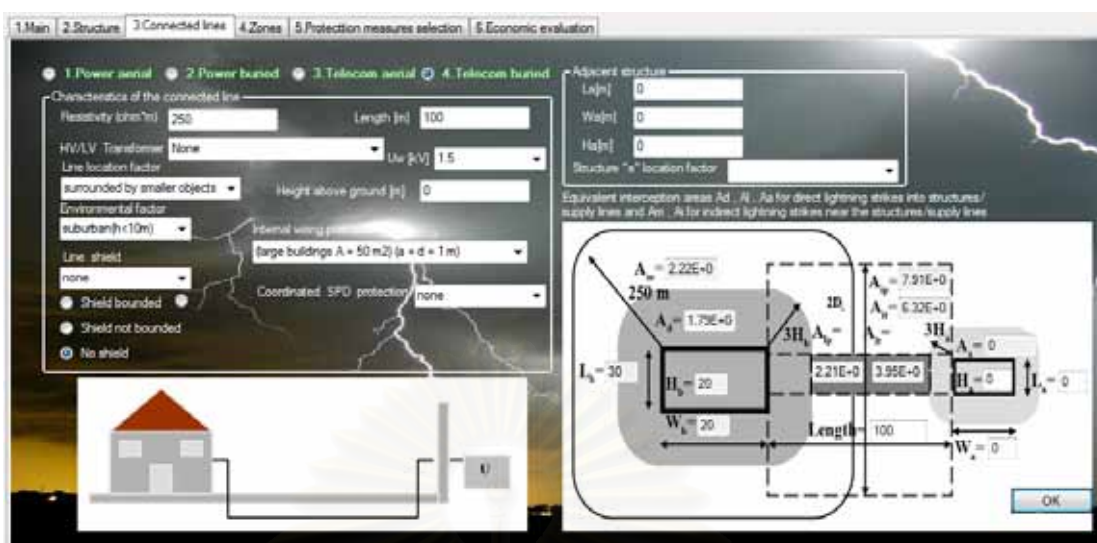


รูปที่ 4.31 ส่วนของคุณลักษณะระบบบริการที่เป็นระบบจำหน่ายแรงต่ำของอพาร์ทเมนต์

ตารางที่ 4.46 คุณลักษณะของระบบบริการที่เป็นระบบสื่อสารโทรคมนาคมของอพาร์ทเมนต์

Parameter	Comment	Symbol	Value
Soil resistivity	$\Omega m$	$\rho$	250
Length(m)	-	$L_C$	100
Height(m)	Buried	-	-
Line location factor	Surrounded by smaller objects	$C_d$	0.5
Line environment factor	Suburban	$C_e$	0.5
Line shield: bonded to equipotential bonding bar and equipment connected to the same bonding bar	None	$P_{LD}$	1
		$P_{LI}$	1
Withstand of internal system	$U_w = 1.5kv$	$K_{S4}$	1
Coordinated SPD protection	None	$P_{SPD}$	1
End "a" line structure dimensions(m)	None	$L_a \times W_a \times H_a$	-





รูปที่ 4.32 ส่วนของคุณลักษณะระบบบริการที่เป็นระบบสื่อสารโทรคมนาคมของอาคารพาณิชย์

#### 4.4.2 คุณลักษณะของย่านป้องกันฟ้า

กำหนดย่านป้องกันฟ้าผ่าได้ดังนี้

- $Z_1$  (outside the building)
- $Z_2$  (inside the building)

โดยคุณลักษณะของย่านป้องกันฟ้าผ่า  $Z_2$  (inside the building) ดังแสดงในตารางที่ 4.47 และตารางที่ 4.48 จะแสดงมาตรการป้องกันฟ้าผ่าซึ่งสัมพันธ์กับความสูงและความเสี่ยงไฟไหม้

ตารางที่ 4.47 คุณลักษณะของย่านป้องกันฟ้าผ่าของอาคารพาณิชย์  $Z_2$  (inside the building)

Parameter	Comment	Symbol	Value
Floor surface type	Wood	$r_u$	$10^{-5}$
Risk of fire	Variable	$r_f$	-
Special hazard	None	$h_z$	1
Fire protection	None	$r_p$	1
Loss by touch step voltage	Yes	$L_t$	$10^{-4}$
Loss by physical damage	Yes	$L_f$	$10^{-1}$

ตารางที่ 4.48 มาตรการป้องกันฟ้าผ่าซึ่งสัมพันธ์กับความสูงและความเสี่ยงไฟไหม้

Risk of fire	Height (m)	LPS type	$R_1 (\times 10^{-5})$	Structure protected
Low		-	7.73E-06	x
Ordinary		-	7.73E-05	No
		IV	2.00E-05	No

	20	III	1.28E-05	No
High	20	-	7.73E-04	No
		II	9.26E-05	No
		I	7.11E-05	No
Low	40	-	2.33E-05	No
		IV	4.81E-06	x
Ordinary		-	2.33E-04	No
		IV	4.81E-05	No
		I	6.51E-06	x
High		-	2.33E-05	No
	I	6.50E-07	x	

สถาบันวิทยบริการ  
จุฬาลงกรณ์มหาวิทยาลัย

## บทที่ 5

### สรุปและข้อเสนอแนะ

#### 5.1 สรุปผลการวิจัย

การประเมินความเสี่ยงเป็นขั้นตอนที่ระบุส่วนประกอบความเสี่ยงของอันตรายทั้งหมดที่เกี่ยวข้องกับฟ้าผ่าที่ก่อให้เกิดความเสียหายและความสูญเสียและตัดสินใจว่าความเสี่ยงนั้นอยู่ในระดับที่ยอมรับได้หรือไม่ ระดับความเสี่ยงที่ยอมรับได้จึงไม่ต้องมีมาตรการเพิ่ม การพิจารณาความเสี่ยงอาจจะทำเมื่อเห็นว่าคุณค่า หรือการปรับปรุงแล้วไม่ต้องเสียค่าใช้จ่ายเพิ่มขึ้น อาจจะใช้มาตรการเพิ่มขึ้นเป็นพิเศษก็ได้ถ้าต้องการให้มีประสิทธิภาพมากยิ่งขึ้น ส่วนความเสี่ยงที่ยอมรับไม่ได้ต้องหามาตรการป้องกันต่อไป

วิทยานิพนธ์ฉบับนี้ได้ทำการศึกษาเกี่ยวกับความเสี่ยงของความเสียหายจากฟ้าผ่าของสิ่งปลูกสร้างซึ่งประมาณได้จาก ความถี่ของการเกิดฟ้าผ่า ความน่าจะเป็นของความเสียหายและความสูญเสียของชีวิตมนุษย์ โดยการประเมินความเสี่ยงของความเสียหายจากฟ้าผ่าจะใช้โปรแกรมไมโครซอฟต์วิซิวัลเบสิก.เน็ต โดยเน้นไปที่สิ่งปลูกสร้างทั่วไปได้แก่ บ้านในชนบท ออฟฟิศ โรงพยาบาล และอพาร์ทเมนท์

โปรแกรมประเมินความเสี่ยงของความเสียหายจากฟ้าผ่า มีความสามารถดังนี้

- สามารถเลือกความเสี่ยงที่ยอมรับได้สำหรับมาตรฐานIECเพื่อเปรียบเทียบในการคำนวณ
- สามารถระบุระบบบริการและยานการป้องกันฟ้าผ่าได้
- สามารถเลือกมาตรการป้องกันฟ้าผ่าทั้งแบบอัตโนมัติหรือเลือกโดยผู้ใช้
- สามารถประเมินความเสี่ยงของความเสียหายจากฟ้าผ่าสำหรับสิ่งปลูกสร้างตามมาตรฐานIEC 62305-2:2006
- สามารถแสดงผลในรูปแบบของตารางข้อมูลและกราฟได้

## รายการอ้างอิง

- [1] คณะกรรมการวิชาการสาขาวิศวกรรมไฟฟ้า. มาตรฐานการป้องกันฟ้าผ่าสำหรับสิ่งปลูกสร้าง. พิมพ์ครั้งที่2. วิศวกรรมสถานแห่งประเทศไทย ในพระบรมราชูปถัมภ์, 2550.
- [2] คณะกรรมการวิชาการสาขาวิศวกรรมไฟฟ้า. มาตรฐานการป้องกันแม่เหล็กไฟฟ้าจากฟ้าผ่า. พิมพ์ครั้งที่1. วิศวกรรมสถานแห่งประเทศไทย ในพระบรมราชูปถัมภ์, 2550.
- [3] IEC 61662. Assessment of the risk of damage due to lightning. First edition, 1995-04
- [4] IEC 61024-1. Protection of structures against lightning, Part 1 : General principles. First edition, 1990-03
- [5] IEC 61024-1-1. Protection of structures against lightning, Part 1-1: General principles, Section 1: Guide A – Selection of protective levels for lightning protection systems. First edition, 1993-08
- [6] IEC 61024-1-2. Protection of structures against lightning, Part 1-2: General principles – Guide B – Design, installation, maintenance and inspection of lightning protection systems. First edition, 1998-05
- [7] IEC 62305-1. Protection against lightning, Part 1: General principles. First edition, 2006-01
- [6] IEC 62305-2. Protection against lightning, Part 2: Risk management. First edition, 2006-01
- [7] IEC 62305-3. Protection against lightning, Part 3: Physical damage to structures and life hazard. First edition, 2006-01
- [8] IEC 62305-4. Protection against lightning, Part 4: Electrical and electronic systems within structures. First edition, 2006-01



ภาคผนวก

สถาบันวิทยบริการ  
จุฬาลงกรณ์มหาวิทยาลัย

## ภาคผนวก ก

### การติดตั้งและการเรียกใช้งานโปรแกรม

1. Copy ไฟล์ database เข้าไปไว้ในไดเรกทอรี C:\
  - Add.mdb เป็นฐานข้อมูลแสดงส่วนประกอบความเสี่ยงต่อความสูญเสียของชีวิตมนุษย์
  - Add4.mdb เป็นฐานข้อมูลแสดงส่วนประกอบความเสี่ยงต่อความสูญเสียทางเศรษฐศาสตร์
  - CLandCRL.mdb เป็นฐานข้อมูลแสดงปริมาณของความสูญเสีย  $C_L$  และ  $C_{RL}$
  - Composition.mdb เป็นฐานข้อมูลแสดงส่วนประกอบความเสี่ยงที่สัมพันธ์กับแหล่งกำเนิดและชนิดของความเสียหาย
  - Connected\_lines.mdb เป็นฐานข้อมูลแสดงระบบบริการ
  - Costs.mdb เป็นฐานข้อมูลแสดงมูลค่าของความเสียหายกับความสูญเสียที่เกี่ยวข้องย่านป้องกันฟ้าผ่า
  - NX.mdb เป็นฐานข้อมูลแสดงความถี่ของการเกิดฟ้าผ่า
  - PX.mdb เป็นฐานข้อมูลแสดงความน่าจะเป็นของความเสียหายสำหรับสิ่งปลูกสร้าง
  - Zones\_list.mdb เป็นฐานข้อมูลแสดงย่านป้องกันฟ้าผ่า
  - รูปภาพซึ่งเป็นส่วนประกอบของโปรแกรม
2. Copy ไฟล์ RiskAssessment2 เข้าไปไว้ในไดเรกทอรี C:\
3. เลือกไปที่ C:\RiskAssessment2\RiskAssessment2\bin\Debug
4. คลิกขวาที่ RiskAssessment2 เลือก Send to Desktop(Create Shortcut)



## ประวัติผู้เขียนวิทยานิพนธ์

นายรุ่งโรจน์ ชนะ เกิดเมื่อวันที่ 17 ธันวาคม พ.ศ. 2526 ที่จังหวัดนครศรีธรรมราช สำเร็จการศึกษาปริญญาวิศวกรรมศาสตรบัณฑิต สาขาวิศวกรรมไฟฟ้า ภาควิศวกรรมไฟฟ้า คณะวิศวกรรมศาสตร์ มหาวิทยาลัยสงขลานครินทร์ วิทยาเขตหาดใหญ่ เมื่อปี พ.ศ. 2549 แล้วเข้าศึกษาต่อระดับปริญญาโทที่ ภาควิศวกรรมไฟฟ้า คณะวิศวกรรมศาสตร์ จุฬาลงกรณ์มหาวิทยาลัย ในปีเดียวกัน



สถาบันวิทยบริการ  
จุฬาลงกรณ์มหาวิทยาลัย